



**KAUNO TECHNOLOGIJOS UNIVERSITETAS  
ELEKTROS IR ELEKTRONIKOS FAKULTETAS**

**MARTYNAS GALGINAS**

**SPAUSDINTINIŲ PLOKŠČIŲ (PCB) VIZUALINIŲ DEFEKTŲ  
INSPEKTAVIMO METODO SUKŪRIMAS IR TYRIMAS**

Baigiamasis magistro projektas

**Vadovas**  
prof.dr. Arūnas Lipnickas

**KAUNAS, 2016**

**KAUNO TECHNOLOGIJOS UNIVERSITETAS  
ELEKTROS IR VALDYMO INŽINERIJOS FAKULTETAS  
AUTOMATIKOS KATEDRA**

**SPAUSDINTINIŲ PLOKŠČIŲ (PCB) VIZUALINIŲ DEFEKTŲ  
INSPEKTAVIMO METODO SUKŪRIMAS IR TYRIMAS**

Baigiamasis magistro projektas

**Valdymo technologijos (kodas 621H66001)**

Atliko: EMV – 4/2 gr. stud.  
Martynas Galginas  
2016 m. birželis..... d.

Vadovas  
Arūnas Lipnickas  
2016 m. birželis..... d.

Recenzentas  
.....  
2016 m. birželis..... d.

**KAUNAS, 2016**



KAUNO TECHNOLOGIJOS UNIVERSITETAS

ELEKTROS IR ELEKTRONIKOS FAKULTETAS

(Fakultetas)

Martynas Galginas

(Studento vardas, pavardė)

Valdymo technologijos (621H66001)

(Studijų programos pavadinimas, kodas)

Baigiamojo projekto „Spausdintinių plokščių (PCB) vizualinių defektų inspektavimo metodo sukūrimas ir tyrimas“

### AKADEMINIO SAŽININGUMO DEKLARACIJA

20 16 m. gegužės 23 d.  
Kaunas

Patvirtinu, kad mano **Martyno Galgino** baigiamasis projektas tema „**Spausdintinių plokščių (PCB) vizualinių defektų inspektavimo metodo sukūrimas ir tyrimas**“ yra parašytas visiškai savarankiškai, o visi pateikti duomenys ar tyrimų rezultatai yra teisingi ir gauti sąžiningai. Šiame darbe nei viena dalis nėra plagijuota nuo jokių spausdintinių ar internetinių šaltinių, visos kitų šaltinių tiesioginės ir netiesioginės citatos nurodytos literatūros nuorodose. Įstatymų nenumatytų piniginių sumų už šį darbą niekam nesu mokėjęs.

Aš suprantu, kad išaiškėjus nesąžiningumo faktui, man bus taikomos nuobaudos, remiantis Kauno technologijos universitete galiojančia tvarka.

\_\_\_\_\_  
(vardą ir pavardę įrašyti ranka)

\_\_\_\_\_  
(parašas)

Galginas M. Spausdintinių plokščių (PCB) vizualinių defektų inspektavimo metodo sukūrimas ir tyrimas. Valdymo sistemų magistro projektas. Studijų programa 621H66001. Vadovas prof. dr. Arūnas Lipnickas. Kaunas: Kauno technologijos universiteto Elektros ir valdymo inžinerijos fakultetas, 2016, 78 p.

## SANTRAUKA

Šio darbo tikslas – sukurti PCB vizualinių defektų inspektavimo metodą Matlab aplinkoje, kurio pagalba būtų galima atlikti Matlab programiniame pakete siūlomų atvaizdų apdorojimo filtrų tyrimą.

Pirmojoje darbo dalyje apžvelgiamos egzistuojančios PCB defektų inspektavimo technologijos, aprašomas PCB gamybos procesas ir defektai atsirandantys gaminimo metu.

Antrojoje dalyje aprašomas PCB vizualinių defektų inspektavimo metodas.

Trečioje dalyje tiriama matlab programiniame pakete siūlomų binarinio atvaizdo apdorojimo filtrų įtaka galutiniam rezultatui, kai yra žinomi tikslūs defektai ir jų kiekis.

Paskutinėje dalyje pateikiamos darbo išvados.

*Reikšminiai žodžiai:* Spausdintinė plokštė, inspektavimas, defektai, vizualinis, filtravimas, pikselis, atvaizdas, binarinis.

Galginas M. Development and analysis of method for printed circuit board (PCB) visual defects inspection. Master's project in Control Systems. Study programme 621H66001. Supervisor prof. dr. Arūnas Lipnickas. Kaunas: Faculty of Electrical and control engineering, Kaunas University of Technology, 2016, 78 p.

## **SUMMARY**

The objective of this work is to create method for printed circuit board (PCB) visual defects inspection using Matlab software which make it possible to perform development for Matlab image processing filters.

First part of this work provides an overview of existing PCB defect inspection technology, describes PCB manufacturing process and defects which appears during manufacture

The second part of the thesis focuses development of method for printed circuit board (PCB) visual defects inspection.

In the third part analyzed MATLAB programming package offered image processing filters for binary image influence to the final result when is known defects and their precise amount.

The findings of the work are in the last part of the thesis.

*Keywords* : Printed circuit board,inspection, defects, visual, filtering, pixel, image, binary.

## **Turinys**

<i>Turinys</i> .....	6
<i>Įvadas</i> .....	7
1. <i>APŽVALGINĖ DALIS</i> .....	9
1.1 <i>PCB - spausdintinė montažinė plokštė. PCB gamyba</i> .....	9
1.2 <i>Galimos problemos PCB gamyboje</i> .....	10
1.3 <i>PCB tikrinimo technologijos</i> .....	12
1.3.1 <i>AOI - automatinis optinis inspektavimas</i> .....	14
1.3.2 <i>AXI - automatinis rentgeno spindulių inspektavimas</i> .....	17
1.4 <i>Panašūs darbai</i> .....	18
2. <i>METODINĖ DALIS</i> .....	24
2.1 <i>Problemos apibrėžimas</i> .....	24
2.2 <i>Skaitinio metodo kūrimas uždaviniui spręsti</i> .....	25
2.2.1 <i>Testuojamų PCB atvaizdų apdorojimas</i> .....	27
2.2.2 <i>Filtro kūrimas</i> .....	30
2.2.3 <i>Tikrinamo atvaizdo lygiavimas etaloninio atvaizdo atžvilgiu</i> .....	36
2.2.4 <i>Takelio defektų radimas</i> .....	40
2.2.5 <i>Takelio dalinio defekto radimas</i> .....	44
2.2.6 <i>Trumpiklio defekto radimas</i> .....	45
2.2.7 <i>Lydviečių defekto radimas</i> .....	48
2.2.8 <i>Fono klaidų radimas</i> .....	50
2.2.9 <i>Spalvinis klaidų žymėjimas ir jų registravimas</i> .....	51
3. <i>TIRIAMOJI DALIS</i> .....	53
3.1 <i>Medianinis filtras</i> .....	54
3.2 <i>Standartinio nuokrypio filtras</i> .....	60
3.3 <i>Morfologinės operacijos „Bwareaopen“ naudojimas šalinant triukšmus</i> .....	66
3.3.1 <i>Bwareaopen su 4 pikselių barjeru</i> .....	66
3.3.2 <i>Bwareaopen su 8 pikselių barjeru</i> .....	69
3.4 <i>Morfologinės operacijos „erode“ naudojimas šalinant triukšmus</i> .....	72
3.5 <i>Morfologinės operacijos „clean“ naudojimas šalinant triukšmus</i> .....	76
3.6 <i>Gautų rezultatų apibendrinimas</i> .....	79
<i>Išvados ir rezultatai</i> .....	80
<i>Literatūros šaltiniai</i> .....	81
<i>Priedas Nr.1</i> .....	83

## Ivadas

Žmogus, matydamas aplinką, lengvai išskiria ir atpažįsta įvairius objektus - tai savaime suprantama užduotis, tačiau tam yra naudojama žmogaus patirtis, įgyta per ilgą laiką. Mašininė rega ar objektų atpažinimas yra sudėtingas veiksmas, iki šiol neturintis vieningų ir universalių algoritmų, gerai ar bent patenkinamai veikiančių įvairiose situacijose. Norint apdoroti vaizdą, jį reikia suskaitmeninti, t.y. gauti vaizdo duomenų masyvą, kurį apdorojant būtų galima gauti norimus rezultatus.

Skaitmeninis vaizdų apdorojimas šiuo metu yra viena iš dažniausiai sutinkamų skaitmeninių signal apdorojimo sričių, naudojama pramonėje, buityje, transporte. Skaitmeniniai prietaisai, naudojančys vaizdų apdorojimą, buityje: fotoaparatai, televizoriai, vaizdo kameros; medicininėje technikoje: echoskopai, skaitmeniniai rentgenai, oftalmologai; transporte: automatinio vairavimo, automobilių statymo sistemos, numerių atpažinimas; pramonėje: automatizuotos linijos – robotai, vaizdo apsaugos sistemos, vaizdinės inspekcijos sistemos.

Šios magistro darbo temos pasirinkimą sąlygojo darbo autoriaus praktinės veiklos patirtis elektroninę įrangą gaminančioje firmoje.

Pagrindinė magistro darbe nagrinėjama **problema** – PCB defektų identifikavimas naudojant vizualinę inspekciją, pačios sistemos sukūrimas. Dažniausiai, siekiant sutaupyti, PCB gaminančios firmos naudoja kontaktinės testavimo sistemas. Naudojant vizualines PCB defektų inspektavimo sistemas reikalingi sudėtingi algoritmai, kurie randa defektus ir juos suklasifikuoja.

**Darbo objektas** – etaloninės ir defektuotos PCB.

**Darbo tikslas** - Išanalizuoti Spausdintinių plokščių (PCB) defektus. Sukurti defektų inspektavimo sistemą naudojantis matlab programiniu paketu. Ištirti matlab programiniame pakete siūlomus vaizdo apdorojimo įrankius PCB defektų aptikimui.

**Darbo struktūra:** įvadas, trys skyriai, išvados, literatūros sąrašas ir priedai.

**Darbo uždaviniai:** Išnagrinėti literatūrą apie egzistuojančias PCB defektų inspektavimo technologijas. Aprašyti PCB gamybos procesą. Pasiūlyti vizualinių defektų inspektavimo metodą. Ištirti *Matlab* programiniame pakete siūlomų binarinio atvaizdo apdorojimo filtrų įtaką kalidų atpažinimo rezultatui, kai yra žinomi tikslūs defektai ir jų kiekis.





# 1. APŽVALGINĖ DALIS

## 1.1 PCB - spausdintinė montažinė plokštė. PCB gamyba.

Spausdintinė montažinė plokštė (angl. *Printed circuit board*) arba PCB yra plokštė ant kurios montuojami elektroniniai komponentai, kuri pagaminta iš izoliacinio ir elektrai laidaus sluoksnių. Izoliacinis sluoksnis dažniausiai būna vientisas (ištisinis), storesnis nei laidininko sluoksnis, ir sudaro mechaninį pagrindą. Dalis laidaus sluoksnio yra vienokiu ar kitokiu būdu panaikinama, kieno pasekoje yra suformuojamas elektrai laidžių takelių tinklas. Dažniausiai, prie šių takelių yra lituojamos detalės.[4]

Prieš atsirandant šioms plokštėms, buvo naudojama kabančio montažo technologija. Kabančio montažas pavadintas taip, nes viskas buvo sujungiama laidais. PCB daug lengviau paleisti į masinę gamybą, nors tam reikia daugiau laiko ir sąnaudų. Laiko sąnaudos išauga nes PCB plokštės takeliai negali kirstis tarpusavyje, turi būti elektriškai izoliuoti vienas nuo kito. Tam, kad toks uždavinys palengvėtų, takeliai išvedžiojami abiejose PCB pusėse.[6]

Egzistuoja trys pagrindinės PCB konstrukcijos: *vienpusės PCB*, *dvipusės PCB*, *daugiasluoksnės PCB*. Vienpusėje plokštėje komponentai lituojami tik vienoje pusėje. Kai lituojamų komponentų fiziškai nebeįmanoma sutalpinti vienoje plokštės pusėje, naudojama dvipusė PCB. Elektrinis laidumas tarp plokštės pusių gali būti realizuojamas pragražiant skylės takeliuose ir esamą ertmę padengiant elektriškai laidžiu sluoksniu. Daugiasluoksnės PCB yra pagamintos sujungiant  $n$  sluoksnių elektriškai laidžių takelių, prieš tai juos atskyrus elektrai nelaidžiais sluoksniais.[6]

Elektroniniai komponentai prie plokštės prijungiami keliais metodais: komponentų išvadus pervedant per lydvietės ertmę (senas metodas), plokštės paviršiuje prie lydmetaliu padengtos varinės plokštelės prilituojant komponento išvadus (naujesnis metodas). Naudojant pirmąjį metodą, kiekvienas naudojamas elektroninis komponentas turi plonus laidelius arba išvadus, kurie yra prakišami kiauriai lydvietes ir lituojami padengiant lydmetiu kitoje plokštės pusėje išlindusius išvadus. Kol komponentai nėra sulituoti, lydvietėse jie laikosi tik gravitacijos ir trinties pagalba. Naudojant antrąjį metodą, kiekvieno komponento atitinkamos formos išvadai yra tiesiogiai sujungti su laidininko takeliais. Lydmetalio pasta, kuri susideda iš klijų, fluso ir lydmetalio, yra užtepama ant lydvietės, kad pritvirtintu komponentą litavimo metu. Dažniausiai lituojama konvekciniame krosnyse. [4][6]

## 1.2 Galimos problemos PCB gamyboje

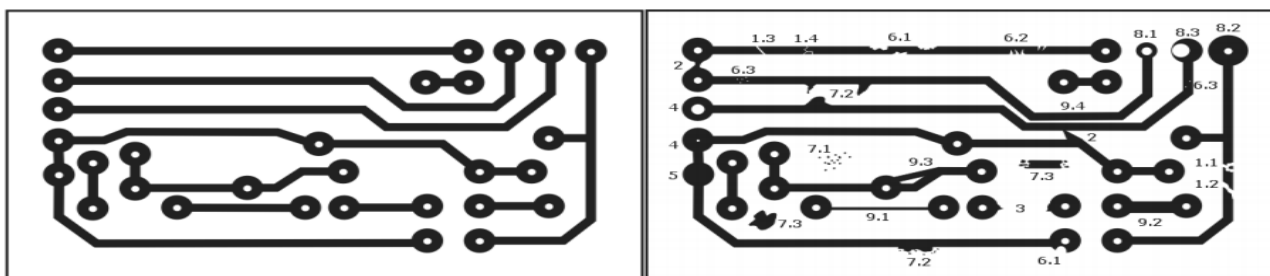
Spausdintinių montažinių plokščių (PCB) gamybojos metu gali atsistikti įvairiausių dalykų, dėl kurių galutinės gamybos stadijoje PCB yra išbrokuojama dėl defektų. Thibadeu pristatė apžvalgą apie PCB defektus bei jų atsiradimo priežastis. Kai kurias priežastis jis išskyrė : blogi tarpai tarp takelių, takelių linijų nevienodumas, netikri aliarmai dėl dulkėtos aplinkos. Tokie defektai atsiranda dėl neteisingos pozicijos spausdinimo metu, temperatūros įtakos, dulkių, iškraipytų plokščių. Kita vertus, PCB yra brokuojama atsiradus tik kai kuriems defektams, smulkesni defektai PCB neįtakoja. [20]

Nors PCB gamybos pramonė vis tobulėja, tačiau dar ir šiomis dienomis gamybos metu atsiranda vis dar tokie patys defektai ir visą tai yra paspirtis plėtoti inspektavimo problemą. Greenberg (2006) pasiūlė U.S.A. patentą, kuris rėmėsi defektų inspektavimu, kai defektuota plokštė programinės įrangos pagalba yra lyginama su geru pavyzdžiu, kuris yra saugomas duomenų bazėje. Programinė įranga jaučia PCB geometriją, susidaro koordinates, kurias lygina su gero šablono koordinatėmis. Naudojantis šia sistema buvo galima greitai atskirti geras PCB nuo tų, kurios yra defektuotos. [20][21]

PCB defektai gali būti klasifikuojami kaip visiškas defektas ir kaip potencialus defektas. Visiškas defektas priskiriamas tada, kai sukurta plokštė nebeatlieka jai skirtų funkcijų. Potencialus defektas priskiriamas tada, kai gali įvykti atsirasti klaidų, gedimų plokštės naudojimo metu. [20]

1.1 lentelė. PCB defektų klasifikavimas

Visiškas defektas	1. Įtrūkimai	1.1 Lūžimas
		1.2 Nepilnas įlūžimas
		1.3 Įdrėskimai
		1.4 Įtrūkimai
	2. Trumpikliai	
3. Trūkstama laidininko dalis		
4. Blogas lydietės diametras		
5. Lydvietės nebuvimas		
Potencialūs defektas	6. Dalinis atvirumas	6.1 Pelės įkandimas
		6.2 Smulkūs patrūkinėjimai
		6.3 Skylutės
	7. Melagingi defektai	7.1 Taškeliai
		7.2 Papildoma atšaka
		7.3 Papildomas takelis
	8. PCB pagrindo pažeidimai	8.1 Per mažai išėsdinta
		8.2 Per daug išėsdinta
		8.3 Netiksliai išėsdinta
	9. Pokyčiai tarp atspausdintų linijų	9.1 Per plonas takelis
		9.2 Per platus takelis
		9.3 Fiktyvus takelis
		9.4 Galimas trumpiklis



(a)

(b)

1.1 pav. PCB schema be defektų (a). PCB schema su defektais (b).

### 1.3 PCB tikrinimo technologijos

PCB defektų inspektavimas yra esminis elementas bet kokiame elektronikos gamybos procese. Šiomis dienomis bet kokio lygio PCB plokščių gamyboje defektų inspektavimas yra būtinas.

Ankstyvoje PCB ar bet kokios kitos elektronikos įrangos gamybos proceso stadijoje, galutinio produkto apžiūra buvo daroma rankiniu būdu, defektų ieškodavo žmogus. Tačiau tobulėjant technologijoms, sudėtingėja ir pačios PCB, kieno pasekoje defektų inspektavimas, naudojantis žmogiškaisiais resursais, tapo nebepatikimas, todėl atsiranda didelė tikimybė, kad defektuota PCB pateks į kitą gamybos proceso etapą, kaip geras pusgaminiis.[5]

*Šiuo metu naudojamos tokios PCB defektų inspektavimo sistemos:*

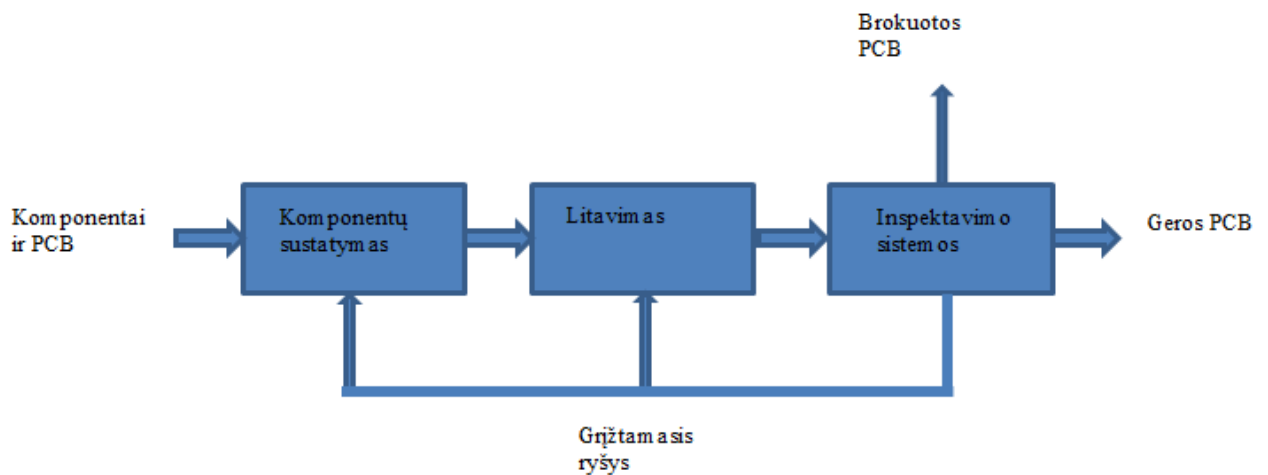
- **AOI** - automatinis optinis inspektavimas (angl. *Automatic Optical Inspection*). Automatizuotas optinis inspektavimas yra privilegijuotas PCB defektų inspektavimo metodas. Panaudota optinė sistema, kuri realiu laiku užfiksuoja atvaizdą lygina su sistemoje esančiu etaloniniu atvaizdu, sistema palyginusi abu atvaizdus išskiria esamus skirtumus ir suklasifikuoja neatitikimus. Ši PCB testavimo sistema yra plačiai naudojama, sistema yra nuolat tobulinama, kad veikimas taptų vis patikimesnis.
- **AXI** – automatinis rentgeno spindulių inspektavimas (angl. *Automated X-Ray Inspection*). Sudėtingėjant elektroninėms plokštėms, tankėjantys elementai apsunkina defektų inspektavimą, nes pasidaro sunku išskirti visas lydvietes. Kai kurie elektronikos elementai prilituojami taip, kad inspektuojant optiniu būdu yra matomi tik komponentų išvadai, tad neįmanoma nuspresti apie lydviečių kokybę. Norint eliminuoti šią problemą buvo pasitelkti rentgeno spinduliai (AXI), kurie lydviečių kokybę gali apspresti net tada, kai pati lydvietė yra uždengta su papildomomis mikroschemomis.
- **ICT** – kontaktinis testavimas (angl. *In Circuit Test*). PCB testavimas vyksta fiziniai prisilietimais, matuojant signalų pralaidumą takeliuose.

*Pagrindinės PCB defektų inspektavimo sistemos paskirtys gamybos procese:*

- **Gamybinių defektų pažymėjimas** - aiški PCB defektų inspektavimo sistemos funkcija yra pažymėti visus defektus, kurių būtų galima išvengti dar iki tikrinimo. Kuo ankstesnis

defektų radimas gamybo procese yra būtinas todėl, kad defektuotai PCB patekus į kitą gamybos proceso etapą, labai išauga gamybos broko kaštai.

- **Suteikti procesui grįžtamąjį ryšį** – taip pat svarbi defektų inspektavimo paskirtis yra suteikti gamybos procesui grįžtamąjį ryšį. Naudojant PCB apžiūros sistemas gali būti pastebimos bet kokios klaidos, suteikus grįžtamąjį ryšį procesui, tolimesnėje eigoje, visos klaidos atsiradusios dėl klaidingo proces yra eliminuojamos ankstyviausiose gamybos proceso stadijose.



**1.2 pav.** PCB gamybos proceso eiga

Iš 1.1 paveikslo galima matyti, kad PCB defektų inspekcijos metu suradus defektuotą plokštę yra suteikiamas grįžtamasis ryšys, dėl ko galima lengviau tobulinti gamybos procesą. Inspektavimo sistemos yra naudojamos taip pat ir po komponentų susstatymo, tiesa dauguma komponentų susstatymo įrenginių turi lokalias inspektavimo sistemas. Atliekant defektų inspektavimą dar prieš litavimą, galima lengvai pataisyti PCB.

### 1.3.1 AOI - automatinis optinis inspektavimas

Nepaisant daugybės patobulinimų, kurie buvo padaryti, šiuolaikiniai PCB takeliai yra išdėstyti labai painiai ir tankiai, todėl plokščių tikrinimas tampa daug sudėtingesnis, nei kad prieš kelis metus. Prasidėjus paviršinio montažo plokščių gamybai ir sekant tolimesniam komponentų dydžių sumažėjimui reišia, kad plokštės yra labai kompaktiškos. Netgi vidutinio sudėtingumo plokštės turi tūkstančius lydviečių, kurios santykinai ir sudaro didžiausią defektų skaičių.[5]

Didėjant plokščių sudėtingumui atsiranda poreikis automatizuoti defektų inspekciją, nes šiomis dienomis raninė apžiūra nėra kokybiškas pasirinkimas. Kokybės inspektoriai pavargdavo, o dėl nuovargio atsirasdavo didelė tikimybė pro akis praleisti brokuotą plokštę. Šiuo metu rinka diktuoja sąlygas, dėl kurių gamyklos turi užtikrinti itin greitą ir patikimą defektų inspektavimo sistemą tam, kad atsirastų garantija, jog pagaminta plokštė yra itin aukštos kokybės. AOI, automatinė optinė inspekcija yra būtinas įrankis integruotos elektronikos testavimo srityje, kuri garantuoja, kad broko kaštai yra sumažinami iki minimalio sumos, nes brokas yra surandamas ankstyvoje gamybos stadijoje.[20][5]

Automatinė optinės inspekcijos sistema naudoja regimuosius metodus, kad aptiktų ir parodytų plokštėse esančius defektus. Sistema gali aptikti įvairius paviršutinius defektus, tokius kaip : *trumpikliai, takelių lūžimai, įbrėžimai, lydmetalio išretėjimas, lydviečių pakitimai, komponentų tinkamumą, komponentų sulitavimo kokybę, bei klaidingai sudėtus komponentus*. Sistema atlieka analogišką inpekciją, kokią atlikdavo ir žmogus, tačiau tai atlieka kur kas greičiau ir tiksliau.[5]

Tai atliekama tyrinėjant plokštės paviršių. Plokštė yra apšviečiama keliais šviesos šaltiniais ir atvaizdui išgauti yra naudojama viena ar kelios aukštos kokybės kameros. Tokiu būdu AOI įrenginys išgauna inspektuojamos plokštės atvaizdą. Sistema apdoroja gautą atvaizdą ir palygina jį su įrenginyje sukauptomis žiniomis, kurios gautos apdorojus etaloninės plokštės atvaizdą. Naudojantis tokiu principu, automatinė optinės inspekcijos sistema tampa įgali inspektuoti ir pažymėti defektus ar įtartinas plokštės vietas. [20]

*Dažniausiai naudojamos AOI naudojami metodai norint nustatyti ar plokštė yra brokuota, ar brokas yra toleruotinas:*

- Gauta plokštės atvaizdo lyginimas su šabloniniu (etaloniniu) atvaizdu. Tikrinama plokštė yra palyginama su šabloniniu atvaizdu ir remiantis po palyginimo gautais rezultatais, nustatomas inspektuojamos plokštės statusas.
- Modelio lyginimas. Naudojant šį metodą AOI sistema išsaugo inspektuojamos plokštės informaciją ir ją lygina su etaloniniu atvaizdu.
- Statistinis modelio lyginimas. Šis metodas panašus į paminėtus aukščiau, išskyrus tai, kad jame naudojamas problemų sprendimas yra pagrįstas statistika.

### ***AOI atvaizdo gavimas ir analizė***

Vienas pagrindinių AOI sistemos elementų yra automatizuotas inspektuojamos plokštės atvaizdo gavimas naudojantis optine inspektavimo sistema. Gautas inspektuojamos plokštės atvaizdas yra apdorojamas AOI programinės įrangos. Egzistuoja nemažai plokštės atvaizdo gavimo būdų, kurių pasirinkimas tiesiogiai priklauso nuo tikrinamų plokščių sudėtingumo, kainos.[20]

Vaizdo išgavimo sistemą gali sudaryti ir viena kamera, tačiau, jei yra poreikis išgauti 3D atvaizdą, kamerų skaičius išauga iki kelių. Kameros pritvirtinamos ant automatizuotų mazgų, kurie pagal programinės įrangos adresavimą perkelia kamerą prie tam tikro inspektuojamos plokštės bloko.[20]

*Nuo pasirinktos kameros tipo tiesiogiai priklausys ir gauti rezultatai. Greitis prieš tikslumą – tai yra esminis balansas, pagal kurį yra pasirenkama kamera:*

- Srautinis vaizdas: vieno tipo kamera, kuri yra naudojama automatiniam optiniam inspektavimui, filmuoja inspektuojamą plokštę pravažiuodama pro šalį ir užfiksuodama visą plokštės rėmą ir puslaidininkius elementus. Iš nufilmuoto video suformuojamas stabilus plokštės atvaizdas, atliekamas tolimesnis atvaizdo apdorojimas. Šis būdas nėra labai tikslus, tačiau turi labai didelį greičio pranašumą.
- Nejudančio atvaizdo gavimas: atvaizdo gavimo metu, kamera būna arti inspektuojamos plokštės, gavus komandą yra užfiksuojama plokštės nuotrauka, tada ji yra apdorojama. Labai didelę svarbą šiame procese užima apšvietimas.

Kai yra pradedamas plokštės atvaizdo analizavimas, AOI sistema ieško konkrečių bruožų: komponento įstatymo vietos, komponento dydžio, komponento pavadinimo, plokštės markiracijos, fono spalvos, atspindžio, lydviečių kokybės ir t. t.

### ***AOI šviesos šaltiniai***

Apšvietimas yra vienas iš esminių elementų AOI sistemoje. Pasirenkant atitinkamą apšvietimo šaltinį atsiranda galimybės daug efektyviau surasti skirtingų tipų defektus. Per pastaruosius metus, apšvietimo technologijoms padarius pažangą, defektų inspektavimo sistemose atsirado galimybė didinti ir mažinti pasirinktus plokštės atvaizdo segmentus, norint kuo geriau išskirti rastus defektus, nepakenkiant atvaizdo kokybei, kai tikrinimo greitis yra pakankamai didelis.[20][5]

Dauguma AOI sistemų turi nustatytą apšvietimo rinkinį, tačiau daugumai atvejų, apšvietimo rinkinio pasirinkimą nulemia inspektavimo operacijos sudėtingumas ir inspektuojamų plokščių sandara. Dažniausiai sistemos apšvietimas yra optimizuojamas pagal esamas sąlygas.[20]

### ***Naudojami šviesos šaltiniai:***

- Fluorescencinis apšvietimas plačiai naudojamas AOI sistemose, kadangi sėkmingai apšviečia ir išryškina dažniausiai pasitaikančius defektus. Vienintelė problema naudojant tokio tipo apšvietimą yra tai, kad fluorescencinės lempos su laiku praranda savo šviesos intensyvumą, kieno pasekoje krenta ir inspektavimo kokybė.
- LED apšvietimas inspektavimo sistemose naudojamas dažniausiai. LED apšvietimas blanksta, kai jis naudojamas ilgą laiką, tačiau tai kompensuojama padidinant srovę. Naudojant LED apšvietimą galima keisti apšvietimo lygį, todėl šviesos diodai yra kur kas pranašesni nei fluorescencinės ar kaitrinės lempučių.
- Infraraudonųjų spindulių arba ultravioletinis apšvietimas naudojamas retai. Dažniausiai tokio tipo apšvietimas reikalingas surasti tam tikrus defektus, kurių neįmanoma aptikti naudojant fluorescencinį ar LED apšvietimą.

### ***AOI sistemos programavimas***

Tam, kad būtų galima patikrinti PCB plokštę naudojant optinį inspektavimą, nedefektuotos PCB plokštės duomenys turi būti saugomi AOI sistemoje. Pradinis duomenų apdorojimas ir funkcijų rašymas turi būti atliekamas labai tiksliai, norint teisingai aptikti visus defektus.[5]

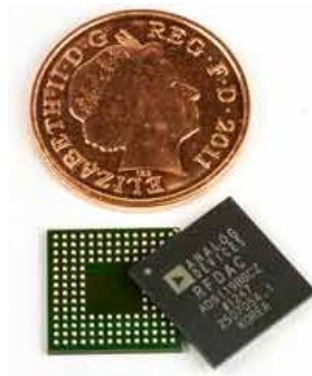


*AOI sistemos programavimo būdai:*

- “Auksinės plokštės”, kaip sistemos apmokymo priemonės naudojimas. Etaloninė plokštė yra nuskenuojama optiniu būdu, tada sistema atpažysta tam tikrus plokštės požymius (komponentus, litavimo taškus, takelius ir daugybę kitų aspektų). Siekiant užtikrinti pakankamą tikslumą, sistema turi būti apmokinama su keliomis “auksinėmis plokštėmis”.
- Algoritmu paremtas programavimas. PCB duomenys yra pateikiami sistemai kaip kodas, sistema sugeneruoja savitą virtualią plokštę. Algoritmo patikrinimui taip pat naudojamos etaloninės plokštės, tačiau jų reikia mažiau, nei apsimokinant “Auksinės plokštės metodu”.

### **1.3.2 AXI - automatinis rentgeno spindulių inspektavimas**

Automatizuota rentgeno spindulių inspektavimo sistema gali rasti beveik visus defektus, su kuriais susiduriama PCB gamyboje. Ši sistema dažniausiai naudojama po litavimo proceso. Pagrindinis privalumas lyginant su AOI sistema yra tai, kad ši sistema gali inspektuoti defektus, kurie yra “paslėpti” po papildomu elementų sluoksniu.[22]



**1.3 pav.** BGA plokštės dydžio palyginimas su moneta

AXI inspektavimo sistemos spinduliai gali ne tik prasiskverbti kiauurai mikroschemas , bet ir gali suteikti vidinį lydvietės vaizdą. Tokiu būdu inspektuojami defektai, kurie gali atrodyti visiškai toleruojami, tačiau dėl vidinių lydvietės savybių, lydvietė būna defektuota. Tai reiškia, kad ši sistema gali pateikti papildomos informacijos apie lydvietes, kas gali užtikrinti, jog gaminys atitiks keliamus standartus. [22]

1.2 lentelė. AOI, AXI ir ICT sistemų galimybių palyginimas

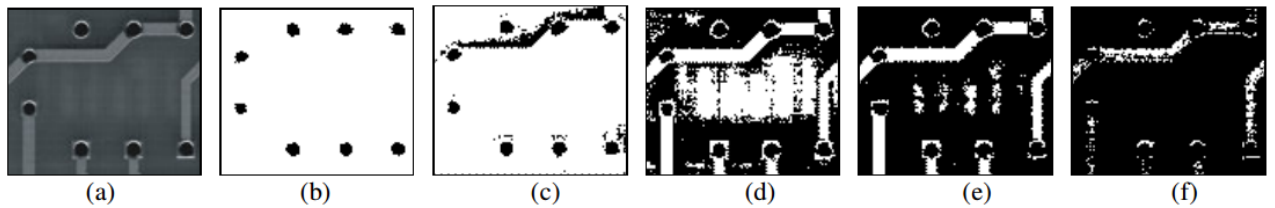
Pagrindinių PCB defektų identifikavimo galimybės AOI, AXI, ICT sistemose			
<b>Litavimo defektai</b>	AOI	AXI	ICT
Nutrūkusi el. grandinė	T	T	T
Lydmetalio trumpikliai	T	T	T
Nepakankamas lydmetalio kiekis	T	T	T
Lydmetalio porietumas	T	N	N
Lydmetalio perteklius	T	T	N
Lydmetalio kokybė	T	N	N
<b>Komponentų defektai</b>			
Lydvietės pakilimas	T	T	T
Trūkstamas komponentas	T	T	T
Netinkama komponento padėtis	T	T	T
Neteisinga komponento reikšmė	N	N	T
Brokuotas komponentas	N	N	T
<b>BGA defektai</b>			
BGA trumpikliai	Y	N	T
BGA nutrūkusi el. grandinė	Y	N	T

## 1.4 Panašūs darbai

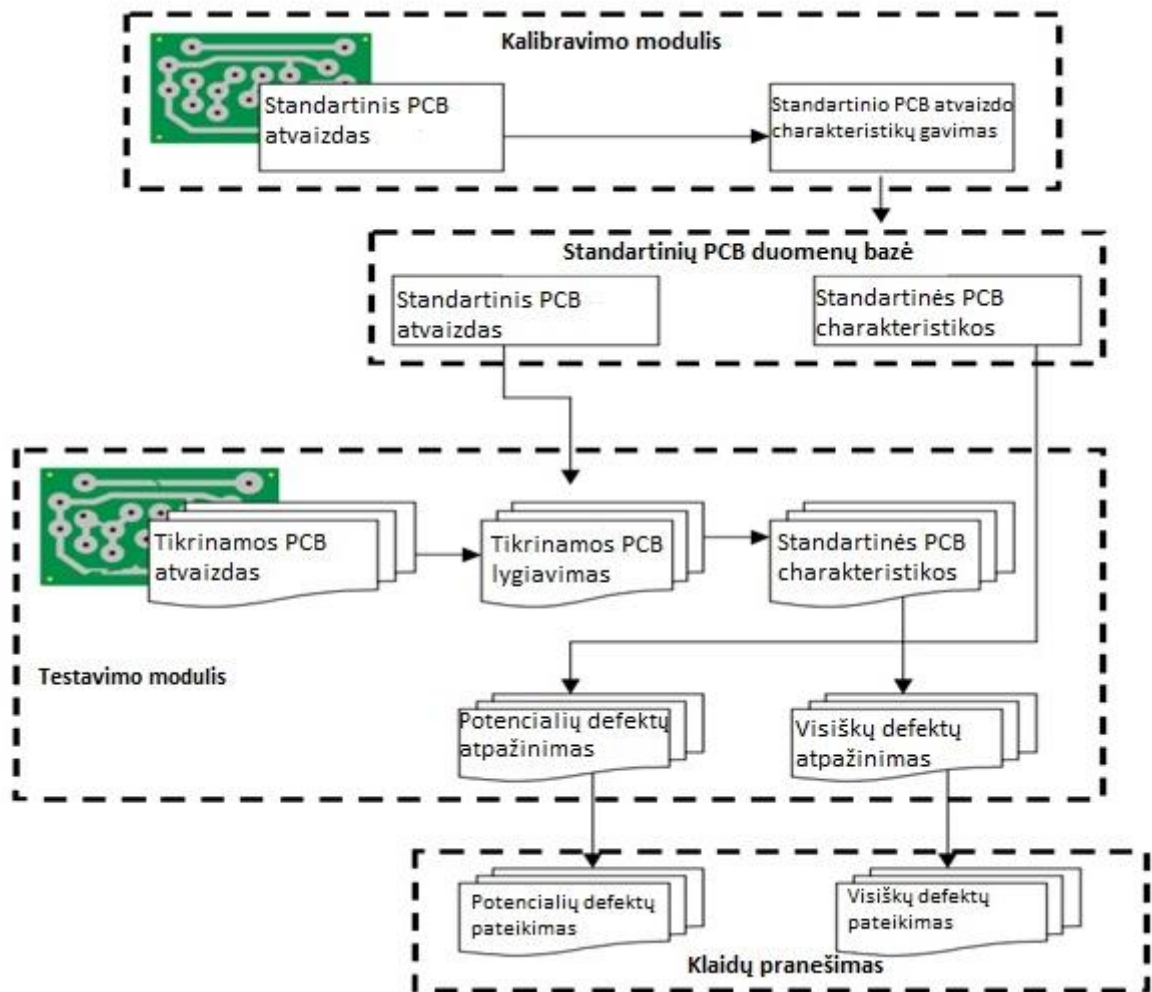
Kompiuterinė regos sistema išsivystė automatikoje taip, kad gali identifikuoti visišką defektą arba potencialų defektą ant plikos plokštės t.y. plokštės be papildomų el. komponentų. Sistema yra sudaryta iš dviejų pagrindinių modulių. Pirmasis modulis yra skirtas kalibravimui, o antrasis modulis skirtas testavimui. Kalibravimo modulyje etaloninė PCB geometrinės charakteristikos yra įsisavinamos ir išsaugomos duomenų bazėje. Gautas standartinis PCB atvaizdas ir jos charakterizuoti parametrai yra naudojami sistemos lygyje, kai gautas atvaizdas yra lyginamas su etaloniniu atvaizdu. Šiuo atveju yra labai svarbu, kad gautas PCB atvaizdas būtų paimtas analogišku rakursu kaip ir etaloninis atvaizdas, viskas turi būti viename lygyje. Bet koks pozicijų skirtumas gali reikšti klaidingą defekto aptikimą. Daugiau detalių apie plokščių lygiavimą, įskaitant atvaizdų lyginimo problemas galima rasti. Testavimo modulis yra padalintas į dvi dalis. Viena dalis identifikuoja potencialius defektus, kita dalis identifikuoja visiškus defektus remiantis Tatibana ir Lotufo algoritmu. Pažymima, kad siūloma technologija suteikia galimybę lengvai apdoroti iliustracijas, tačiau kai yra naudojamos tikros plokštės, atsiranda begalė sunkumų. Dėl šios priežasties atsirado naujos, inovatyvios technologijos ir pritaikyta teisinga metodologija ir tikroms PCB, sistemos schema parodyta 1.5 paveiksle.[14]

Etaloninis ir plokštės atvaizdas yra paverčiamas į dvejetainius atvaizdus. Nors tai yra įprastas procesas, jo taikymas dar nėra išdirbtas ir kartais galutinis rezultatas būna visai ne toks, kokio yra

tikimasi. Dėl nevienodų apšvietimo sąlygų, beveik tampa neįmanoma atskirti laidininkus nuo paviršiaus. Todėl sistema turi būti sureguliuota, ji turi įgyti sąlygas kiekvienai plokščių kategorijai. Didžiausia problema yra „geriausio slenksčio“ faktorius. Stebint 1.4 paveikslą, suprantama, kad tiriamo paveisklo apdorojimas yra gana neblogas ir galima tikėtis nedefektuotos plokštės. Pavyzdžiui Gokturk (2005m) pasiūlė metodologiją kaip išspręsti šią problemą, kuri susideda iš modifikuotos „Gudraus kampų atpažinimo“ ir neprižiūrimų mokymosi algoritmų, kurie atskiria skirtingus PCB plokštės taškus.[15]

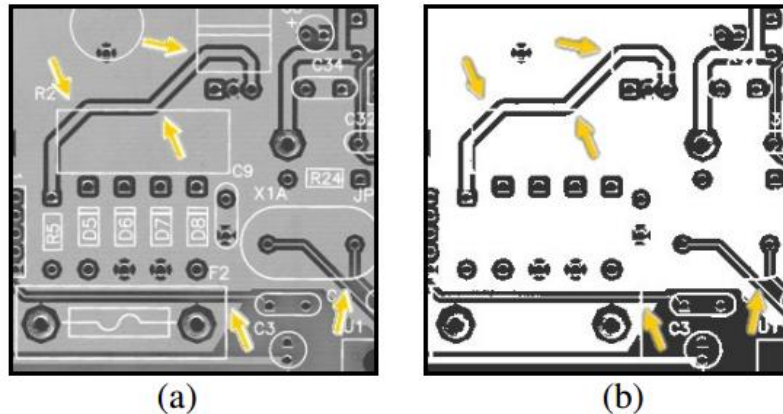


1.4 pav. PCB dalis (a). Slenksčio reikšmės lygios : (b)4, (c)50, (d)70, (e)80 ir (f)110.



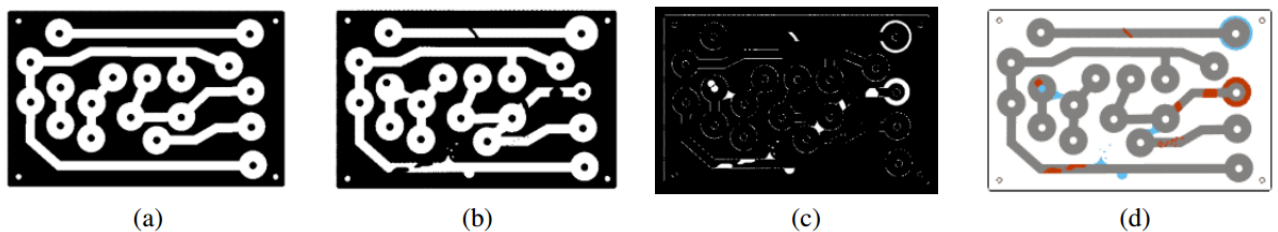
1.5 pav. PCB inspektavimo sistema

Sekanti, dažnai aptinkama problema prieš apdorojant atvaizdą yra informacijos atspausdinimas ant plokštės (1.6 pav.). Šiuo atveju, po paveikslo apdorojimo gali atsirasti klaidinga trūkusio takelio interpretacija. Taigi, atvaizdo apdorojimą rekomenduojama atlikti prieš spausdinimo procesą.[15]



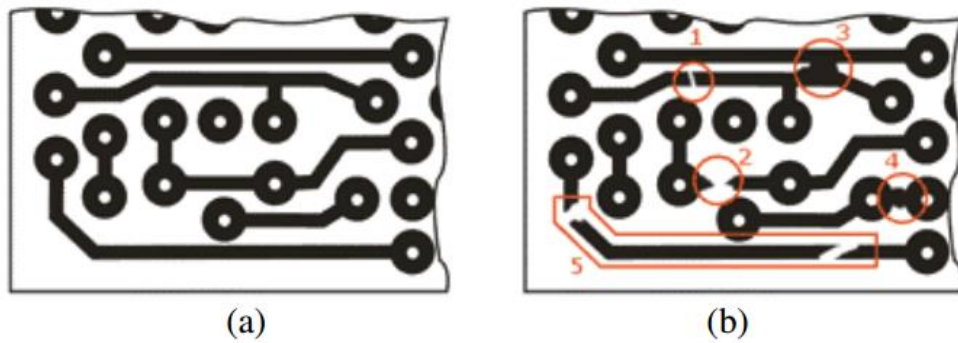
1.6 pav. (a) atspausdinta informacija gali įtakoti neteisingą analizę. (b) po atvaizdo apdorojimo vienas iš takelių atrodo pažeistas.

Sprendžiant šias problemas PCB atvaizdas yra lyginamas su etaloniniu PCB atvaizdu. Potencialios atpažinimo klaidos yra nustatomos iš tikrinamo atvaizdo atimant etaloninį atvaizdą. Jei, po atvaizdo atimties, tirkinamame atvaizde dar randama papildomų pikselių, sistema juo nuspalvina raudonai, jei po analogiško veiksmo papildomų pikselių atsiranda ir netinkamose vietose, sistema juos nuspalvina mėlynai (1.7 pav.). Pikselių trūkumas gali parodyti trūkusį takelį, išsėdinimus, per daug plonus takelius ar trumpą jungimą. Galime pastebėti, kad kai kurie defektai klasifikuojami kaip visiški.[16]



1.7 pav. (a) Etaloninė PCB. (b) tikrinama PCB. (c) Dvejetainis atvaizdas. (d) Spalvotas atvaizdas.

Visiški gedimai yra identifikuojami iš naujo (jei yra poreikis) elektrinio ryšio konceptu. Elektroninių komponentų sujungimo su PCB tikslas yra tas, kad tai leidžia srovei tekėti norima linkme. Kadangi PCB plokštėje yra daug puslaidininkų, kurie yra sujungti, tai jei tikrinant yra ryšis, plokštė nėra išbrokuojama. Analizuojama inspektavimo sistema atpažysta takelių lūžimus (1, 2, 5), trumpus jungimus (3, 4) (1.8 pav.). [16]

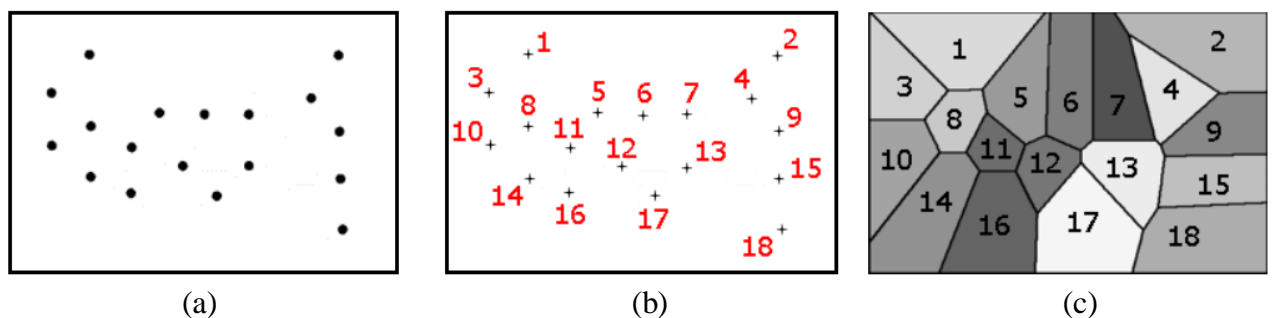


**1.8 pav.** (a) Etaloninis atvaizdas. (b) Tikrinamas atvaizdas su visiškais defektais

Pirmą žingsnį sudaro tai, kad reikia atpažinti laidininkus ir skylės, tuomet sudaroma ryšių lentelė. Ši lentelė yra lyginama su etalonine ryšių lentele, gautos kalibraciniame modulyje. Toks pat metodas naudojamas gauti etaloninę lentelę ir tikrinamo atvaizdo lentelę. [16]

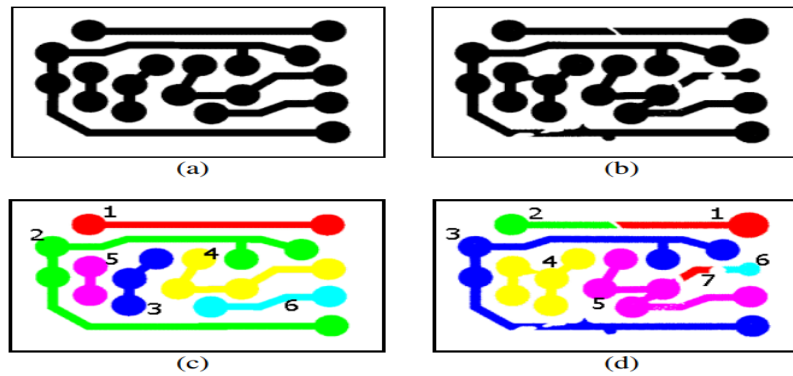
Pirmiausia, norint atpažinti skylės, reikia apdoroti PCB atvaizdą taip, kad dominuotų juoda ir balta spalvos. Naudojamas ryšių operatorius, kuris apdoroja baltas skylės. Skylių centrų koordinatės yra apskaičiuojamos ir išsaugomos lentelėje (1.9 pav.). [17]

Lyginant kiekvienos skylės indeksą etaloniame ir tikrinamame atvaizde, galima pažymėti, kad nevisada vienodas skylės indeksas parodo vienodas skylės lyginamuose atvaizduose. Tam, kad išvengtų tokių neaiškumų, buvo įdiegta įtakos žemėlapių algoritmas. Įtakos žemėlapis yra grindžiamas etaloniniu PCB atvaizdu. Šis atvaizdas yra padalintas į skirtingas zonas, pagal minimalų atstumą tarp kiekvienos skylės centrinių koordinatė ir kiekvieno atvaizdo pikselių. Minimalus rezultatas atitinka skylės padėtį specifinėje zonoje. Susikirtimas tarp įtakos zonų yra neaiškus. [14][15]



**1.9 pav.** (a) Skylės ir jų (b) koordinatiniai indeksai (etaloninio atvaizdo). (c) Įtakos zonų žemėlapis.

Analizuojant laidininkus, skylės yra užpildomos juoda spalva. Tuomet 4-kontaktis operatorius) yra įdiegiamas į naują atvaizdą, gauti atvaizdai parodyti 1.10 paveikslo (c) ir (d) dalyse, kiekvienas laidininkas turi savo spalvą. Jei nor vienas laidininkas yra nutrūkęs, algoritmas jį pažymi skirtinga spalva (1.10 pav.)(spalvos aprašytos 1.3 lentelėje), kas padeda greičiau atpažinti potencialų defektą. [17]



**1.10 pav.** (a) Etaloninis atvaizdas. (b) Tiriamas atvaizdas. (c) ir (d) laidininkai išskirti spalvinėmis žymomis

1.3 lentelė. Spalvinis laidininko žymėjimas

Indeksavimo spalvos			
Etaloninis atvaizdas		Tikrinamas atvaizdas	
1	Raudona	1	Raudona
2	Žalia	2	Žalia
3	Mėlyna	3	Mėlyna
4	Geltona	4	Geltona
5	Rožinė	5	Rožinė
6	Žydra	6	Žydra
		7	Oranžinė

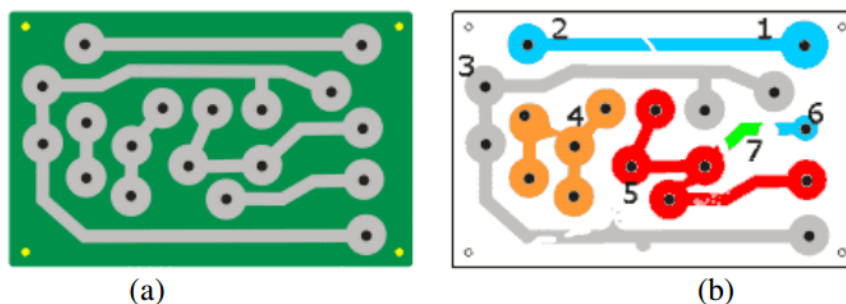
1.4 lentelė. Etaloninio PCB ryšiai, tikrinamo PCB ryšiai

Etaloniniai ryšiai		Tikrinamo atvaizdo ryšiai	
Laidininko indeksas	Lydvietės indeksas	Laidininko indeksas	Lydvietės indeksas
1	1	1	2
2	1	2	1
3	2	3	3
4	2	4	3
5	3	5	4
6	4	6	5
7	2	7	3
8	5	8	4
9	4	9	6
10	2	10	3
11	3	11	4
12	4	12	5
13	4	13	5
14	5	14	4
15	6	15	5
16	3	16	4
17	6	17	5
18	2	18	3

Naudojant įtakos zonų žemėlapių sutalpinti laidininkus ir skyles į tikrinamų plokščių indeksų lentelę, kur kiekvienas laidininkas sujungia dvi skyles. Jei ten yra koks nors mažas įtrūkimas, jis aiškiai pasimatys, kai sulyginsim su etaloninio ryšio indeksavimo lentele (1.4 lentelė). 1.5 lentelė rodo spalvų koduotę, kuri priklauso nuo atvaizdo rezultato. Rezultatai gauti lyginant etaloninę ryšių indeksų lentelę su tiriamo atvaizdo ryšių lentele (1.11 pav.). 1.10 paveikslas parodo rezultatus, atsižvelgiant į spalvų kodą pateikta 1.5 lentelėje.[14]

1.5 lentelė. Spalvų kodai

Spalvos kodas		
Laidininkas	Spalvos reikšmė	Spalva
Nėra klaidų	0	Juoda
Nėra lydvietės	4	Žalia
Įtrūkimas	6	Mėlyna
Trumpiklis	8	Oranžinė
Įtrūkimas ir trumpiklis	10	Raudona



1.11 pav. (a)Etaloninis PCB. (b) Ištirtos plokštės galutinis rezultatas

## 2. METODINĖ DALIS

Metodinėje dalyje yra aprašomas PCB defektų inspektavimo metodas. Defektų inspektavimo metodas realizuotas naudojantis „*Matlab*“ programiniu paketu.

*Matlab* buvo sukurta kompiuterių analitiko Clev Moler 1970m. Nuo tada ši programa buvo tobulinama ir šiuo metu virto sėkmingu komerciniu produktu, taikomu tiek mokslo technologijoms, tiek studijoms. *Matlab* – tai dviejų angliškų žodžių Matrix ir Laboratory trumpinys, parodantis taikomą esminį skaičiavimų būdą, grįstą su matricomis atliekamais veiksmis. Esminis šios programos duomenų elementas yra matrica, kurios tikslaus dydžio nurodyti nereikia. Programa papildoma specifinių taikomųjų sprendinių bibliotekomis, kurias galima naudoti kaip „juodąsias dėžes“, bet kartu ir mokytis analizuoti jų kodą.[1]

Naudojantis aprašytu metodu PCB plokštėje inspektuojami dažniausiai pasitaikantys defektai: *takelio trūkimai, trumpikliai, trūkstamos laidininko dalys, blogas lydviečių diametras, fono klaidos.*

Sukurtas metodas skirtas taikomojo uždavinio sprendimui. Vaizdo apdorojimas (toliau - inžinerinis uždavinys) ir jo savybių išgavimas siejamas su nuosekliu, struktūrizuotu uždavinio sprendimu. Inžinerinis uždavinys turi būti sprendžiamas metodiškai, taikant atitinkamą algoritmą, žingsnis po žingsnio, artėjant prie sprendinio. Skaičiavimais grindžiamo uždavinio sprendimo procesas aprašomas šiais pagrindiniais žingsniais:

1. Problemos apibrėžimas ir apibūdinimas.
2. Skaitinio metodo kūrimas uždaviniui spręsti.
3. Skaitinio metodo įgyvendinimas.
4. Sprendimo patikra ir sprendimo įvertinimas.

### 2.1 Problemos apibrėžimas

Gaminant spausdintinio montažo plokštes (toliau - PCB), gaminimo proceso metu, visada yra tikimybė, kad PCB bus defektuota. Greičiausias būdas patikrinti PCB kokybę yra vizualinė inspekcija, kadangi nėra jokio kontaktinio tikrinimo, PCB kokybę nustatoma kompiuteriniu algoritmu, kuris identifikuoja galimo defekto vietą plokštėje ir aspškaičiuoja jo įtaką plokštei.

PCB defektai turi būti identifikuojami tiksliai, kadangi ne visi egzistuojantys defektai gali pakenkti plokštei, dalis defektų yra toleruojami ir kokybei nepakenkia. Dalis defektų, kurie yra kritiniai, yra vos pastebimi, todėl uždavinys tampa sudėtingas. Sprendžiant uždavinį reikia atkreipti dėmesį atvaizdo metriką, kadangi tikrinamų PCB atvaizdai negali būti identiški, nes visada



egzistuoja maža atvaizdo padėtis, jo užfiksavimo momentu, paklaida dėl atvaizdo fiksavimo įrangos techninių nuokrypių.

Defektai turi būti suklasifikuoti į atskiras klases: *trumpikliai, takelio trūkimai, lydviečių pakitimai, takeliu toleruoti trūkimai (pelės įkandimas), sienos klaidos*.

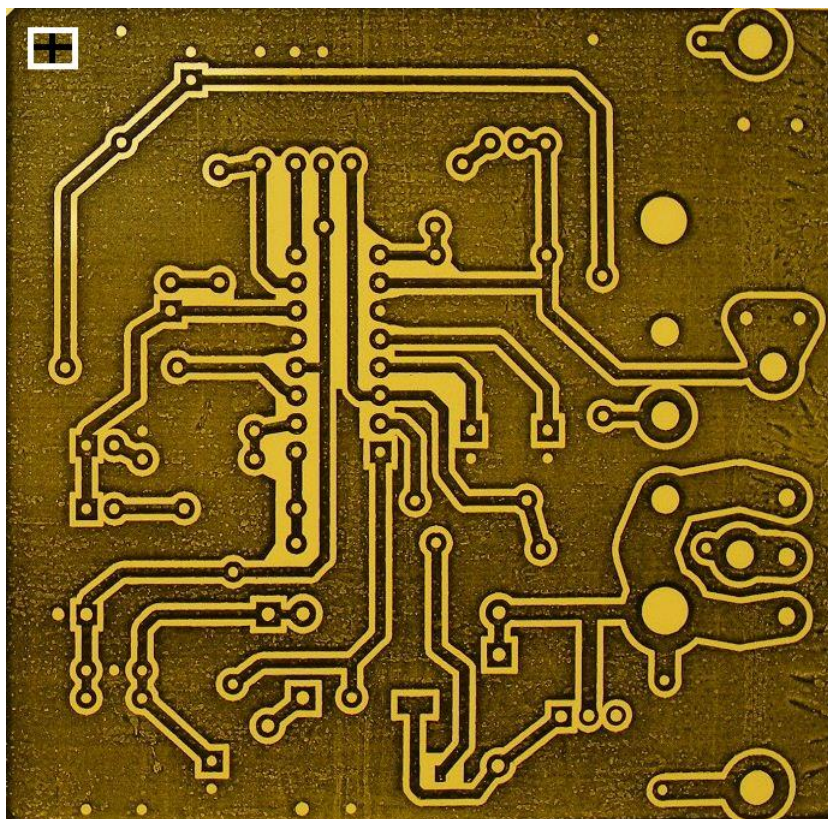
PCB defektų inspektavimo sistemos teisingo funkcionavimo patikrinimui pasirinktas spalvotas (RGB) PCB atvaizdas. Spalvotas atvaizdas turi būti apdorojamas, norint teisingai identifikuoti defektus. Atvaizdo filtravimas nuo triukšmo yra būtinas, nes identifikuojant defektus atsirastų

## 2.2 Skaitinio metodo kūrimas uždaviniui spręsti

PCB defektų inspektavimo sistemos veikimas pagrįstas etaloninės ir defektuotos plokštės palyginimo principu. Apdorojus etaloninės ir defektuotos plokščių atvaizdus, jie yra palyginami. Po palyginimo išskiriami defektuotos plokštės taškai, kurie neegzistuoja etaloninėje plokštėje.

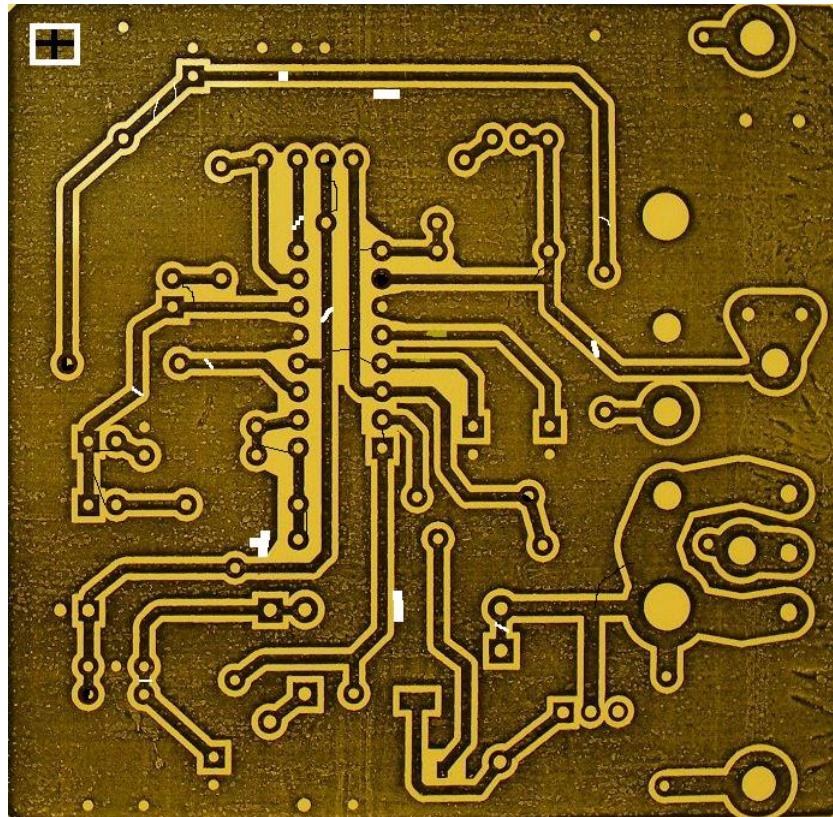
PCB defektų inspektavimo sistemos kūrimo metu buvo atsižvelgta į tokias problemas: *tikrinamo atvaizdo metrika (pasikreipimas etaloninės plokštės atžvilgiu), triukšmo filtravimas nepaliečiant smulkių defektų*.

Prieš pradėdant kurti skaitinį metodą uždaviniui spręsti, pasirenkama etaloninė (Pav. 2.1) ir defektuota (2.1 pav.) plokštės.



1.1 pav. Etaloninė plokštė

Etaloninės plokštės atvaizdas gautas nufotografavus PCB. Fotografijai (atvaizdui) išgauti buvo skaitmeninis fotoaparatas. Atvaizdo dydis – 693x678 pikselių.



1.2 pav. Defektuota plokštė

Defektuotos PCB plokštės atvaizdas yra analogiškas etaloninei plokštei. Defektai sukurti redaguojant atvaizdą su *windows 10* platformoje siūlomu redagavimo įrankiu. PCB atvaizdas redaguotas taip, kad vienoje plokštėje būtų visų ieškomų defektų rūšys. Redaguojant atvaizdą atsižvelgta į tai, kad realybėje vienos rūšies defektai būna įvairių dydžių. Vieni defektai būna matomi ir plika akimi, kadangi defektas apima didesnę dalį plokštės, kiti - mažesni defektai plika akimi nepastebimi, tad reikia, kad juos identifikuotų inspektavimo sistemos.

Takelio lūžimo defektai realizuoti stengiantis nenukrypti nuo realių defektų, kurie atsiranda PCB gaminimo proceso metu. Takelio lūžimo defektai sudaryti taip, kad jie nebūtų lygiagretūs x ar y ašims. Dalis takelio lūžimo defektų tėra ~1 pikselio pločio, kas garantuoja, kad sukurtai sistemai radus tokio dydžio defektą, bus surasti visi takelių lūžimo defektai.

Trumpiklio defektai taipogi realizuoti stengiantis nenukrypti nuo realių defektų. Trumpikliai nėra lygiagretūs x ir y ašims, trumpiklio juostos plotis ~1 pikselį. Lydviečių defektai realizuoti užtušuojuojant dalį lydvietės ertmės. Toleruoti defektai realizuoti ištrynus dalį takelio ir jį užpildžius fono spalva.

PCB defektų inspektavimo sistema sudaryta iš kelių etapų:

1. Testuojamų atvaizdų apdorojimas
2. Testuojamų atvaizdų objektų metrikos palyginimas
3. Testuojamų atvaizdų išvalymas nuo triukšmų
4. Atvaizdų palyginimas
5. Po palyginimo rastų skirtumų/defektų klasifikavimas
6. Defektų išskyrimas
7. Rastų defektų surašymas į registrą

### **2.2.1 Testuojamų PCB atvaizdų apdorojimas**

Vaizdas gali būti apibrėžiamas, kaip dvimatė funkcija  $f(x, y)$ , kur  $x$  ir  $y$  - taško koordinatės, o amplitudė  $I$  lygi skaičiaus reikšmei tame taške. Kai  $x$ ,  $y$  ir amplitudės reikšmės yra baigtinės, diskretaus kiekio, galima teigti, kad vaizdas yra skaitmeninis. Skaitmeninių vaizdų apdorojimo srityje, norint perdirbti pirminius vaizdus, naudojami kompiuteriniai apdorojimo algoritmai. Pažymima, kad skaitmeninį vaizdą sudaro baigtinis elementų skaičius, kurių kiekvienas turi savo konkrečią vietą ir reikšmę. Minėti elementai yra nurodomi kaip *paveikslė elementai*, *vaizdo elementai*, *pikseliai*, *subpikseliai*. Dažniausia naudojamas terminas yra – pikselis.[11][12]

Matymas yra pats pažangiausias mūsų pojūtis, todėl nenuostabu, kad vaizdai užima svarbiausią rolę suvokime. Kaip bebūtų, skirtingai nuo žmonių, kurie turi ribotas elektromagnetinio spektro regėjimo juostų matymą, vaizdo apdorojimo įrenginiai apjungia ir gali apdoroti beveik visą elektromagnetinių bangų spektrą, nuo gamos iki radijo bangų. Įrenginiai gali apdoroti vaizdus, kurie sugeneruoti išorinių įrenginių (fotoaparatu, kamerų) pagalba, ko žmogus jau negali atlikti. Tai apima ultragarsą, elektroninės mikroskopijos ir kompiuteriu sukurtus vaizdus. Taigi, skaitmeninis vaizdų apdorojimas apima platų signalų ir vaizdų apdorojimo asortimentą.[12]

Vis dar nėra tokio bendro susitarimo tarp autorių, kur pasibaigia vaizdo apdorojimas pasibaigia, o kur prasideda vaizdo analizė ir kompiuterinis apdorojimas. Kartais vaizdo apdorojimas nusakomas kaip disciplina, kurioje tiek įėjime, tiek išėjime, apdorojimo proceso metu, yra vaizdai. Yra sritys, pavyzdžiui, kompiuterinė rega, kurios pagrindinis tikslas yra imituoti žmogaus regą, įskaitant mokymąsi ir išvadų darymą, remiantis vizualiniais įėjimais. Tokia sritis yra dirbtinio intelekto (DI) šaka, kurio pagrindinis tikslas yra pamėgdžioti ir bandyti atkartoti žmogaus intelektą. Kol kas DI yra nedaug išvystyta, vystymosi progresas buvo daug lėtesnis nei buvo tikėtasi. Vaizdo

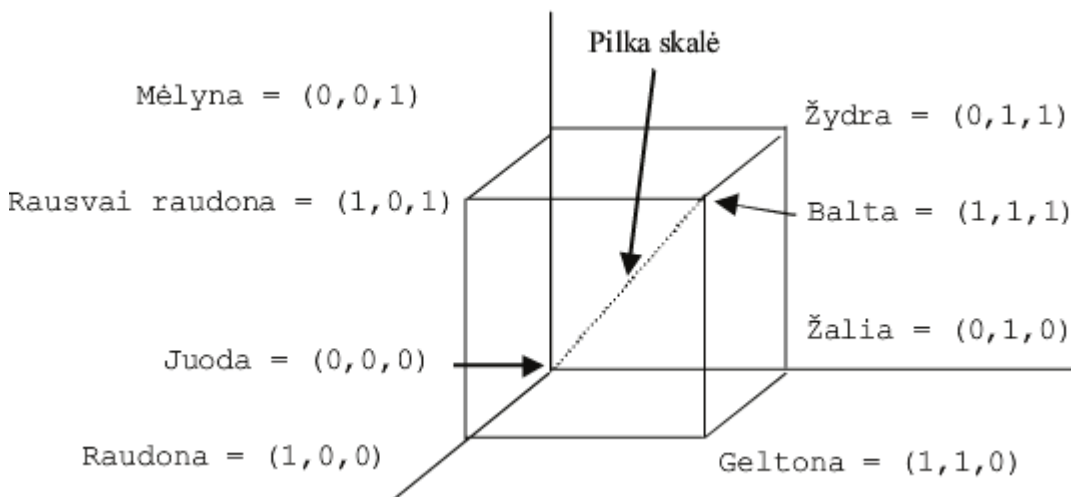
analizės terpė (taip pat vadinama vaizdo supratimu) yra tarp vaizdo apdorojimo ir kompiuterinės regos terpių.[13]

Nėra aiškių kontinuumo ribų nuo vaizdo apdorojimo viename gale, iki kompiuterinės regos kitame. Kaip bebūtų, yra viena naudinga paradigma nusakanti tris kompiuterinio apdorojimo lygius: žemo, vidutinio ir aukšto lygio procesai. Žemo lygio procesas apima paprasčiausius veiksmus taikomus vaizdams, t. y. triukšmo pašalinimas, kontrasto derinimas ir vaizdo paryškimas. Žemo lygio procesas charakterizuojamas faktu, kad tiek įėjime, tiek išėjime yra vaizdai. Vidutinio lygio procesas, apdorojant atvaizdus, apima įvairias užduotis, tokias kaip vaizdo segmentavimas (vaizdo padalinimas į atskirus regionus), vaizdo glaudinimas, norint juos sumažinti į formą, tinkamą apdoroti kompiuteriu, atskirų detalių atpažinimui. Vidutinis lygis charakterizuojamas faktu, kad įėjime yra vaizdas, o išėjime yra išskirti tam tikros to vaizdo dalys (skeletas, regionas, kontūras). Galiausiai, aukščiausio lygio apdorojimas apima „savaiminį supratimą“ suprantant ir atpažįstant matomą vaizdą, naudojantis vaizdo analize ir atitinkamomis funkcijomis aprašyti kompiuterinei regai.[13]

Vaizdų apdorojimo programose pustoniai vaizdai saugomi kaip matricos, o spalvotieji – kaip daugiamačiai masyvai, pavyzdžiui, sudaryti iš trijų vienodo dydžio matricių, kurių vienoje yra raudonos spalvos dedamosios taškų reikšmės, o kitose atitinkamai – žalios ir mėlynos.

Testuojami PCB atvaizdai yra spalvoti (RGB spalvų paletė), todėl prieš pradėdant atvaizdų apdorojimą juos reikia suskaitmeninti (paversti į dvinarį atvaizdą).

RGB spalvų paletė sudaryta iš trijų pirminių spalvų: R (angl. *red*) – raudonos, G (angl. *green*) – žalios ir B (angl. *blue*) – mėlynos. Maišant šias pirmines spalvas yra gaunama bet kokia kita spalva. Dažniausiai RGB spalvos vaizduojamos kaip kaip kubo kraštinės (2.3 pav.).[18]



2.3 pav. RGB spalvų kubas

Kai visos dedamosios yra lygios 0, gaunama juoda spalva, o kai maksimalios reikšmės – balta. Maišant visų spalvų po lygiai, gaunami pilki tonai (ang. *grayscale*).[7]

RGB yra patogi technikoje – daugelis vaizdo įtaisų veikia šios paletės pagrindu. Tačiau skalė nėra universali – ji netinka vaizdams apdoroti. Priežastis – R, G, B dedamosios tarpusavyje labai koreliuoja, o tai sukelia problemų naudojant vaizdo apdorojimo ir analizės algoritmus. Pavyzdžiui, histogramos tankiui išlyginti geriau naudoti HIS skalę, kurioje yra spalvų intensyvumai. Daugeliu atveju vaizdams apdoroti yra reikalingi ne spalvoti, o juodos ir baltos spalvų su pustoniais vaizdai.[7]

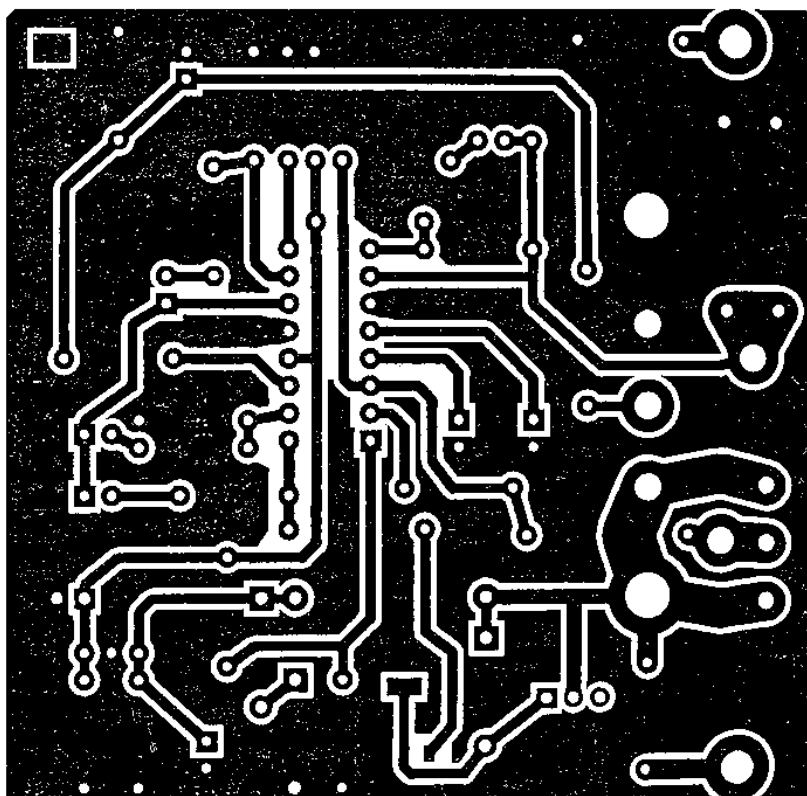
Norint paversti spalvotą vaizdą į juodai baltą reikia pasinaudoti formule:

$$JB = 0,333 \times R + 0,333 \times G + 0,333 \times B \quad (2.1)$$

Jei vaizdas yra NTSC standartų, galima taikyti šiek tiek pakoreguotus koeficientus:

$$JB = 0,299 \times R + 0,587 \times G + 0,114 \times B \quad (2.2)$$

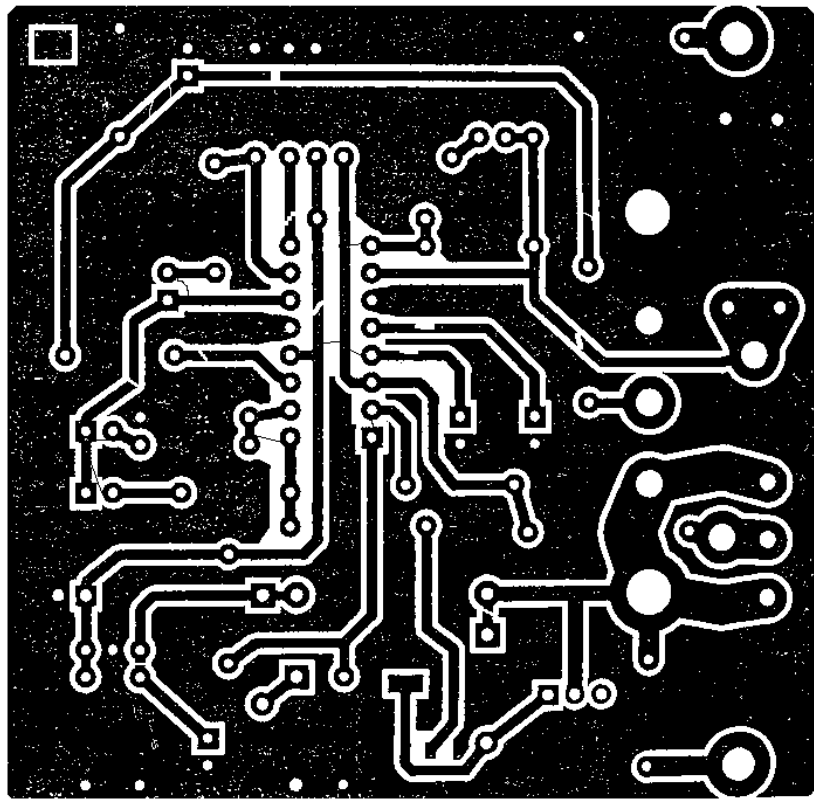
Atlikus atvaizdų skaitmenizavimą, gautuose atvaizduose (2.4 pav.) ir (2.5 pav.) matoma daug triukšmo.



2.4 pav. Triukšmingas etaloninis atvaizdas po skaitmenizavimo

Norint atlikti tolimesnius etaloningės ir defektuotos plokščių atvaizdų apdorojimo veiksmus, kuriamas triukšmo valymo filtras, kuris optimaliai pašalins visus nereikalingus triukšmus.

Vaizdų filtravimas dažniausiai naudojamas pradiniam vaizdai pakeisti į tokį, kuris atitiktų norimą spalvą matomoms smulkioms detalėms vaizde naikinti, norimiems vaizdo elementams išryškinti arba iškraipytiems vaizdams rekonstruoti. Iškraipytųjų vaizdų rekonstrukcijos metodai grindžiami iškraipymų modeliavimu ir atvirkštinių iškraipymams veiksmų atlikimu vaizdams atstatyti. Atliekant tokią rekonstrukciją svarbu nustatyti vaizdo kokybės kriterijus, kuriais remiantis sprendžiama, ar vaizdas yra atstatytas, ar ne. Vaizdo kokybės kriterijai yra euristiniai ir grindžiami žmogaus akies savybėmis.



2.5 pav. Triukšmingas defektuotas atvaizdas po skaitmenizavimo

### 2.2.2 Filtro kūrimas

Kadangi, po atvaizdo suskaitmeninimo, gautame rezultate yra ganėtinai nemažai triukšmingų pikselių, todėl prieš pradėdant tolimesnę apdorojimo seką, atvaizdą reikia išfiltruoti. Filtruojamo atvaizdo dydis – 693x678 pikselių.

Filtravime, kaip ir defektų inspektavime, naudojama 3x3 pikselių tikrinimo matrica (2.6 pav.).

0	0	0
0	•	1
0	0	1

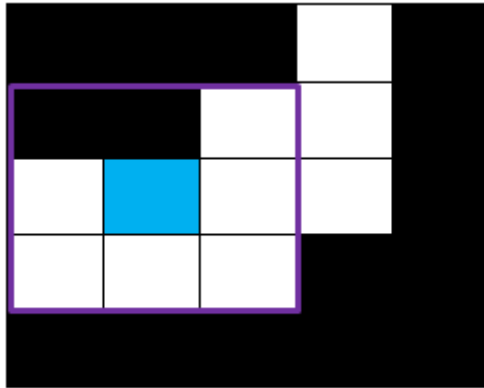
**2.6 pav.** 3x3 matrica

Naudojant 3x3 tikrinimo matricą, patikrinamas kiekvienas atvaizdo pikselis. Tikrinimas pradedamas nuo atvaizdo masyvo antro stulpelio ir antros eilutės (2.7 pav.), kadangi tikrinamos 3x3 matricos vidurinis pikselis. Tikrinama, ar vidurinio pikselio (2.6 pav.) kaiminystėje esančių pikselių reikšmės, kiekvienas rastas baltas pikselis sumuojamas. Jei po patikrinimo, 3x3 matricoje baltų pikselių yra  $\leq 4$ , balti pikseliai priskiriami triukšmui. Po priskyrimo triukšmui, balti pikseliai yra invertuojami į juodus pikselius. Jeigu tikrinant 3x3 matricoje baltų pikselių yra  $>4$ , tai suprantame, kad tai yra galima klaida, baltų pikselių neinvertuojame.

0	0	0	1	0	0	0	0	0	0
0	0	0	1	1	0	0	0	0	0
0	0	0	1	0	0	1	1	0	0
0	0	1	1	0	0	0	0	0	0
1	0	1	1	0	0	0	0	0	1
1	1	1	0	0	1	0	1	0	0
0	0	0	0	0	1	1	0	0	0
0	0	0	1	0	0	0	0	0	0
0	1	0	1	0	0	0	0	1	0
1	0	1	1	0	0	0	0	1	0

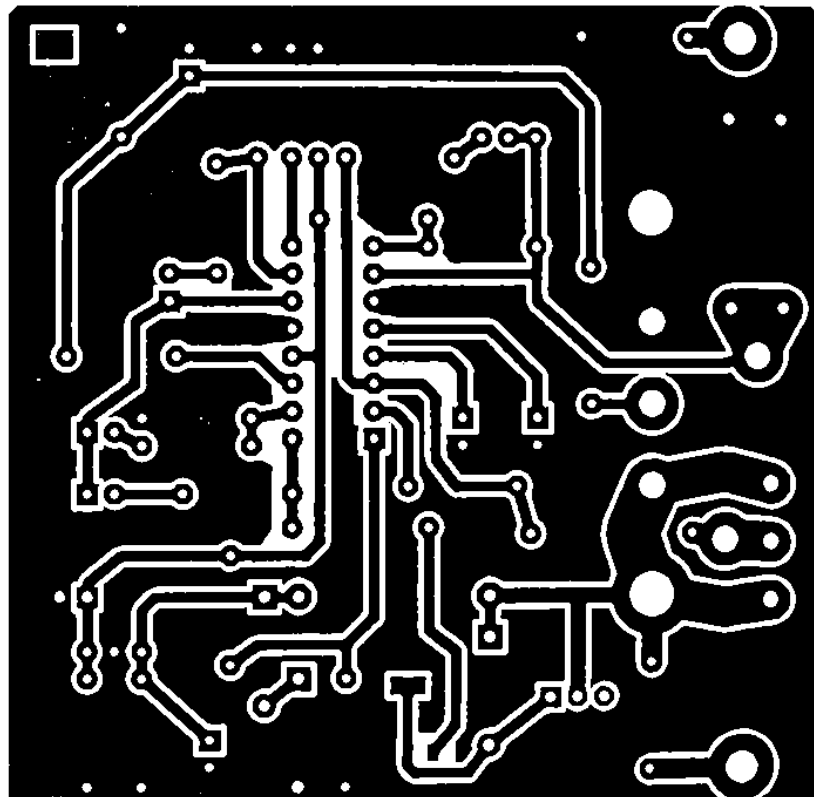
**2.7 pav.** 10x10 masyvo pikselių reikšmių tikrinimas (mėlynas langelis – tikrinimo pradžia, žalias ir violetinis langeliai – 3x3 tikrinimo matricos, žydras langelis – defekto detektavimo zona, rodyklės nurodo tikrinimo kryptį)

Toleruojamų baltų pikselių 3x3 tikrinimo matricoje kiekį galime koreguoti nuo 1 iki 8. Tačiau optimaliausiai atvaizdas išvalomas nuo triukšmo ties 4 baltų pikselių toleravimo riba. Kaip parodo 2.7 paveikslas, skaitmenizuoto atvaizdo masyvo tikrinimas prasideda ties antra eilute ir antru stulpeliu. Tikrinamame masyve, tikrinimo matricos viduriniajam nariui pasislinkus į žydrai apibrėžtą zoną (2.7 pav.), pagal užduotą sąlygą yra detektuojamas galimas defektas, kadangi 3x3 matricoje iš 9 pikselių, 6 pikseliai yra balti.



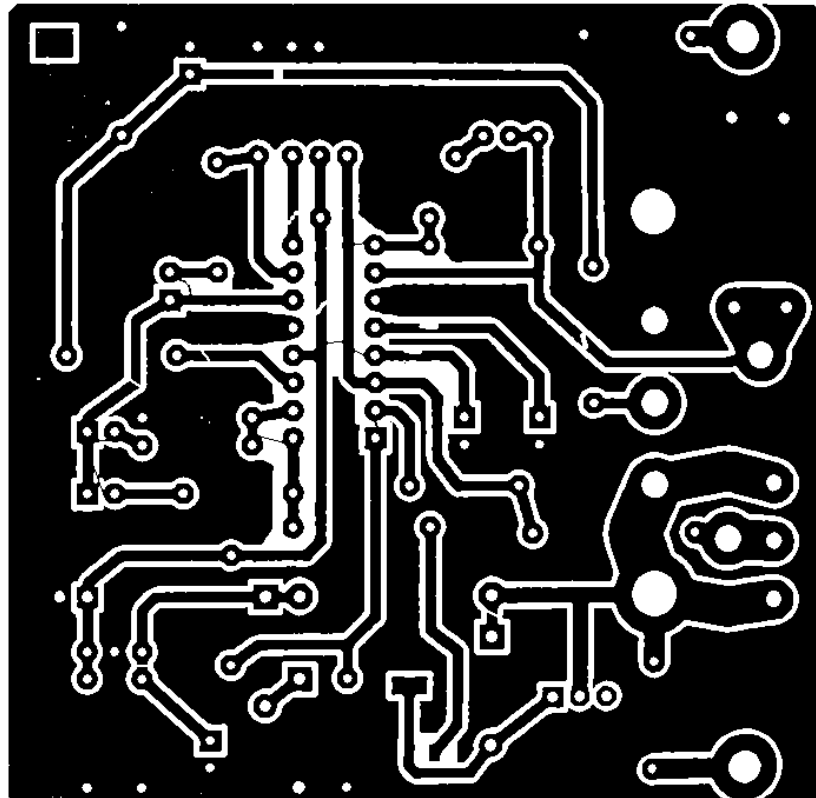
**2.8 pav.** Detektuotas defektas iš 2.7 paveikslo

Atlikus filtravimą tikrinamų PCB atvaizdams matyti, kad etaloninės plokštės atvaizde (2.9 pav.) beveik visas buvęs triukšmas yra pašalintas, o tikrinamos plokštės atvaizde (2.10 pav.) triukšmas pašalintas analogiškai kaip ir etaloninės plokštės atvaizde, tačiau su triukšmu kartu buvo išfiltruoti ir mažiausi takelių trūkimo defektai. Defektai takeliuose išfiltruojami, kadangi jie yra  $\sim 1$  pikselio pločio ir nėra lygiagretūs tikrinimo matricos judėjimo x ir y ašims. Kadangi filtruojant tikrinamos plokštės atvaizdą išsifiltravo ir dalis takeliuose esančių defektų, buvo sukurtas analogiškas filtras, tačiau su juo buvo filtruojami tik takeliai.



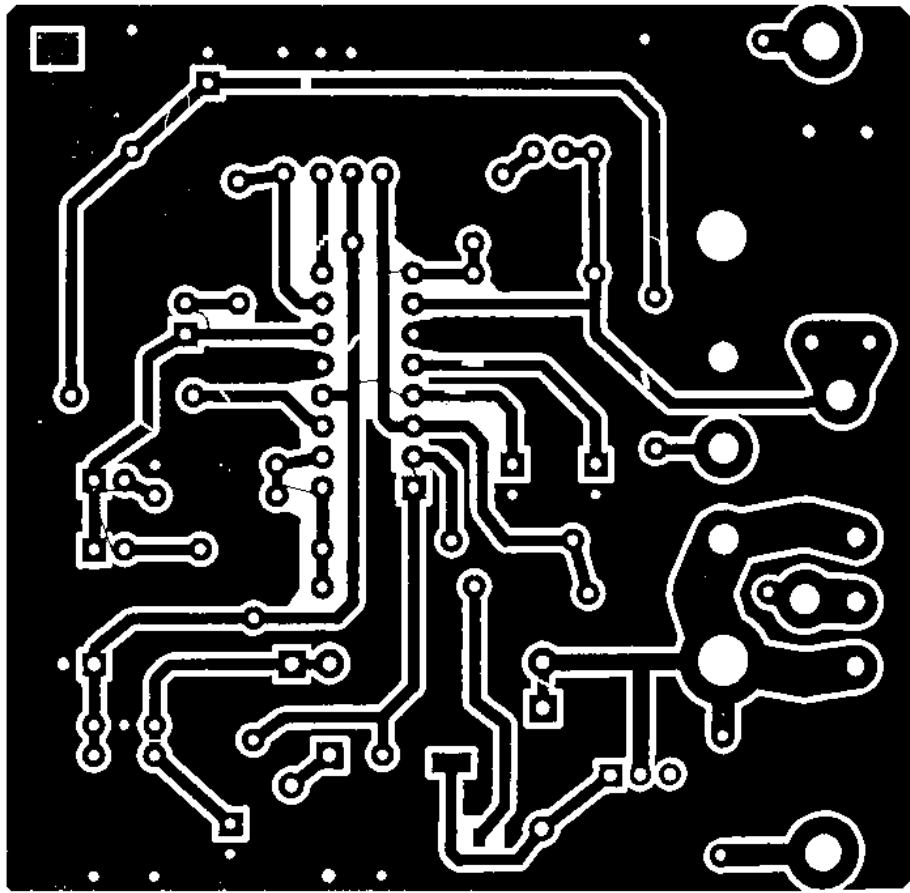
**2.9 pav.** Etaloninės plokštės atvaizdas po filtravimo





**2.10 pav.** Tikrinamos plokštės atvaizdas po filtravimo

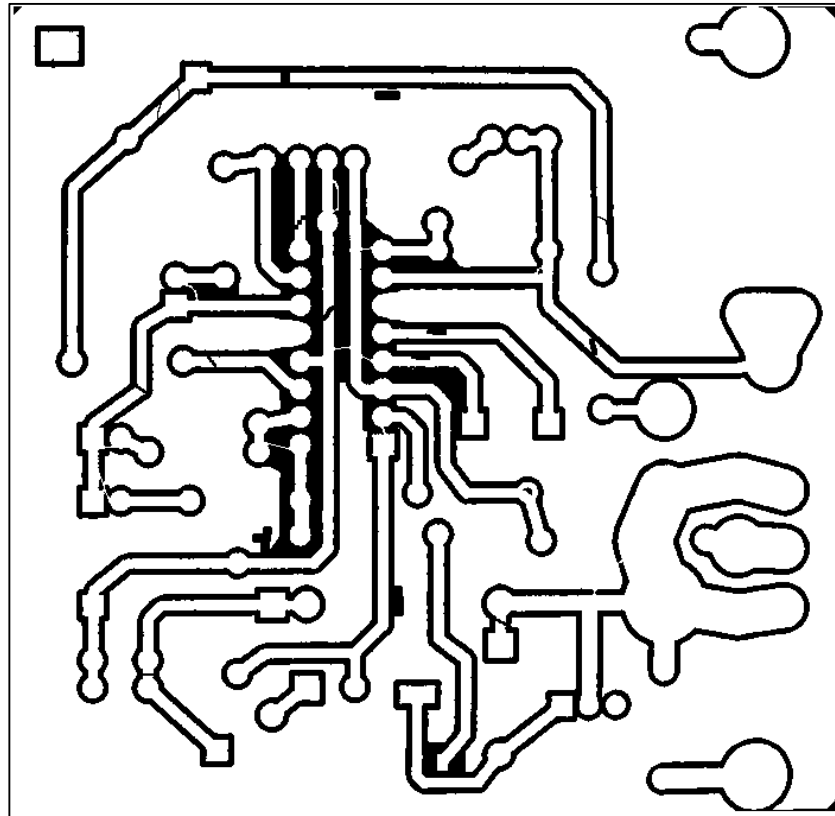
Kadangi takelius reikia filtruoti su aukštesne baltų pikselių toleravimo riba, reikia išskirti takelius iš tikrinamos plokštės atvaizdo. Tai realizuojama invertuojant etaloninį atvaizdą ir suradus visus jungius objektus. Pavieniai objektai, kurie nėra apvalūs (lydvietės) ir kurie nėra didžiausio ploto yra išskiriami. Kitaip tariant – takeliai iškerpami ir iš jų padaroma kaukė, kuri sutapatinama su tikrinamu atvaizdu, filtravimo metu. Išvalius tikrinamo atvaizdo fono triukšmus, kaukė yra pašalinama ir atvaizdas filtruojamas su 7 baltų pikselių toleravimo riba.



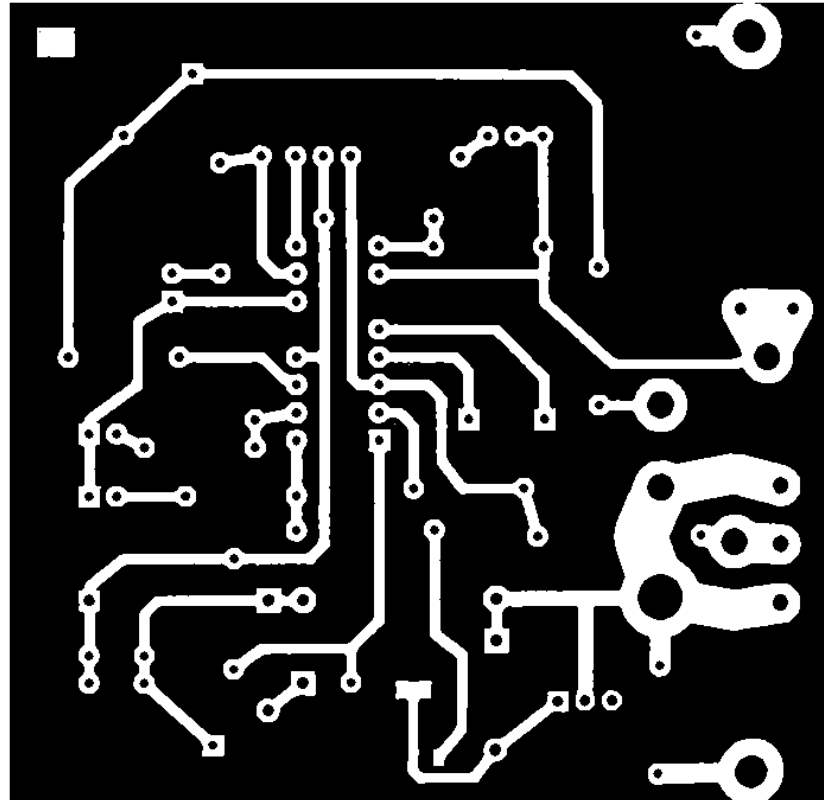
2.11 pav. Tikrinamos plokštės atvaizdas po pilno filtravimo

Atlikus atskirus takelio ir fono triukšmų filtravimus, gauname atvaizdą (2.11 pav.). Prieš ieškant takelių ir trumpiklių defektų, 2.11 paveikslas yra invertuojamas, nes ieškant nurodytų defektų tikrinami juodi pikseliai, baltų pikselių fone. Invertuotas 2.11 paveikslas pateiktas 2.12 paveiksle.

Iš etaloninio atvaizdo iškerpam visus objektus, kurie nėra maksimalaus ploto, t. y. pagrindas, tokiu būdu gaunami tikri etaloniniai takeliai (2.13 pav.).



2.12 pav. Tikrinamos plokštės invertuotas atvaizdas

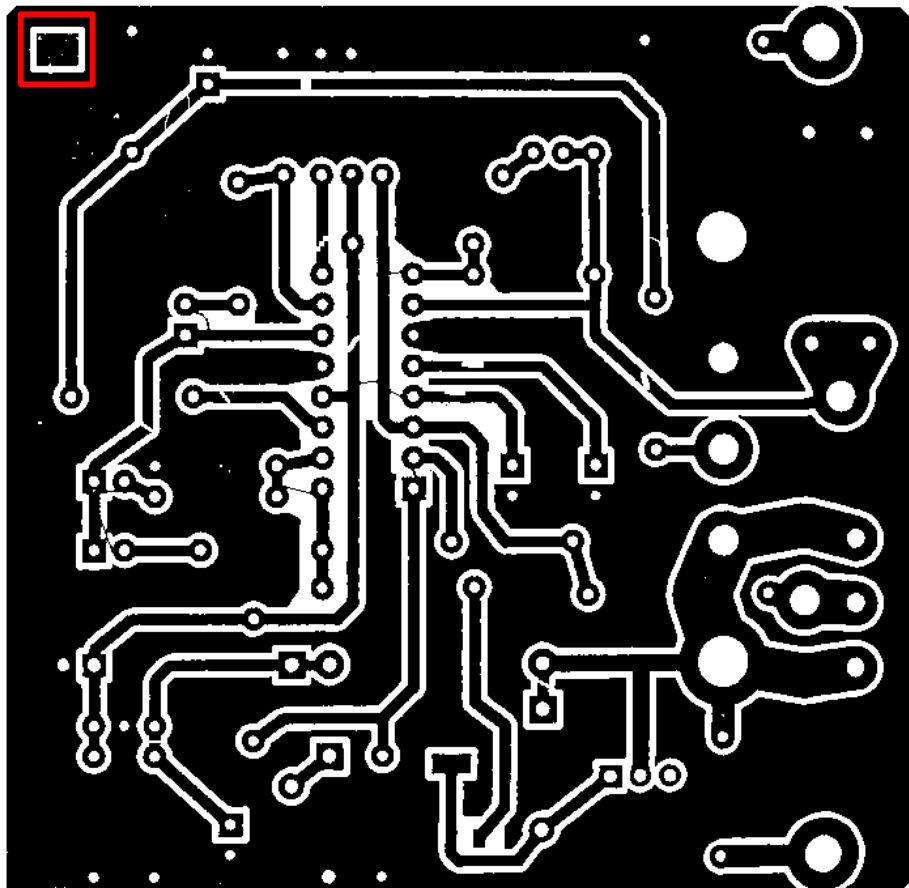


2.13 pav. Etaloninėje plokštėje išskirti objektai

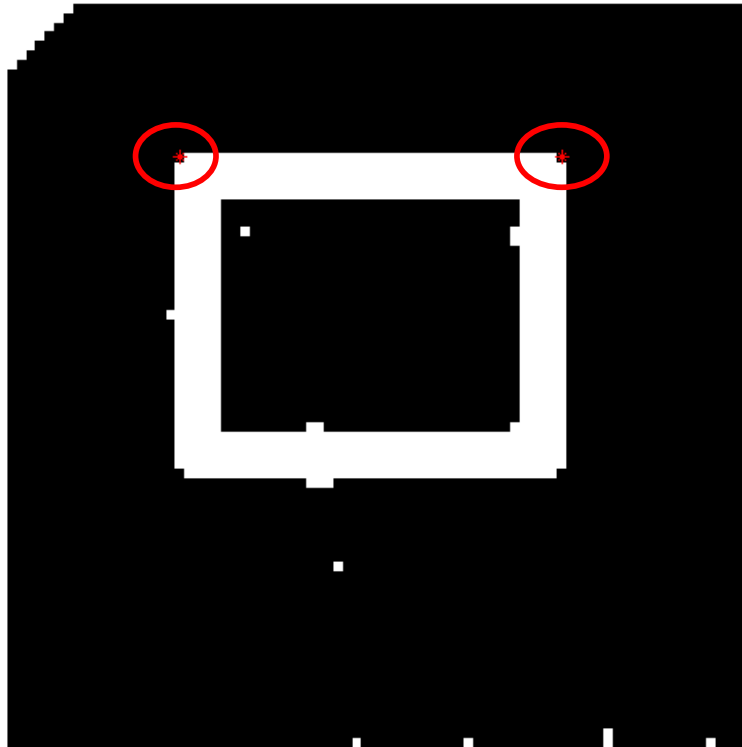
### 2.2.3 Tikrinamo atvaizdo lygiavimas etaloninio atvaizdo atžvilgiu

Dėl PCB atvaizdo fiksavimo įrenginių techninių vibracijų, gautas tikrinamos PCB plokštės atvaizdas gali būti šiek tiek pasisukęs. Jeigu tikrinamas atvaizdas, etaloninio atvaizdo atžvilgiu, bus šiek tiek pasikreipęs, po atlikto palyginimo gausime labai didelius neatitikimus, nes visi tikrinamo atvaizdo elementai yra pasukti į šoną.

Norint to išvengti, prieš atvaizdų lyginimą, reikia patikrinti tikinamo atvaizdo padėtį pagal numatytus taškus. Gautos tikrinamo atvaizdo numatytų taškų koordinatės yra palyginamos su su analogiškai gautomis etaloninio atvaizdo numatytų taškų koordinatėmis.

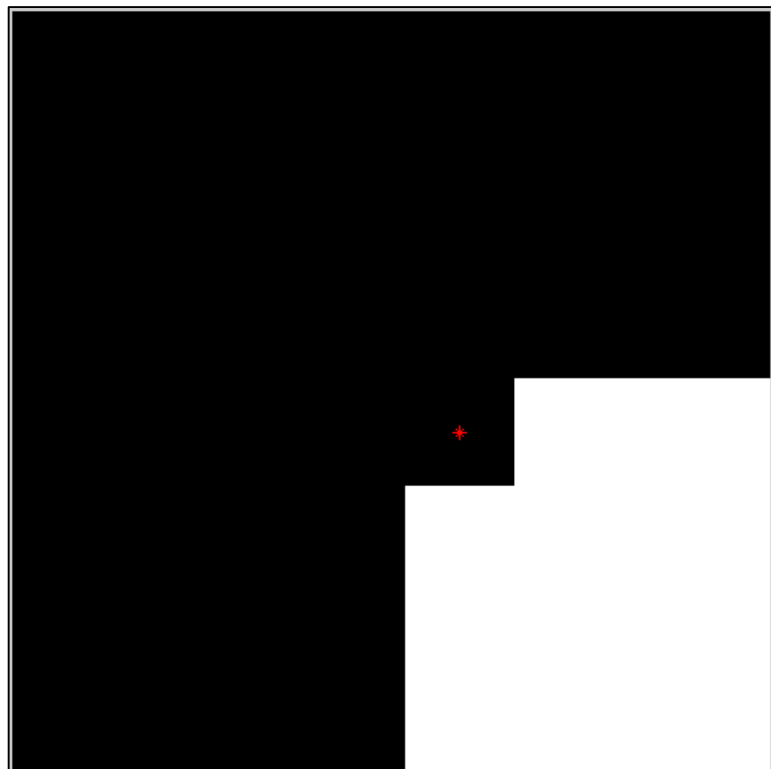


2.14 pav. Tikrinamo atvaizdo numatytų taškų vieta (apibraukta raudonai)



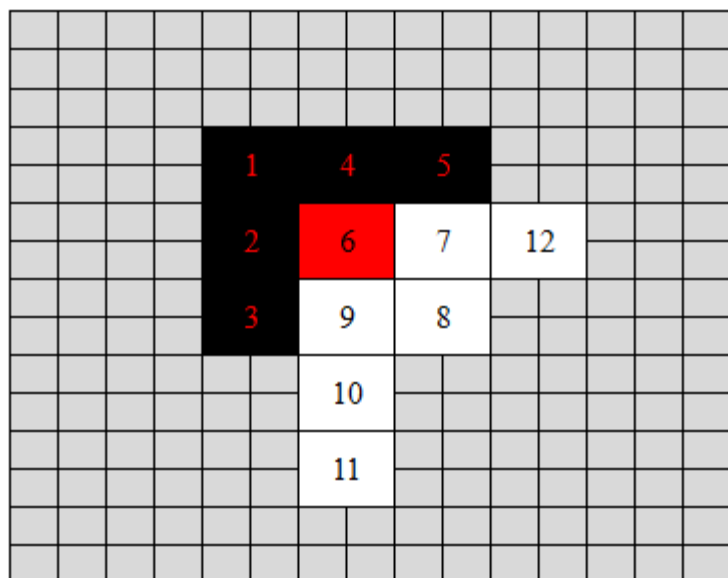
**2.15 pav.** Tikrinamo atvaizdo numatytų taškų vieta (apibraukta raudonai)

Kadangi tikrinamo atvaizdo nukrypimas dažniausiai būna nedidelis, tai atvaizdo numatyti taškai bus panašioje vietoje. Pagal užduotą sąlygą ieškomi du kampai (2.15 pav.). Norint išvengti ilgos paieškos, dviejų kampų paieškos zona yra sumažinama.



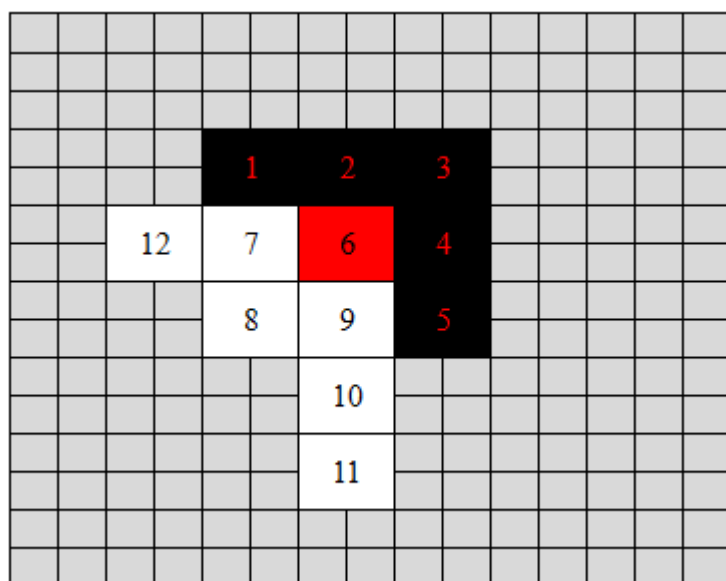
**2.16 pav.** Kairysis tikrinimo taškas

Ieškant kariojo tikrinimo taško tikrinama sąlyga, kurioje nurodyta, kad jeigu aplink juodą pikselį fiksuotomis koordinatėmis yra išsidėstę balti pikseliai ir dalis juodų pikselių. Jei randamos taško koordinatės, kurios tenkina sąlygą (2.17 pav.), jos yra įrašomos į masyvą.



**2.17 pav.** Kairiojo tikrinimo taško radimo kaukė

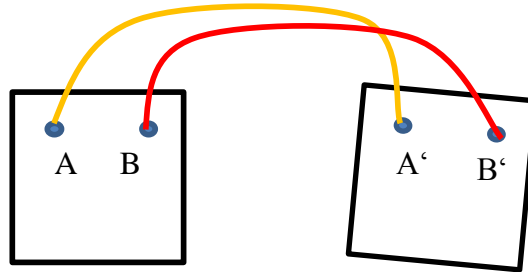
Kairiojo taško radimo sąlyga yra tokia: rastas taškas yra priskiriamas tikrinimui, jeigu (2.17 pav.) prie 6 numeriu pažymėto pikselio atitinkamose vietose (1, 2, 3, 4, 5) esantys pikseliai yra juodi ir (7, 8, 9, 10, 11, 12) vietose esantys pikseliai yra balti.



**2.18 pav.** Dešiniojo tikrinimo taško radimo kaukė

Dešiniojo kampo radimas yra analogiškas kaip ir kariojo kampo radimas, tačiau skiriasi tikrinamų baltų ir juodų pikselių koordinatės (2.18 pav.), kurios turi tenkinti užduotą sąlygą.

Kadangi etaloninis ir tikrinamas atvaizdai yra vienodo dydžio ir tikrinimo kampai yra toje pačioje plokštės vietoje, galima palyginti tikrinamos plokštės atvaizdo pasisukimą su etalonės plokštės atvaizdo pasisukimu.



2.19 pav. Neatitikimų tarp tikrinamų atvaizdų ieškojimas

Tikrinamiems taškams priskiriami pavadinimai. Etaloninio atvaizdo posūkio tikrinimo taškai įvardijami kaip  $A$  ir  $B$ , tikrinamo atvaizdo posūkio tikrinimo taškai atitinkamai įvardijami kaip  $A'$  ir  $B'$  (2.19 pav.). Kai abiejų atvaizdų posūkio taškai yra rasti, užfiksuojamos tų taškų koordinatės. Taško  $A$  koordinatės pažymimos kaip  $x$  ir  $y$ , taško  $B$  koordinatės –  $x'$  ir  $y'$ , taško  $A'$  koordinatės –  $x^*$  ir  $y^*$ , taško  $B'$  koordinatės –  $x'^*$  ir  $y'^*$ .

Naudojantis afiniąją posūkio transformacija tikrinamo atvaizdo taškų koordinatės yra pakeičiamos į tokias, su kuriomis tikrinamas atvaizdas susivienodina su etaloniniu atvaizdu.

Plokštumos  $\Pi$  atvaizdavimas į save pačią vadinamas transformacija:  $f : \Pi \rightarrow \Pi$

Tarkime, kad taškas  $A$  atvaizduojamas į tašką  $B = f(A)$ . Tada taškas  $B$  vadinamas taško  $A$  vaizdu, o taškas  $A$  vadinamas taško  $B$  pirmvaizdžiu. [10]

Abipus vienareikšmė tiesinė plokštumo transformacija vadinama afiniąja, jei kiekvieno jos taško  $A$  vaizdo  $B$  koordinatės  $(x^*, y^*)$  išreiškiamos per pirmvaizdžio koordinates  $(x, y)$  tokiu būdu:

$$\begin{cases} x^* = a_1x + b_1y + c_1 \\ y^* = a_2x + b_2y + c_2 \end{cases} \text{ ir } \begin{vmatrix} a_1 & b_1 \\ a_2 & b_2 \end{vmatrix} \neq 0 \quad 2.3$$

$$A = \begin{bmatrix} x \\ y \\ 1 \end{bmatrix}, \quad B = \begin{bmatrix} x^* \\ y^* \\ 1 \end{bmatrix}, \quad T = \begin{bmatrix} a_1 & b_1 & c_1 \\ a_2 & b_2 & c_2 \\ 0 & 0 & 1 \end{bmatrix} \quad 2.4$$

Tada lygčių sistemą (2.3) galima užrašyti matriciniu pavidalu:  $B = TA$ . Matrica  $T$  vadinama afinosios transformacijos  $f$  transformacijų matrica. Koeficientai  $a_1$ ,  $a_2$ ,  $b_1$ ,  $b_2$ ,  $c_1$ ,  $c_2$  gali įgyti ir nulines reikšmes. Pavyzdžiui, jei  $c_1=c_2=0$ , tada matricos įgyja paprastesnį pavidalą:

$$A = \begin{bmatrix} x \\ y \\ 1 \end{bmatrix}, \quad B = \begin{bmatrix} x^* \\ y^* \\ 1 \end{bmatrix}, \quad T = \begin{bmatrix} a_1 & b_1 \\ a_2 & b_2 \end{bmatrix} \quad 2.5$$

Plokštumos  $\Pi$  pasisukimas kampu  $\alpha$  apie koordinacių pradžią yra tiesinė transformacija. Ją atitinkanti transformacijų matrica  $R$  yra tokio pavidalo:

$$R = \begin{bmatrix} \cos \alpha & -\sin \alpha \\ \sin \alpha & \cos \alpha \end{bmatrix} \quad 2.6$$

Iš lygčių sistemos  $B = TA$  ieškosime matricos  $T$  ir taip rasime  $\alpha$  reikšmes.

### 2.2.4 Takelio defektų radimas

Naudojant  $3 \times 3$  tikrinimo matricą, patikrinamas kiekvienas atvaizdo pikselis. Taigi ta pati tikrinimo matrica naudojama ir defektų išskojimui takeliuose. Ieškant defektų takeliuose, po atvaizdų apdorojimo ir suvienodinimo, kiekvienam atskiram, sujungtam ne kampu elementui, esančiam atvaizde, yra priskiriama skaitinė reikšmė.

Kadangi tikrinamame atvaizde, takeliuose esantys defektai yra realizuoti nelygiagrečiai  $x$  ir  $y$  ašims (2.20 pav.), kiekvienas toks defektas susidaro iš  $n$  atskirų elementų, kuriuos reikia sujungti į vieną visumą.

1	0	0	0	0	0	0	0	1
1	0	0	0	0	0	1	1	1
1	0	0	0	0	0	1	0	1
1	0	0	0	0	1	0	0	1
1	0	0	1	1	0	0	0	1
1	0	0	1	0	0	0	0	1
1	1	1	0	0	0	0	0	1
1	0	0	0	0	0	0	0	1
1	0	0	0	0	0	0	0	1
1	0	0	0	0	0	0	0	1

2.20 pav. Takelio defektas atvaizduotas binariniu masyvu

Kaip parodytą 2.20 paveiksle, defektas yra „skersas“ takelio atžvilgiu. *Matlab* programavimo aplinkoje, pikseliai bus identifikuoti, kaip vienas elementas, jeigu jų reikšmė (1 arba 0) yra vienoda ir jie vienas su kitu jungsis tiesiogiai, ne kampu, naudojantis funkcija `bwlabel`.

1	0	0	0	0	0	0	0	1
1	0	0	0	0	0	1	1	1
1	0	0	0	0	0	1	0	1
1	0	0	0	0	1	0	0	1
1	0	0	1	1	0	0	0	1
1	0	1	1	0	0	0	0	1
1	1	1	0	0	0	0	0	1
1	0	0	0	0	0	0	0	1
1	0	0	0	0	0	0	0	1
1	0	0	0	0	0	0	0	1

2.21 pav. Takelio defekto pavienių pikselių grupavimas



Takelio defektas, pavaizduotas 2.21 paveiksle, bus sudarytas iš 4 atskirų pikselių grupių. Norint identifikuoti tokį takelio defektą, visas 4 pikselių grupes reikia sujungti.

1	0	0	0	0	0	0	0	1
1	0	0	0	0	0	5	5	1
1	0	0	0	0	0	5	0	1
1	0	0	0	0	4	0	0	1
1	0	0	3	3	0	0	0	1
1	0	0	3	0	0	0	0	1
1	2	2	0	0	0	0	0	1
1	0	0	0	0	0	0	0	1
1	0	0	0	0	0	0	0	1
1	0	0	0	0	0	0	0	1

2.22 pav. Sugrūpuoti takelio defekto pavieniai pikseliai

Jei 3x3 tikrinimo matrica nustato, kad pikselių grupė nr.2 jungiasi kampu su kita pikselių grupe, šiuo atveju su pikseliais pažymėtais 3 numeriu, visi trejetai yra perverčiami į dvejetus (2.23 pav.).

1	0	0	0	0	0	0	0	1
1	0	0	0	0	0	5	5	1
1	0	0	0	0	0	5	0	1
1	0	0	0	0	4	0	0	1
1	0	0	2	2	0	0	0	1
1	0	0	2	0	0	0	0	1
1	2	2	0	0	0	0	0	1
1	0	0	0	0	0	0	0	1
1	0	0	0	0	0	0	0	1
1	0	0	0	0	0	0	0	1

2.23 pav. Sugrūpuotos dvi pikselių grupės

Sugrūpavus dvejetais ir trejetais pažymėtus pikselius iš dviejų pikselių grupių gavome vieną, kurią pažymėjome dvejetais, tikrinimas tęsiamas toliau.

1	0	0	0	0	0	0	0	1
1	0	0	0	0	0	2	2	1
1	0	0	0	0	0	2	0	1
1	0	0	0	0	2	0	0	1
1	0	0	2	2	0	0	0	1
1	0	0	2	0	0	0	0	1
1	2	2	0	0	0	0	0	1
1	0	0	0	0	0	0	0	1
1	0	0	0	0	0	0	0	1
1	0	0	0	0	0	0	0	1

2.24 pav. Sugrūpuotos visos pikselių grupės susijungusios kampu

Atlikus atskirų pikselių grupių sujungimą išryškėja takelio įtrūkimas (2.24 pav.) kuris bus detektuojamas kaip defektas. Takelio įtrūkimo defektai surandami tikrinant kaimyninių pikselių reikšmę įtrūkimo vietoje.

1	1	1	1	1	1	1	1	1	1	1	1	1	1	1	1	1	1	1	1
3	3	3	3	3	3	3	1	1	1	2	2	2	2	2	2	2	2	2	2
3	3	3	3	3	3	3	3	1	1	2	2	2	2	2	2	2	2	2	2
3	3	3	3	3	3	3	3	1	1	2	2	2	2	2	2	2	2	2	2
3	3	3	3	3	3	3	3	1	1	2	2	2	2	2	2	2	2	2	2
3	3	3	3	3	3	3	3	1	1	2	2	2	2	2	2	2	2	2	2
3	3	3	3	3	3	3	1	1	1	2	2	2	2	2	2	2	2	2	2
1	1	1	1	1	1	1	1	1	1	1	1	1	1	1	1	1	1	1	1

**2.25 pav.** Pertraukto takelio grupavimas

Tikrinimo metu, suradus įtrūkimą takelyje, tikrinamas kiekvienas pikselis įtrūkime. Jeigu surandamas skirtingos reikšmės pikselis, visam skirtingų pikselių masyvui suteikiama numeracija (2.25 pav.), mėlynai pažymėtiems pikseliams bus priskirtas žymėjimas trejetu, žalsvai pažymėtiems pikseliams bus priskirtas žymėjimas dvejetu. Po patikrinimo identifikuojamas takelio įtrūkimas. Takelio įtrūkimas detektuojamas tada, jei po patikrinimo rezultatai tenkina sąlygą, kuri aprašyta žemiau.

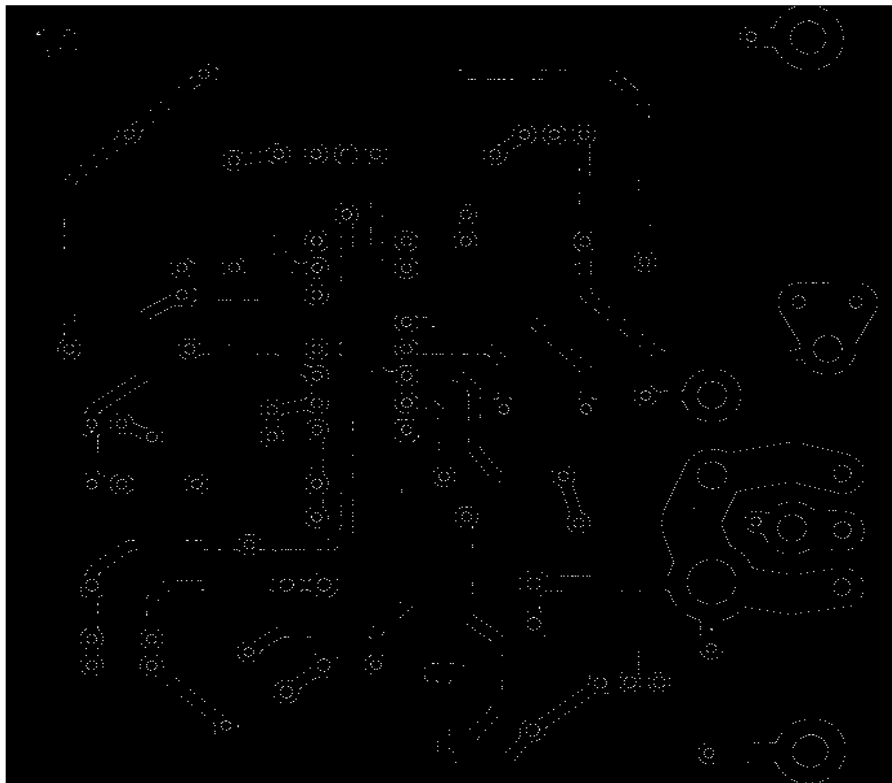
Mėlyną pikselių masyvą (2.25 pav), kuriam yra priskirtas trejetas, prilyginkime raidei „a“, žalsvą pikselių masyvą, kuriam priskirtas dvejetas, prilyginkime raidei „b“.

Jeigu  $a = 3$ , o  $b = 2$ , tai reiškia, kad  $a \neq 0$  ir  $b \neq 0$ , kas nusako, kad iš vientiso takelio pasidarė du atskiri takeliai.



**2.26 pav.** Detektuoti takelių įtrūkimai

Naudojant pikselių sugrupavimą realizuoti smulkūs takelio įtrūkimo defektai. Neišvengiamai takeliuose lieka „šiukšlių“, kurios priskiriamos prie toleruotinų defektų (2.27 pav.)



**2.27 pav.** Toleruoti ni takelių įtrūkimų defektai

### 2.2.5 Takelio dalinio defekto radimas

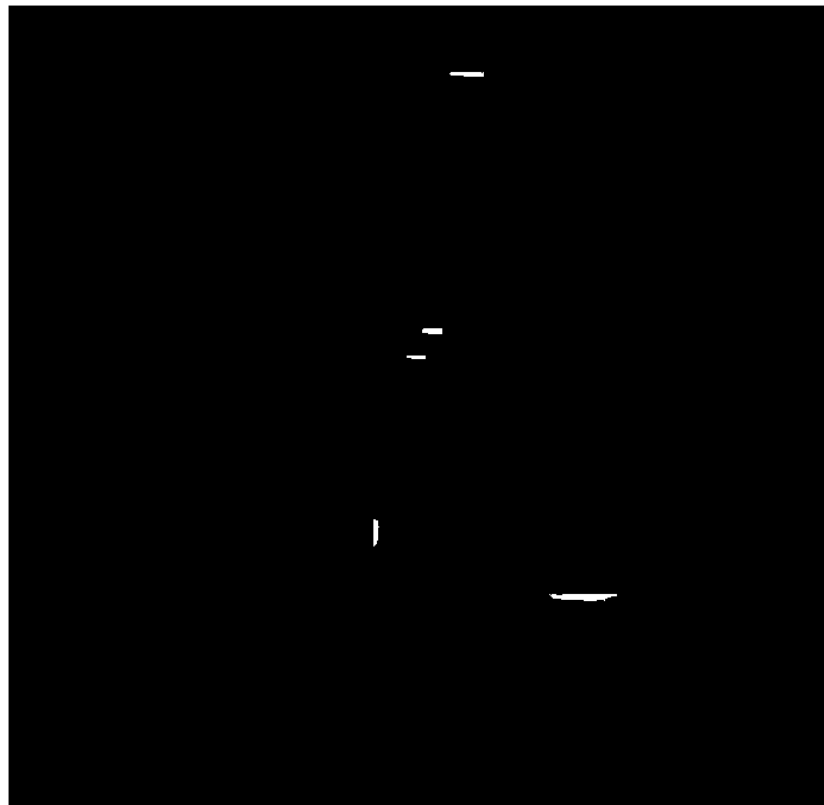
Takelio daliniam defektui rasti naudojama analogiška metodika, kaip ir ieškant takelio įtrūkimo defektų.

1	1	1	1	1	1	1	1	1	1	1	1	1	1	1	1	1	1	1	1
3	3	3	3	3	3	3	1	1	1	1	3	3	3	3	3	3	3	3	3
3	3	3	3	3	3	3	3	1	1	1	3	3	3	3	3	3	3	3	3
3	3	3	3	3	3	3	3	1	1	1	3	3	3	3	3	3	3	3	3
3	3	3	3	3	3	3	3	3	3	3	3	3	3	3	3	3	3	3	3
3	3	3	3	3	3	3	3	3	3	3	3	3	3	3	3	3	3	3	3
3	3	3	3	3	3	3	3	3	3	3	3	3	3	3	3	3	3	3	3
1	1	1	1	1	1	1	1	1	1	1	1	1	1	1	1	1	1	1	1

2.28 pav. Dalinio takelio defekto skaičių masyvas

Tikrinimo metu, suradus įtrūkimą takelyje, tikrinamas kiekvienas pikselis įtrūkime. Jeigu surandamas skirtingos reikšmės pikselis, visam skirtingų pikselių masyvui suteikiama numeracija (2.28 pav.), mėlynai pažymėtiems pikseliams bus priskirtas žymėjimas trejetu. Kadangi, patikrinus visus baltus pikselius, kurie yra įtrūkimo srityje, buvo rastas tik vienas skirtingos reikšmės pikselių masyvas, reiškia, kad defektas yra dalinis.

Jeigu  $a = 3$ , o  $b = 0$ , tai reiškia, kad  $a \neq 0$  ir  $b = 0$ , kas nusako, kad vientisame takelyje yra iškandimas.



2.29 pav. Daliniai takelio defektai

Rasti visi 5 daliniai takelių defektai atvaizduoti 2.29 paveiksle. Dėl defektų kūrimo, redaguojant etaloninį atvaizdą, susidarė papildomų „šiukšlių“, kurios priskiriamos prie toleruotinių defektų (2.30 pav.).



2.30 pav. Toleruoti daliniai takelio defektai

### 2.2.6 Trumpiklio defekto radimas

Trumpiklis sujungia du skirtingus takelius, todėl reikia tikrinti ar yra ryšys tarp takelių.

1	1	1	1	1	1	1	1	1	1	1	1	1	1	1	1	1	1	1	1
3	3	3	3	3	3	3	1	1	1	1	1	4	4	4	4	4	4	4	4
3	3	3	3	3	3	3	1	1	1	1	1	4	4	4	4	4	4	4	4
3	3	3	3	3	3	3	1	1	1	0	0	4	4	4	4	4	4	4	4
3	3	3	3	3	3	3	1	1	0	1	1	4	4	4	4	4	4	4	4
3	3	3	3	3	3	3	0	1	1	1	1	4	4	4	4	4	4	4	4
1	1	1	1	1	1	1	1	1	1	1	1	1	1	1	1	1	1	1	1

2.31 pav. Trumpiklio defekto skaičių masyvas

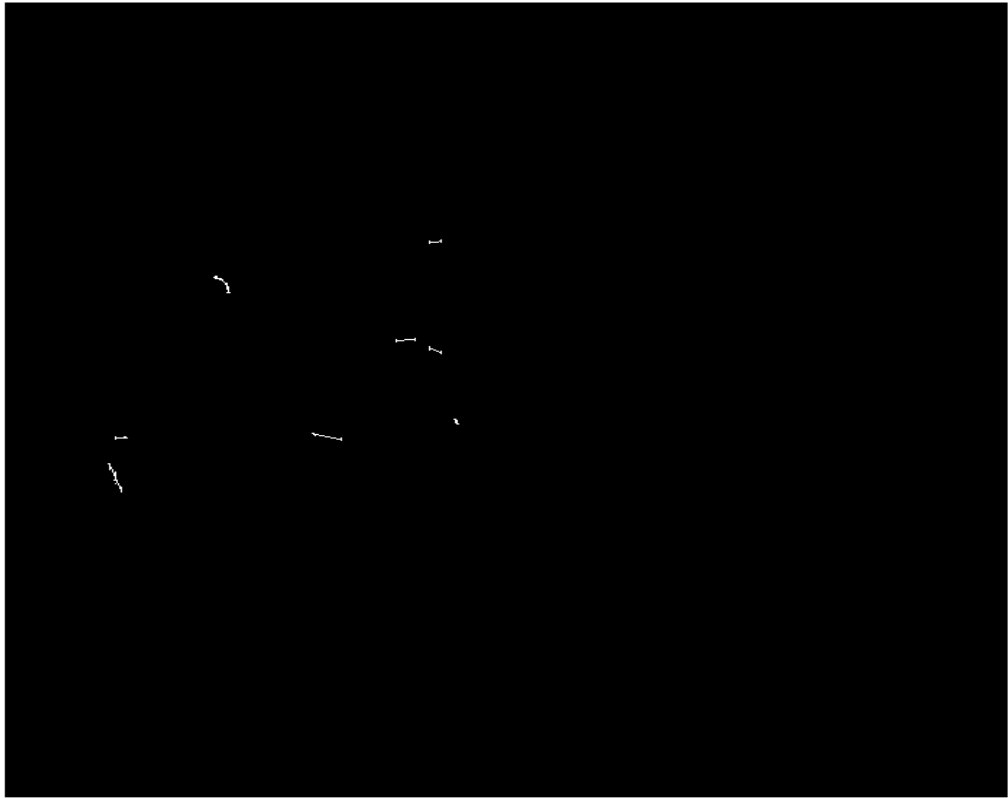
Trumpiklio defektai yra ieškomi baltoje srityje, tikrinant ar yra juodos spalvos pikselių ten kur jų nėra etaloniniame atvaizde. Baltoje srityje aptikus juodą pikselį, tikrinama jo kaiminystėje esančio pikselio reikšmė, o gretimam takeliui priskiriama skaitinė reikšmė (2.31 pav.). Jeigu atliekant tikrinimą, juodos spalvos pikseliai pasiekia kito takelio kraštą, tai tam takeliui taipogi priskiriama skaitinė reikšmė.

Jei  $a = 3$ , o  $b = 4$ , vadinasi, kad  $a \neq b$ , kas nusako, kad sujungtų takelių priskirta skaitinė reikšmė yra nevienoda. Jeigu  $a \neq b$  vadinasi, kad takeliai yra užtrumpinti.

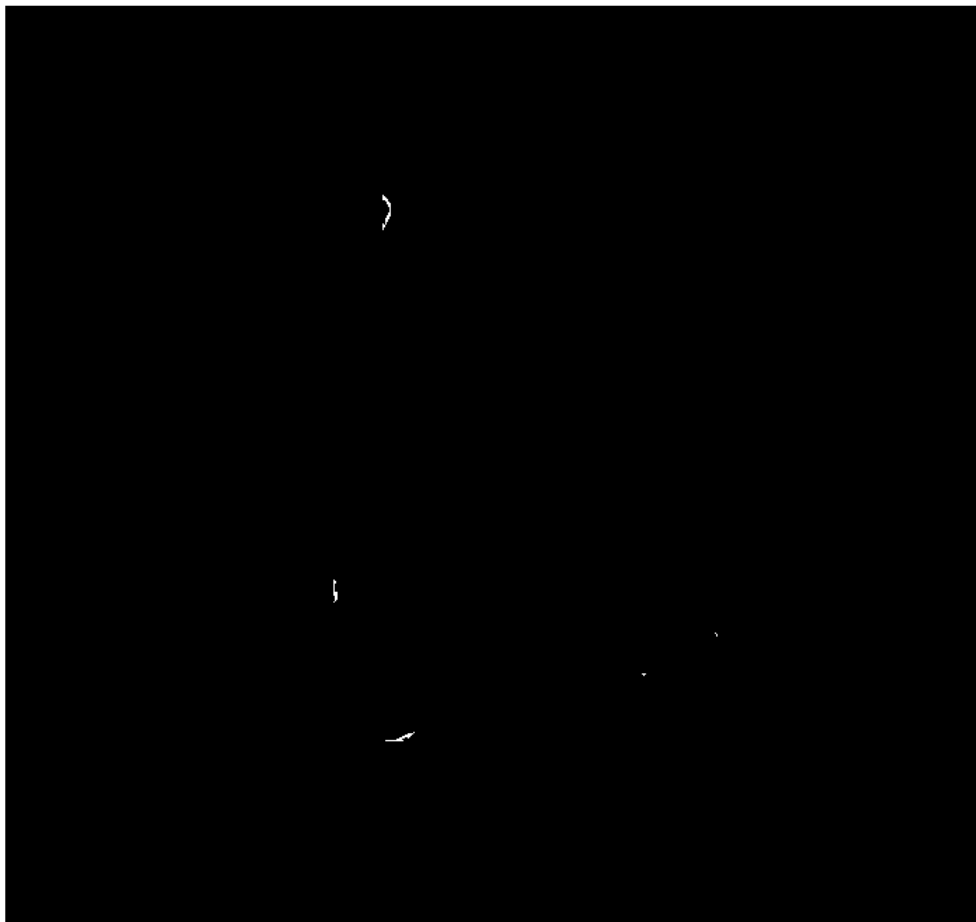
1	1	1	1	1	1	1	1	1	1	1	1	1	1	1	1	1	1	1	1
1	1	1	1	1	1	1	1	1	1	1	1	1	1	1	1	1	1	1	1
1	1	1	1	1	0	0	0	0	0	0	0	1	1	1	1	1	1	1	1
1	1	1	1	1	0	1	1	1	1	1	1	0	1	1	1	1	1	1	1
1	1	1	1	1	0	1	1	1	1	1	1	0	1	1	1	1	1	1	1
3	3	3	3	3	3	3	3	3	3	3	3	3	3	3	3	3	3	3	3
3	3	3	3	3	3	3	3	3	3	3	3	3	3	3	3	3	3	3	3
1	1	1	1	1	1	1	1	1	1	1	1	1	1	1	1	1	1	1	1

**2.32 pav.** Toleruotino trumpiklio defekto skaičių masyvas

Būna tokių atvejų, kad takelis užsitrumpina pats save, o tai nėra defektas. Jei tikrinant baltą sritį, bus rastas toks defektas, kuris atvaizduotas 2.32 paveiksle, tikrinimas vyks tol, kol bus patikrintos visų kaiminystėje esančių pikselių reikšmės. Jei  $a = 3$ , o  $b = 0$  (nerastas), vadinasi, kad  $a = 3$ , kas nusako, kad baltoje srityje rasti juodi pikseliai nėra trumpiklio defektas.



**2.33 pav.**Rasti trumpiklio defektai



**2.34 pav.**Toleruoti trumpiklio defektai

### 2.2.7 Lydviečių defekto radimas

Norint rasti lydviečių defektus, reikia išsiskirti pačias lydvietes. Lydvietės išskiriamos etaloniam atvaizde. Naudodamasis *Matlab* pakete siūloma funkcija „*regionprops*“, randami visi apskriti objektai. Kiekvienam apskritam objektui yra suskaičiuojamas perimetras ir plotas.

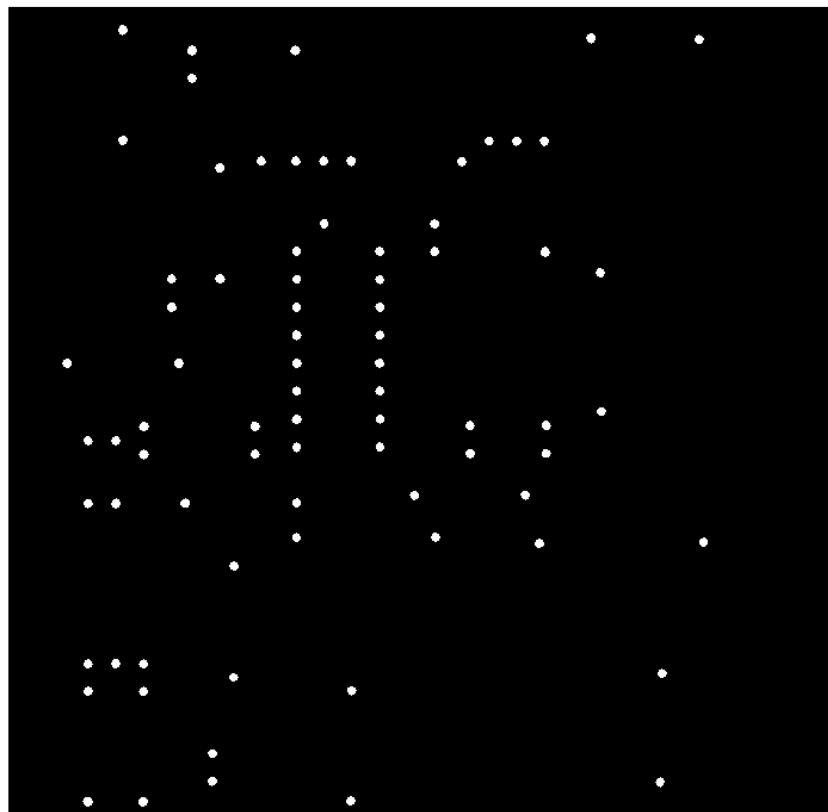
Apskaičiuojama objekto metrika:  $met = \frac{P^2}{4 \cdot \pi \cdot S}$  2.7

P – objekto perimetras

S – objekto plotas

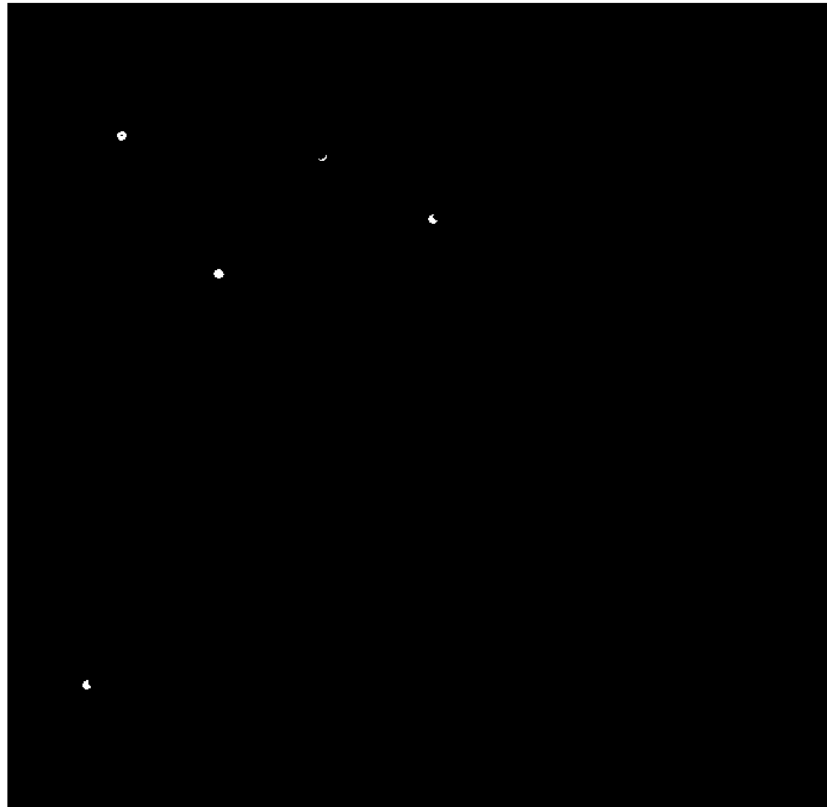
Jeigu metrika < 2, vadinasi objektas yra apskritimas.

Siekiant išvengti visokių didelių ertmių skirtų PCB tvirtinimui prie kokio nors pagrindo, naudojama apskritimų išskyrimo riba nuo 6,75 iki 8,25. Išskirtos lydvietės pavaizduotos 2.35 paveiksle. Defektai randami palyginus etaloninio atvaizdo lydviečių diametrus su tikrinamo atvaizdo lydviečių diametrais.

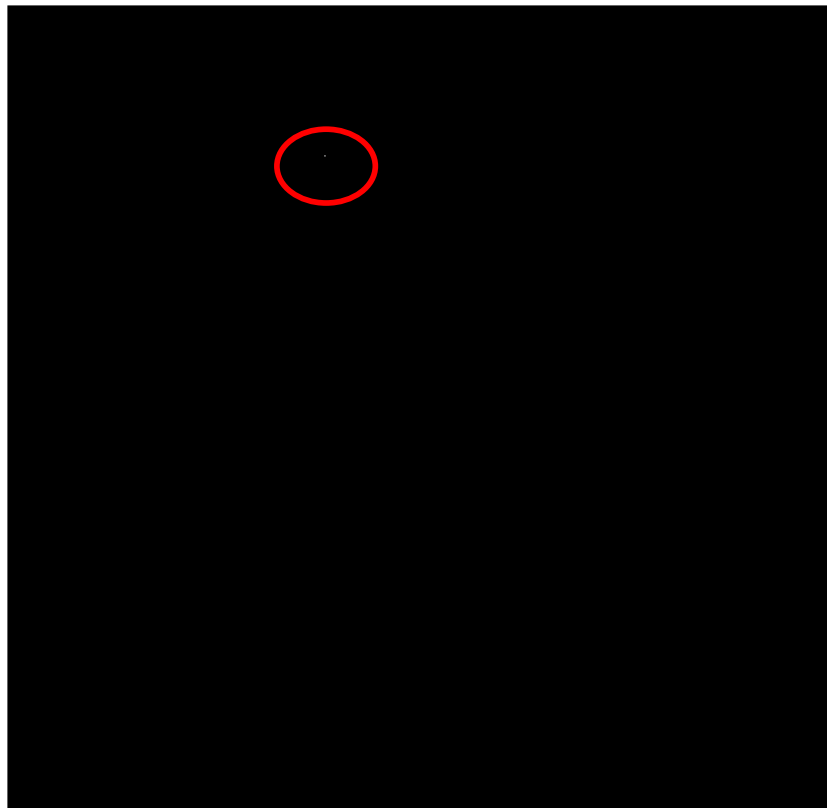


2.35 pav. Lydvietės išskirtos iš etaloninio atvaizdo





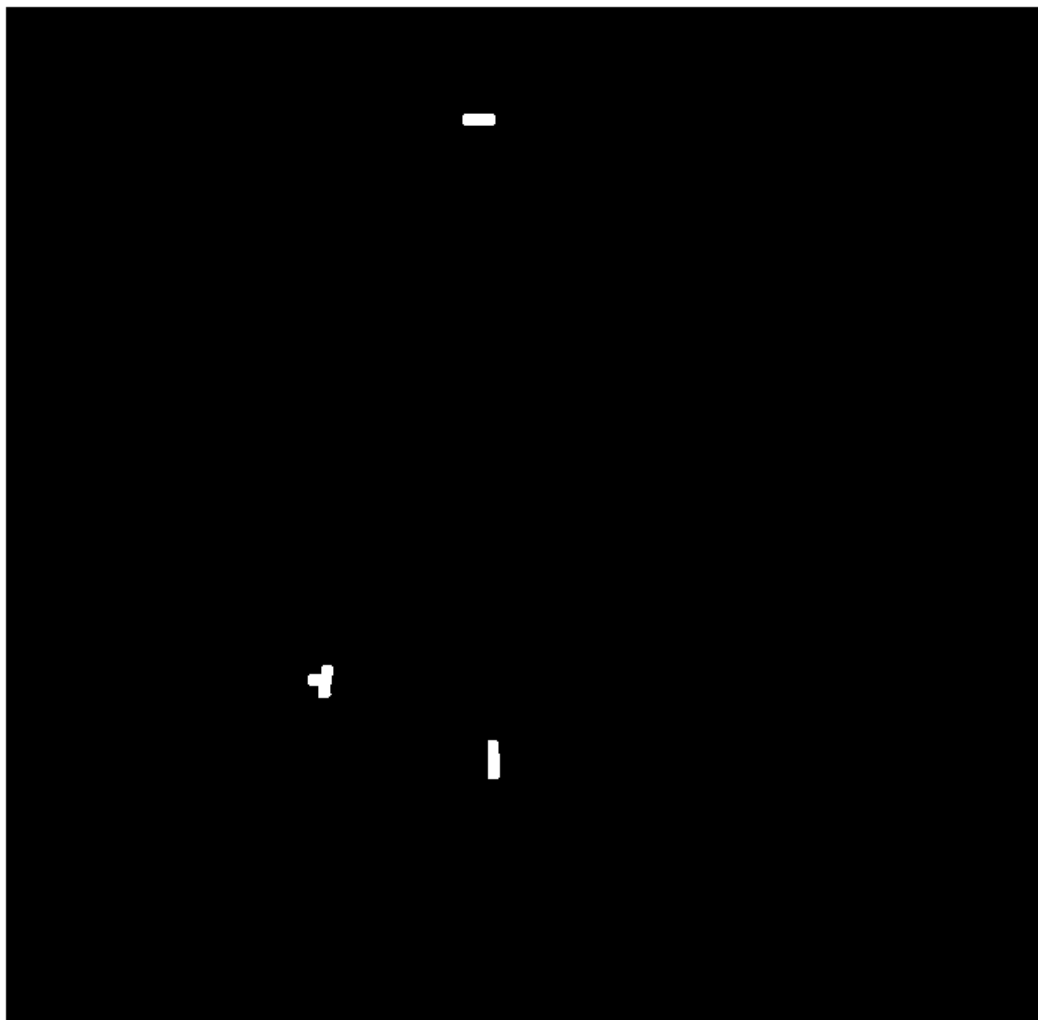
**2.36 pav.**Netoleruoti lydviečių defektai



**2.37 pav.**Toleruotinos lydviečių klaidos

### 2.2.8 Fono klaidų radimas

Fono klaidos randamos palyginus etaloninį ir tikrinamą atvaizdus. Iš etaloninio atvaizdo atėmus tikrinamą atvaizdą pasilieka tik neatitikimai (2.38 pav.).



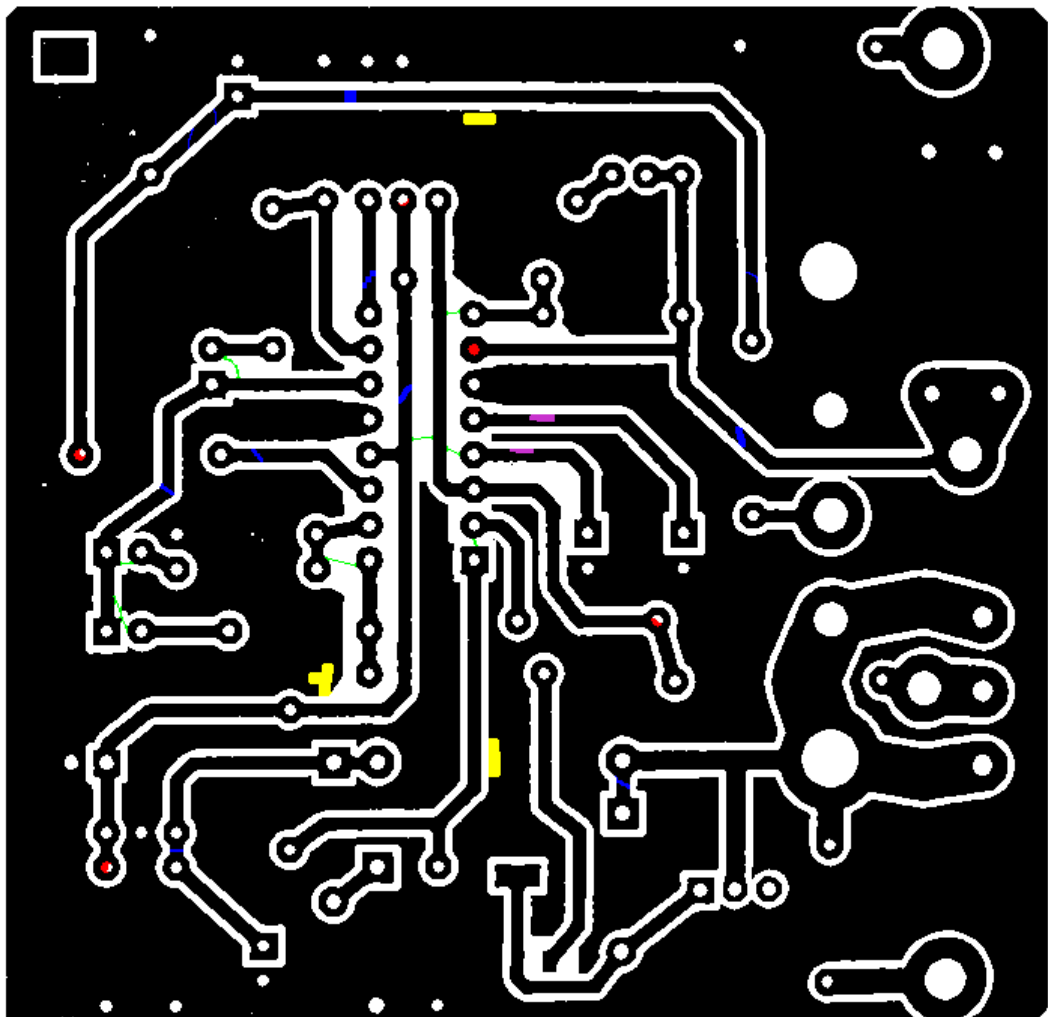
2.38 pav. Fono klaidos

### 2.2.9 Spalvinis klaidų žymėjimas ir jų registravimas

Radus kiekvieną defektą, jis pažymimas spalvine koduote ir yra atvaizduojamas tirkinamoje plokštėje (2.39 pav.).

2.1 lentelė. Defektų spalvinis žymėjimas

Defekto rūšis	Spalva
Trumpiklis	Žalia
Takelio trūkimas	Mėlyna
Lydvietės defektas	Raudona
Fono klaida	Geltona
Sienos klaida	Rausva



2.39 pav. Galutinis tikrinamos plokštės atvaizdas su sužymėtais defektais

Patikrinus visus defektus, juos atvaizdavo galutinėje formoje, visi defektai yra suskaičiuojami ir įrašomi į *excel* failą pavadinimu *Ats*.

2.1 lentelė. Defektų kiekio registravimas

Defekto pavadinimas	Kiekis
Takelių netoleruotinių klaidų skaičius	11
Takelių toleruotinių klaidų skaičius	2319
Trumpiklio netoleruotinių klaidų skaičius	8
Trumpiklio toleruotinių klaidų skaičius	6
Sienos netoleruotinių klaidų skaičius	2
Sienos toleruotinių klaidų skaičius	23
Lydviečių netoleruotinių klaidų skaičius	5
Lydviečių toleruotinių klaidų skaičius	1
Fono klaidų skaičius	3

### 3.TIRIAMOJI DALIS

Tiriamojame dalyje ištirti atvaizdų filtravimo nuo triukšmų filtrai, kurie yra siūlomi *Matlab* programiniame pakete. PCB defektų inspektavimo metodo kūrimo metu buvo susidurta su problema, kad bandant išfiltruoti triukšmus su *Matlab* programiniame pakete siūlomais filtrais, kartu su triukšmais buvo išfiltruoti ir dalis plokštėje esančių defektų, kurie buvo ganėtinai maži (~1 pikselio pločio).

Tyrimo metu, buvo ištirti tokie *Matlab* programiniame pakete siūlomi filtrai :

1. Netiesiniai filtrai: medianinis filtras, standartinio nuokrypio filtras
2. Morfologinės funkcijos : *BWareaopen*, *clean*, *erode*

Po kiekvieno filtro ir morfologinės valymo funkcijos išbandymo rezultatai bus apsprendžiami iš suskaičiuotų defektų galutiniame rezultate.

Palyginimui, etaloninės defektų detektavimo skaitinės reikšmės imamos iš metodinės dalies galutinio rezultato defektų kiekio registro (3.1 lentelė).

3.1 lentelė. Etaloninės defektų detektavimo skaitinės reikšmės

Defekto pavadinimas	Kiekis
Takelių netoleruotinių klaidų skaičius	11
Takelių toleruotinių klaidų skaičius	2319
Trumpiklio netoleruotinių klaidų skaičius	8
Trumpiklio toleruotinių klaidų skaičius	6
Sienos netoleruotinių klaidų skaičius	2
Sienos toleruotinių klaidų skaičius	23
Lydviečių netoleruotinių klaidų skaičius	5
Lydviečių toleruotinių klaidų skaičius	1
Fono klaidų skaičius	3

### 3.1 Medianinis filtras

Šis filtras naudoja lokalius metodus, kaip ir tiesiniai filtrai, tačiau jis nenaudoja sąsūkos (teisingiaum sąsūkos ir neįmanoma panaudoti mediano filtro išraiškai). Filtras randa filtruoto pikselio intensyvumą, imdamas aplink pikselį esančių kaimynų intensyvumo medianą. Medianos operatorius dažniausiai būna implementuojamas ieškant medianos 3 x 3 dydžio pikselių plote, tačiau medianos galima ieškoti ir didesnio ploto zonose. Taip pat galima naudoti ne kvadrato formos zonas medianai rasti, pvz., galima imti medianą, esančią toje pačioje tiesėje vertikaliai arba horizontaliai kaip ir pikselis, kuriam priskiriame filtruotą reikšmę.[8]

Medianos filtras gerai tinka „salt and pepper“ tipo triukšmo pašalinti. „Salt and pepper“ yra vadinamas triukšmas, kai vaizde atsiranda izoliuoti balti bei juodi pikseliai. Vienas iš medianos filtro pranašumų yra tai, kad filtruojant nedingsta kontūrai, o triukšmas yra sumažinamas.[7]

Pagrindiniai medianos filtro trūkumai: nors medianos filtras išsaugo kontūrus, tačiau juo yra pašalinami vaizdo minimumai ir maksimumai. Pasirinkus per didelio ploto filtrą, gali būti pašalinami kai kurie vaizde esantys objektai. [9]

Algoritmas, realizuojantis medianos filtrą, gali būti aprašytas tokiais žingsniais ( $A$  yra filtro kaukės dydis bei  $K$  filtravimų skaičius):

1. Išskiria taško kaukę, kurios dydis yra  $(A * A)$  ir kurios centras yra analizuojamame taške  $p_i$ ;
2. Kaukės elementai išrūšiuojami didėjimo (gali būti ir mažėjimo) tvarka;
3. Išrenkamas centrinis išrūšiuotos kaukės elementas, ir jis įrašomas į taško  $p_i$  vietą;
4. Grįžtame į punktą 1. ir taikome jį taškui  $p_{i+1}$

*Neapibrėžtos algoritmo veikimo situacijos:*

1. Filtro kaukės dalis lieka už paveikslėlio ribų
2. Filtro kaukės dydis yra lyginis skaičius, to pasekoje atliekant ciklo dalį neįmanoma išrinkti centrinio kaukės elemento.

Neapibrėžtų situacijų sprendimo būdai:

1. Imant paveikslėlio kontūrus, filtro kaukės dalis, likusi už paveikslėlio kontūrų, užpildoma nuliais;

2. Kaukės dydžiui esant lyginiam, išrenkant centrinį elementą iš išrūšiuotos kaukės elementų, imami du centriniai išrūšiuotos kaukės taškai, ir imamas jų aritmetinis vidurkis  $(a_j+a_{j+1})/2$ .

Algoritmo veikimo greitis, matuojamas operacijų skaičiumi:

$$T = K * BPP * (A^2) \log(A^2) * N * M$$

3.1

T – vidutinis algoritmo operacijų skaičius,

K – filtro pritaikymo paveikslėliui skaičius,

BPP – (BitsPerPixel) paveikslėlio bitų kiekis, skirtas vienam taškeliui išsaugoti,

A – matricos dydis;  $(A^2) \log(A^2)$  – matricos rūšiavimo algoritmo greitis,

N – paveikslėlio aukštis (taškų skaičius),

M – paveikslėlio plotis (taškų skaičius).

Panaudojus medianinį filtrą gauti tokie rezultatai:

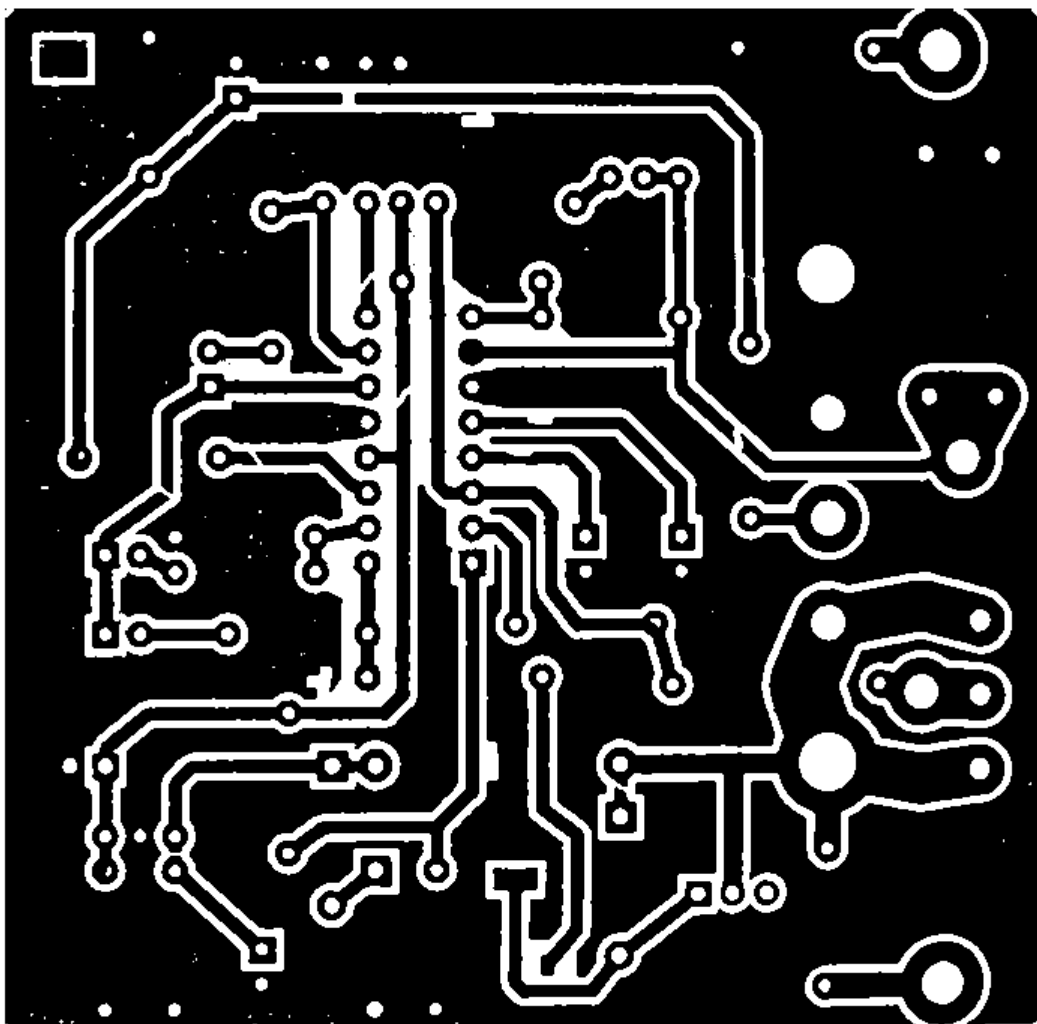
3.2 lentelė. Defektų detektavimo skaitinės reikšmės panaudojus medianinį filtrą

Defekto pavadinimas	Kiekis
Takelių netoleruotinių klaidų skaičius	7
Takelių toleruotinių klaidų skaičius	2022
Trumpiklio netoleruotinių klaidų skaičius	0
Trumpiklio toleruotinių klaidų skaičius	31
Sienos netoleruotinių klaidų skaičius	4
Sienos toleruotinių klaidų skaičius	41
Lydviečių netoleruotinių klaidų skaičius	5
Lydviečių toleruotinių klaidų skaičius	0
Fono klaidų skaičius	26

3.3 lentelė. Defektų detektavimo skaitinės reikšmės skirtumas lygininat su etaloninėmis reikšmėmis panaudojus medianinį filtrą

Defekto pavadinimas	Kiekis
Takelių netoleruotinių klaidų skaičius	-4
Takelių toleruotinių klaidų skaičius	-297
Trumpiklio netoleruotinių klaidų skaičius	-8
Trumpiklio toleruotinių klaidų skaičius	+25
Sienos netoleruotinių klaidų skaičius	+2
Sienos toleruotinių klaidų skaičius	+18
Lydviečių netoleruotinių klaidų skaičius	0
Lydviečių toleruotinių klaidų skaičius	-1
Fono klaidų skaičius	+23

Po medianinio filtro panaudojimo, gautų skaitinių reikšmių skirtumas žymimas su minuso ženklu, jeigu naudojant šį triukšmo šalinimo filtrą gauti rezultatai, lyginant su etalonėmis skaitinėmis reikšmėmis, yra mažesni t. y., neatitikimų buvo rasta mažiau nei nurodo etaloninės skaitinės reikšmės. Jeigu skaitinių reikšmių skirtumas žymimas su pliuso ženklu, vadinasi neatitikimų padaugėjo.

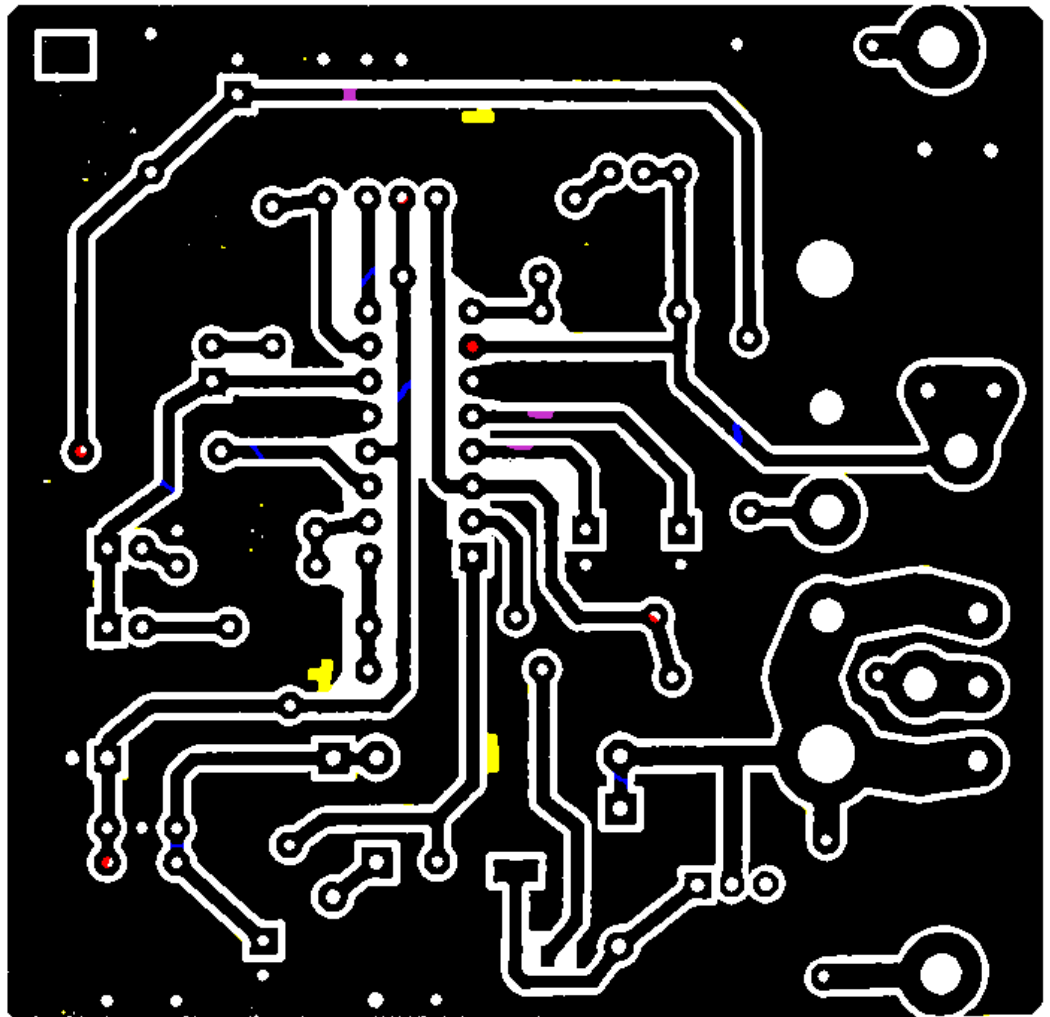


**3.1pav.** Tikrinamos PCB atvaizdas po medianinio filtro panaudojimo

Kaip matome iš 3.5 paveikslo, kartu su triukšmu buvo išfiltruoti ir visi trumpikliai, dalis smulkių įtrūkimų takeliuose (3.3 pav). Didesni takelio įtrūkimai buvo detektuoti kaip sienos klaida (3.3 pav.). Padaugėjo fono klaidų (3.6 pav.).

Medianinio filtro naudojimas, šiuo atveju, netenkina siekiamų uždavinio sprendimo rezultatų. Šis filtras gali būti naudojamas tada, kai triukšmas filtruojamas atvaizduose, kuriems nebus taikomi itin tiksliai reikšmes nustatantys algoritmai.





3.2 pav. Ištestuotas PCB atvaizdas po medianinio filtro panaudojimo



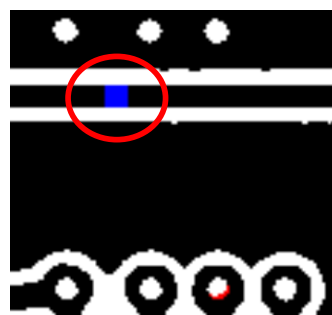
(a)

(b)

3.3 pav. Išfiltruoti takelių įtrūkimai a), takelių įtrūkimai etaloniniame atvaizde b)

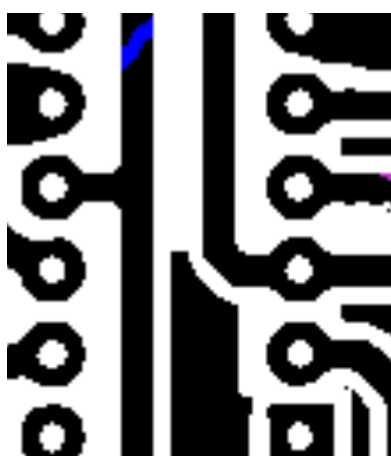


(a)

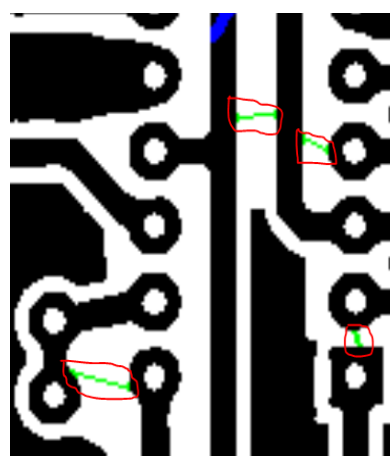


(b)

3.4 pav. Takelio įtrūkimas detektuojamas kaip sienos klaida a), takelio įtrūkimas etaloniame atvaizde b)

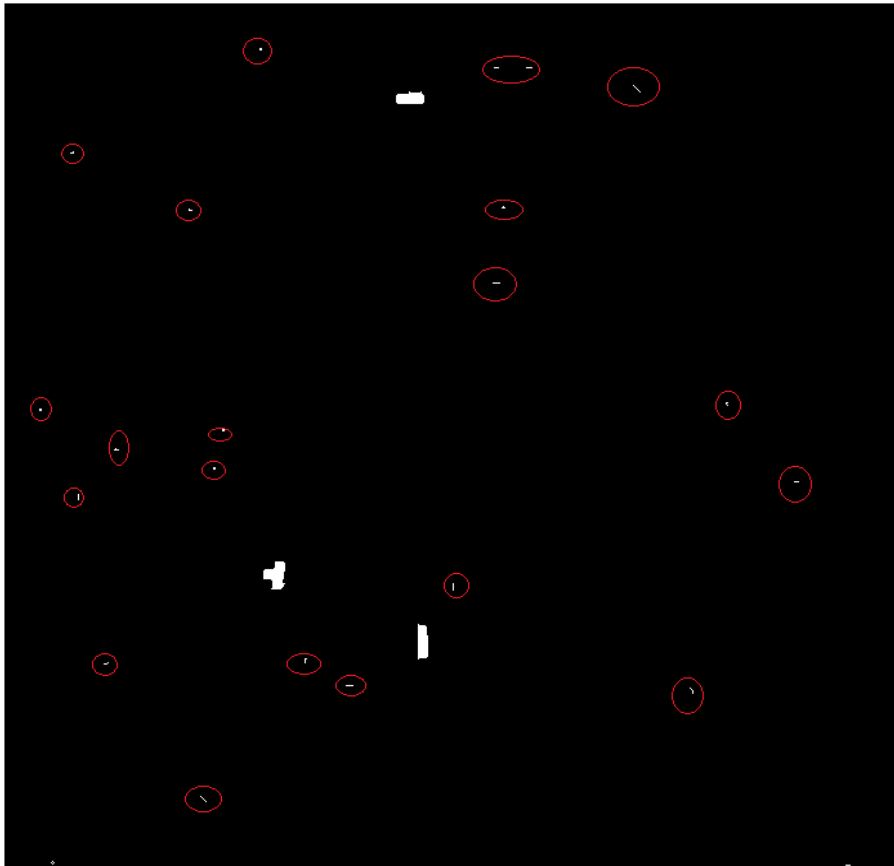


(a)

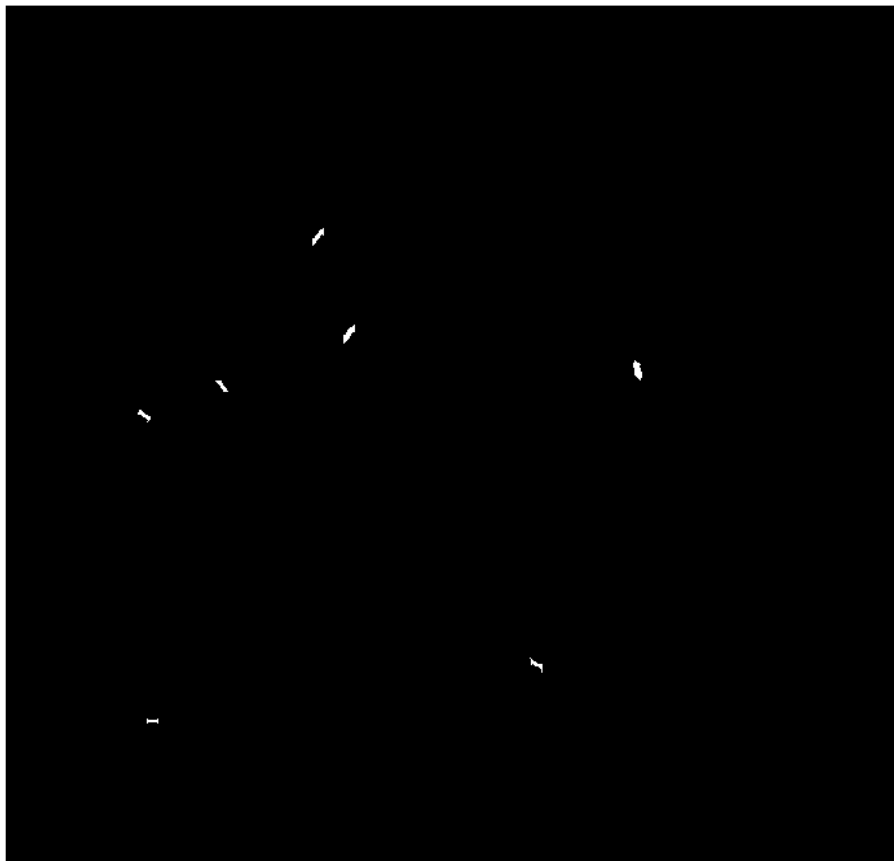


(b)

3.5 pav. Išfiltruoti visi trumpikliai a), trumpikliai etaloniame atvaizde b)



**3.6 pav.** Papildomai atsiradusios fono klaidos po medianinio filtro panaudojimo



**3.7 pav.** Po medianinio filtravimo likę takelio defektai

### 3.2 Standartinio nuokrypio filtras

Naudojant standartinio nuokrypio filtrą tikrinama 3x3 matricos, viduriniojo pikselio reikšmė, gauta reikšmė yra prilyginama aplinkinių pikselių reikšmėms.[2]

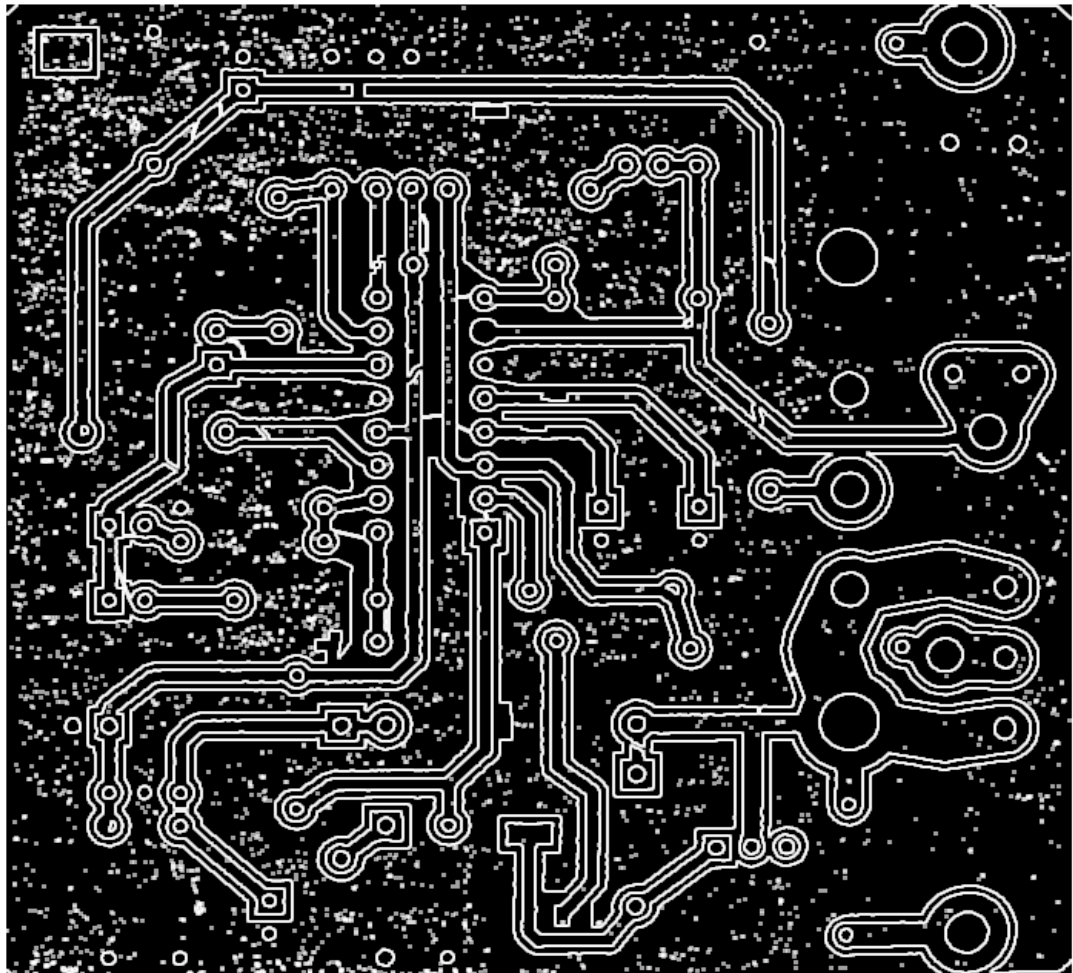
3.4 lentelė. Defektų detektavimo skaitinės reikšmės panaudojus standartinio nuokrypio filtrą

Defekto pavadinimas	Kiekis
Takelių netoleruotinių klaidų skaičius	0
Takelių toleruotinių klaidų skaičius	94
Trumpiklio netoleruotinių klaidų skaičius	2
Trumpiklio toleruotinių klaidų skaičius	10
Sienos netoleruotinių klaidų skaičius	120
Sienos toleruotinių klaidų skaičius	0
Lydviečių netoleruotinių klaidų skaičius	78
Lydviečių toleruotinių klaidų skaičius	0
Fono klaidų skaičius	1881

3.5 lentelė. Defektų detektavimo skaitinės reikšmės skirtumas lyginant su etaloninėmis reikšmėmis panaudojus standartinio nuokrypio filtrą

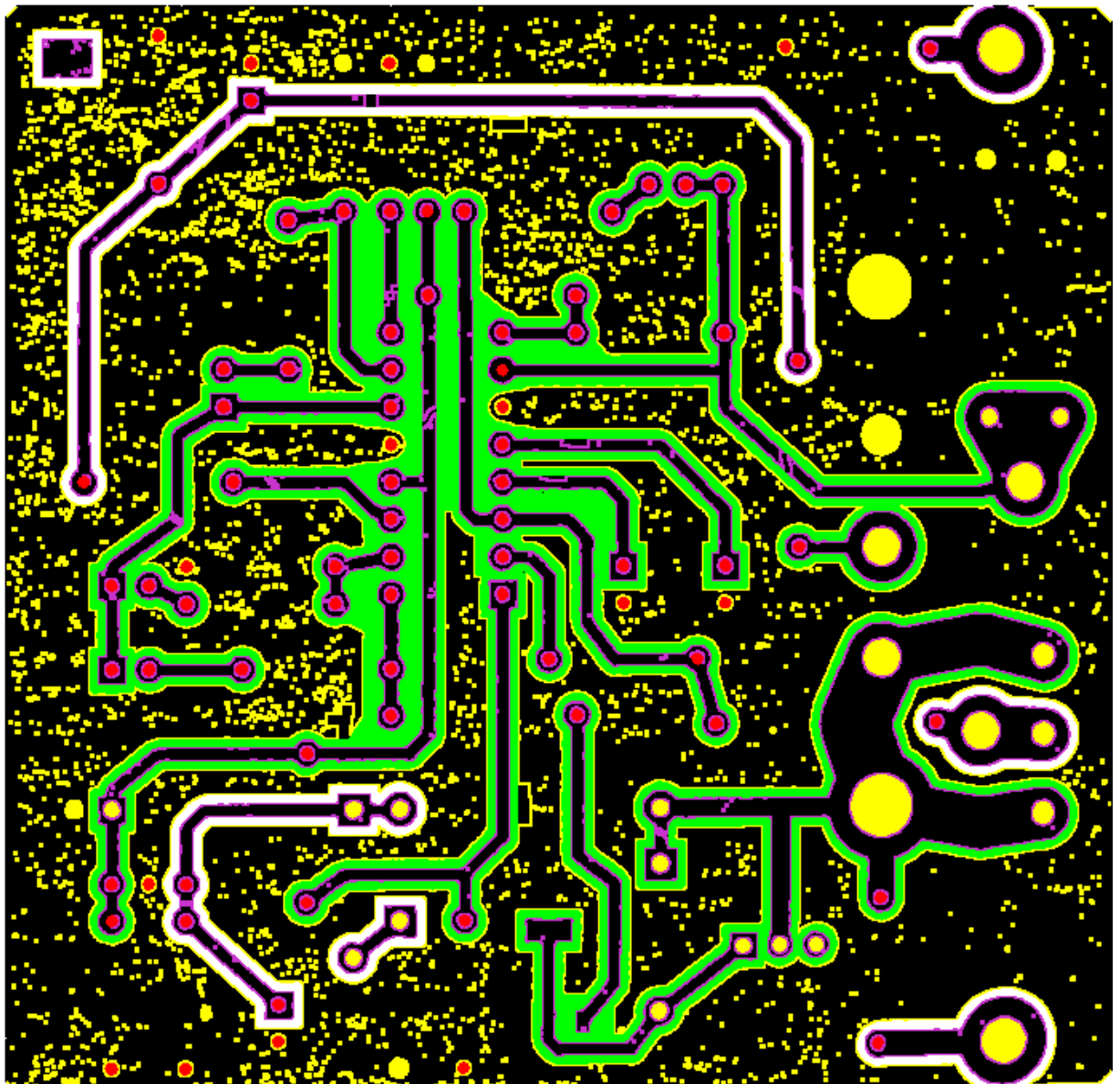
Defekto pavadinimas	Kiekis
Takelių netoleruotinių klaidų skaičius	-12
Takelių toleruotinių klaidų skaičius	-2225
Trumpiklio netoleruotinių klaidų skaičius	-6
Trumpiklio toleruotinių klaidų skaičius	+4
Sienos netoleruotinių klaidų skaičius	+118
Sienos toleruotinių klaidų skaičius	-23
Lydviečių netoleruotinių klaidų skaičius	+73
Lydviečių toleruotinių klaidų skaičius	-1
Fono klaidų skaičius	+1878

Po standartinio nuokrypio filtro panaudojimo, gautų skaitinių reikšmių skirtumas žymimas su minuso ženklu, jeigu naudojant šį triukšmo šalinimo filtrą gauti rezultatai, lyginant su etaloninėmis skaitinėmis reikšmėmis yra mažesni t. y., neatitikimų buvo rasta mažiau nei nurodo etaloninės skaitinės reikšmės. Jeigu skaitinių reikšmių skirtumas žymimas su pliuso ženklu, vadinasi neatitikimų padaugėjo.



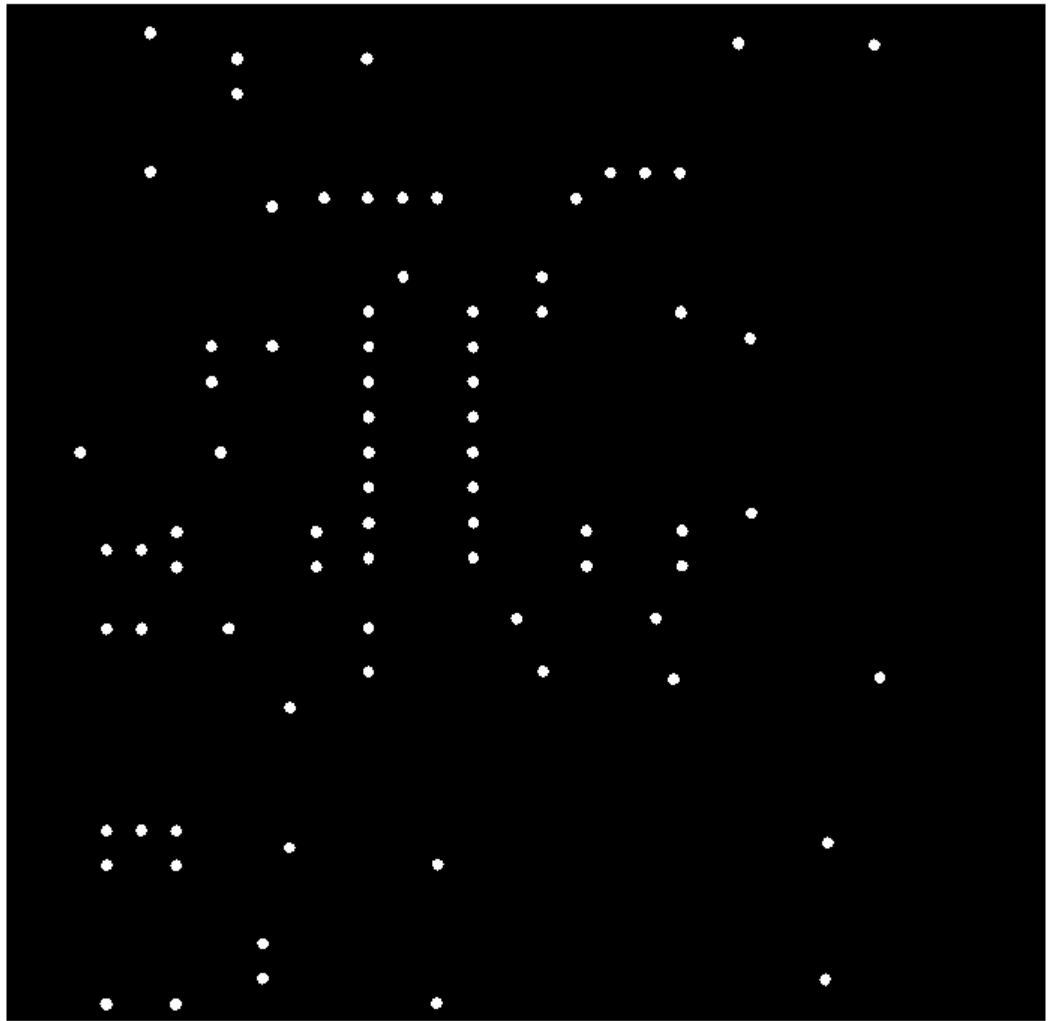
**3.8 pav.** Tikrinamos PCB atvaizdas po standartinio nuokrypio filtro panaudojimo

Naudojant standartinio nuokrypio filtrą, tikrinamame atvaizde yra „priauginama“ dar daugiau triukšmingų pikselių grupių darinių (3.8 pav.), ko pasekoje tikslus PCB defektų detektavimas nėra galimas.



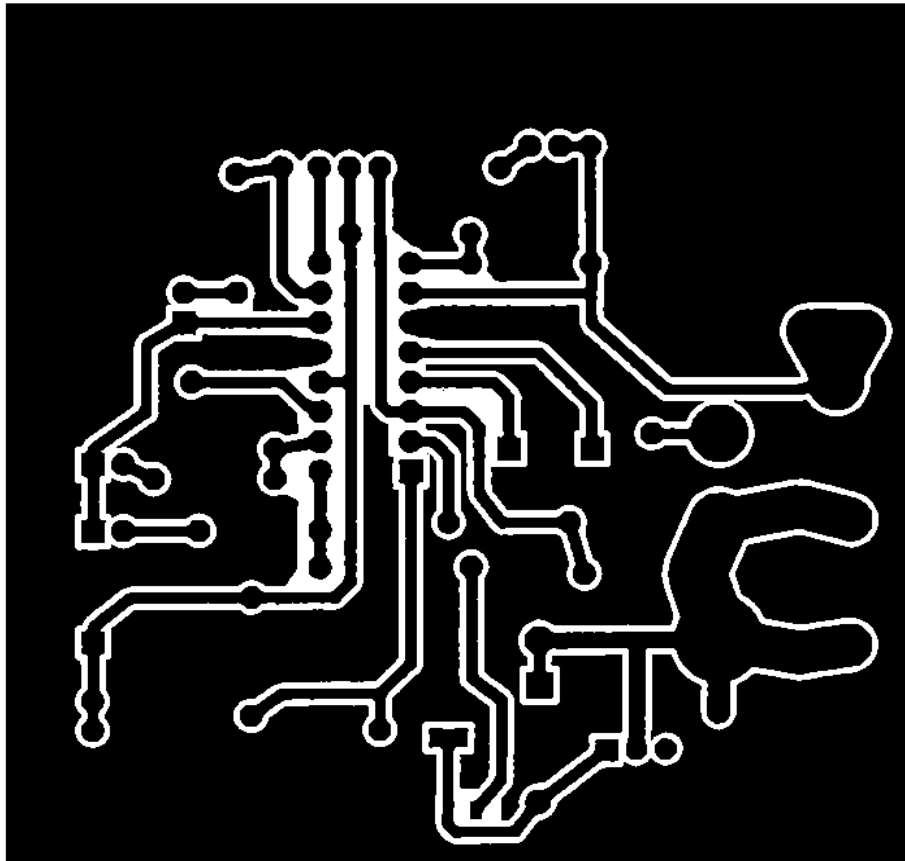
3.9 pav. Ištestuotas PCB atvaizdas po standartinio nuokrypio filtro panaudojimo

Atlikus visas tikrinamo atvaizdo apdorojimo ir testavimo operacijas, gautas galutinis ištestuotos PCB atvaizdas visiškai netenkina iekiamų uždavinio sprendimo rezultatų.

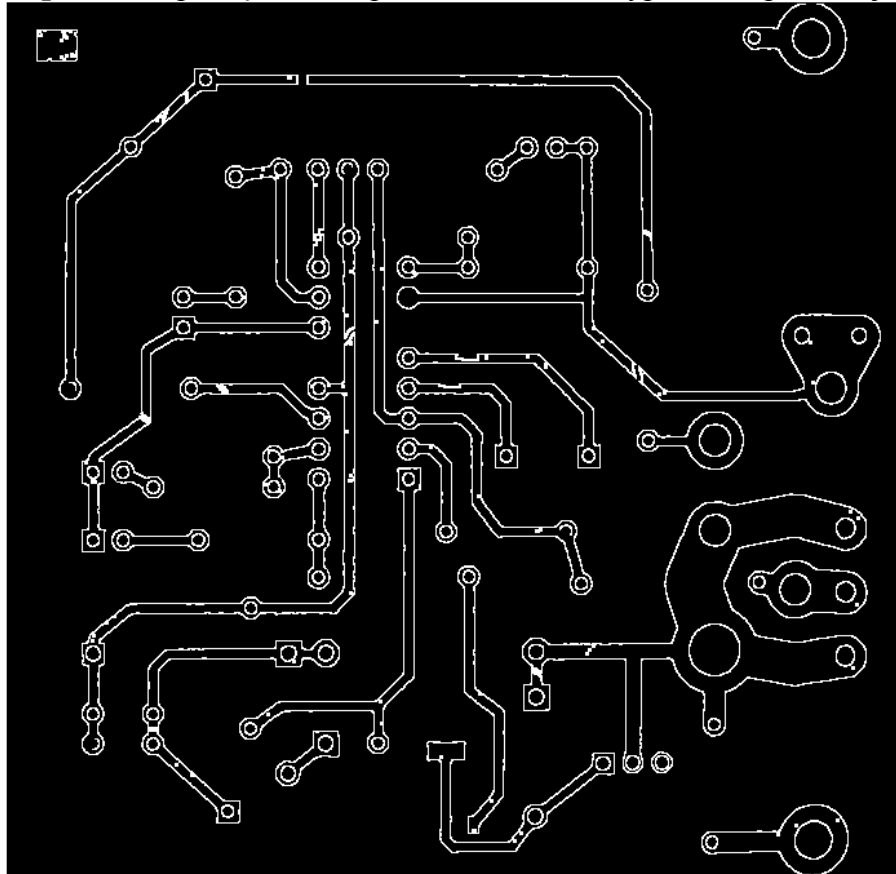


**3.10 pav.** Lydviečių defektai po standartinio nuokrypio filtro panaudojimo

Panaudojus standartinių nuokrypių filtrą, buvo išfiltruotos visos lydvietės (3.10 pav.), ko pasekoje lyginant su etaloniniu atvaizdu, visos lydvietės buvo detektuotos kaip defektai.

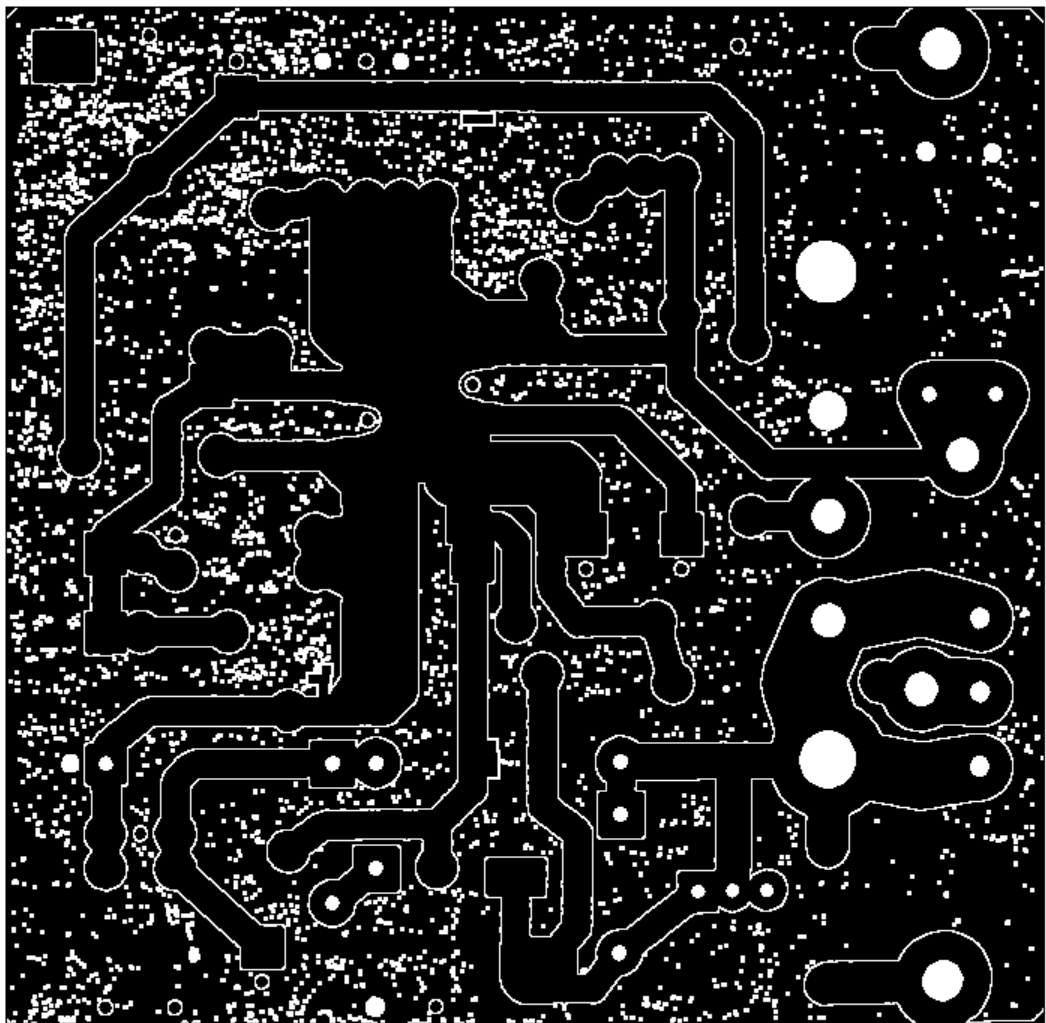


3.11 pav. Trumpiklių defektai po standartinio nuokrypio filtro panaudojimo



3.12 pav. Sienos klaidos po standartinio nuokrypio filtro panaudojimo





3.13 pav. Fono klaidos po standartinio nuokrypio filtro panaudojimo

### 3.3 Morfologinės operacijos „Bwareaopen“ naudojimas šalinant triukšmus

Morfologinė operacija „Bwareaopen“ naudojama norint pašalinti visus mažus pikselių junginius binariniame atvaizde. Standartiškai parašyta funkcija pašalina visus mažesnius pikselių junginius, kurių bendra pikselių suma yra  $< 8$  sujungtus pikselius. Galima koreguoti pikselių barjerą, todėl atvaizdas ištirtas su 4 ir su 8 sujungtų pikselių riba. [3]

#### 3.3.1 Bwareaopen su 4 pikselių barjeru

Atliktas tikrinamo atvaizdo apdorojimas, naudojantis 4 pikselių barjeru. Gauti rezultatai pateikti 3.6, 3.7 lentelėse.

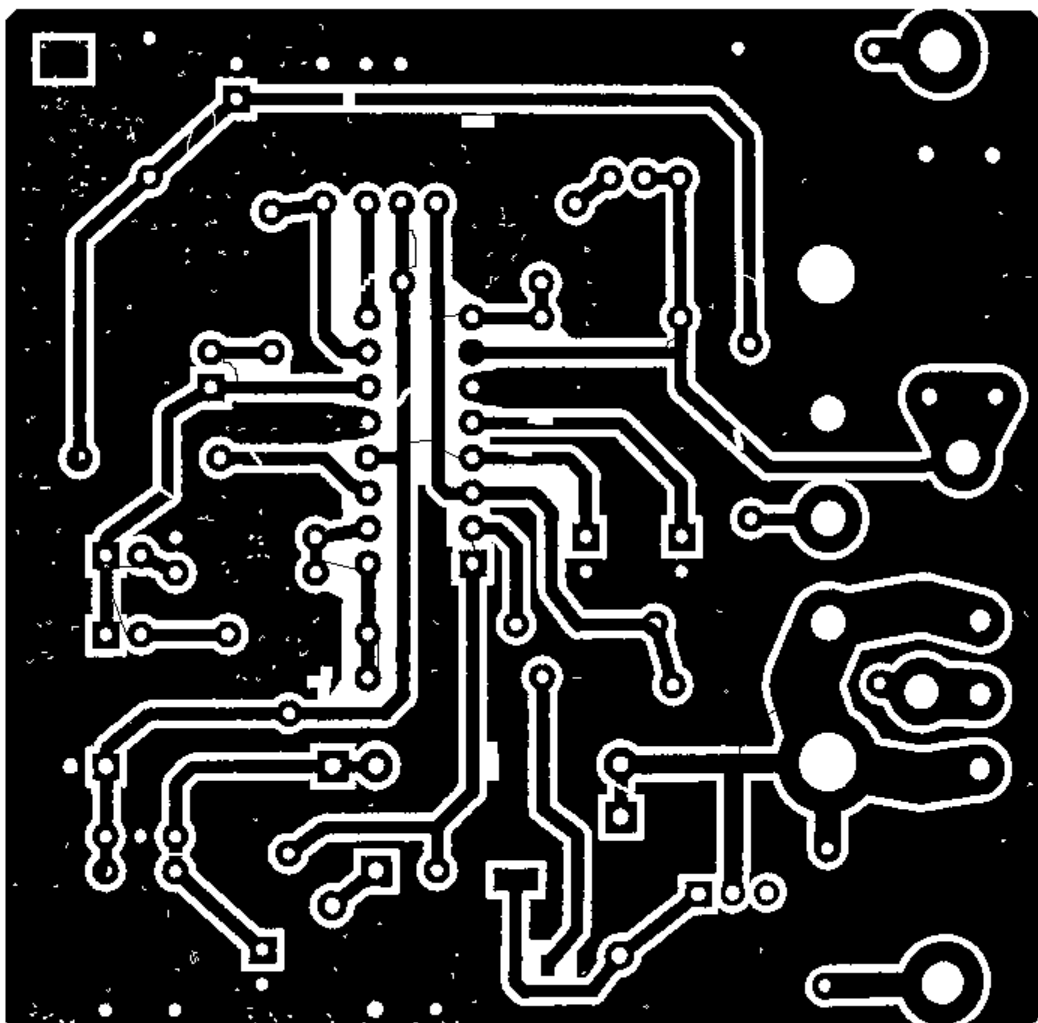
3.6 lentelė. Defektų detektavimo skaitinės reikšmės, panaudojus morfologinę operaciją „Bwareaopen“ su 4 pikselių barjeru

Defekto pavadinimas	Kiekis
Takelių netoleruotinių klaidų skaičius	11
Takelių toleruotinių klaidų skaičius	2319
Trumpiklio netoleruotinių klaidų skaičius	8
Trumpiklio toleruotinių klaidų skaičius	5
Sienos netoleruotinių klaidų skaičius	2
Sienos toleruotinių klaidų skaičius	23
Lydviečių netoleruotinių klaidų skaičius	5
Lydviečių toleruotinių klaidų skaičius	0
Fono klaidų skaičius	182

3.7 lentelė. Defektų detektavimo skaitinės reikšmės skirtumas lyginant su etaloninėmis reikšmėmis panaudojus morfologinę operaciją „Bwareaopen“ su 4 pikselių barjeru

Defekto pavadinimas	Kiekis
Takelių netoleruotinių klaidų skaičius	0
Takelių toleruotinių klaidų skaičius	0
Trumpiklio netoleruotinių klaidų skaičius	0
Trumpiklio toleruotinių klaidų skaičius	-1
Sienos netoleruotinių klaidų skaičius	0
Sienos toleruotinių klaidų skaičius	0
Lydviečių netoleruotinių klaidų skaičius	0
Lydviečių toleruotinių klaidų skaičius	-1
Fono klaidų skaičius	+179

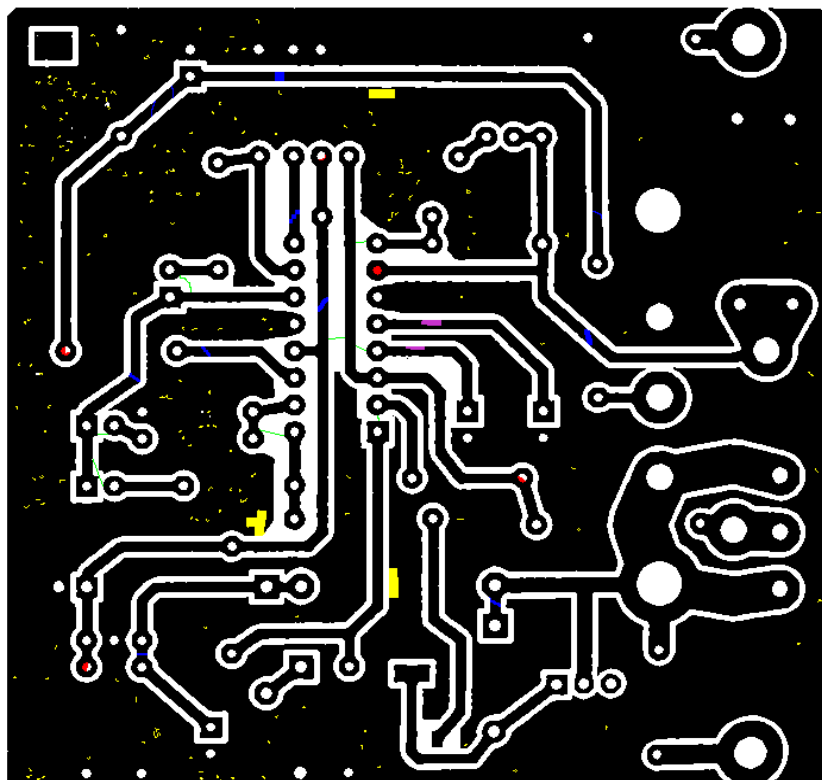
Po morfologinės operacijos „*Bwareaopen*“ panaudojimo, gautų skaitinių reikšmių skirtumas žymimas su minuso ženklu, jeigu naudojant šią funkciją gauti rezultatai, lyginant su etalonėmis skaitinėmis reikšmėmis, yra mažesni t. y., neatitikimų buvo rasta mažiau nei nurodo etaloninės skaitinės reikšmės. Jeigu skaitinių reikšmių skirtumas žymimas su pliuso ženklu, vadinasi neatitikimų padaugėjo. Sutapus defektų skaitinėms reikšmėms, žymima 0.



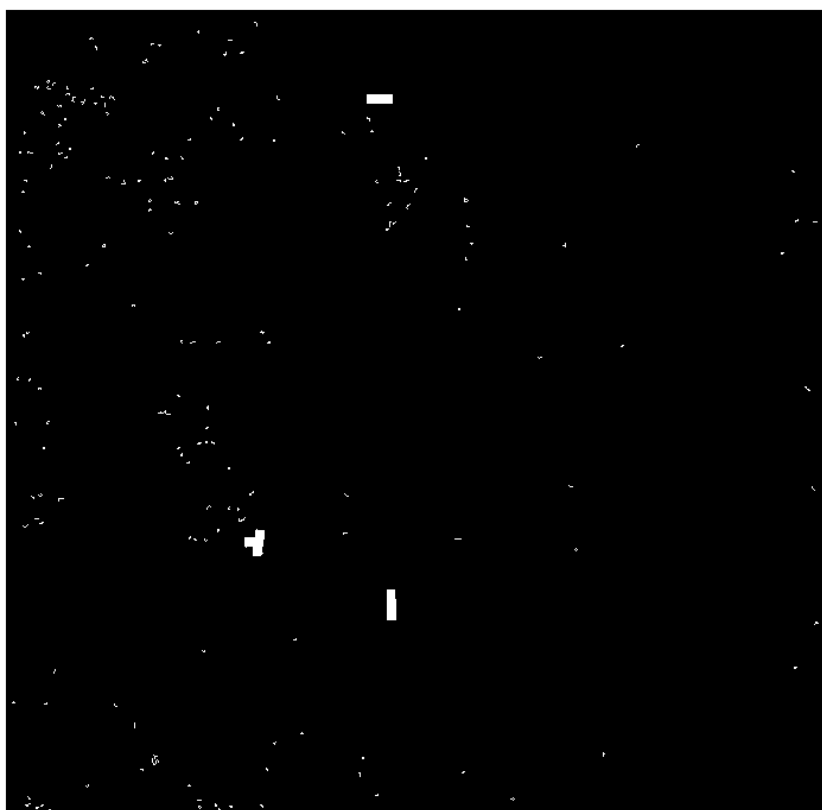
**3.14 pav.** Tikrinamos PCB atvaizdas po morfologinės operacijos „*Bwareaopen*“ su 4 pikselių barjeru panaudojimo

Panaudojus „*Bwareaopen*“ operaciją, išvalyta didelė dalis triukšmų (3.14 pav.). Po pavienių pikselių junginių, kurie yra mažesni nei 4 pikselių junginys, valymo matome, kad nebuvo pašalinti takelių smulkūs defektai kurių plotis ~1 pikselį.

Po valymo, lyginant su etalonėmis skaitinėmis reikšmėmis, padidėjo fono klaidų skaičius, kadangi dauguma pikselių junginių yra didesni, nei sujungti 4 pikseliai.



3.14 pav. Ištestuotas PCB atvaizdas po morfologinės operacijos „Bwareaopen“ su 4 pikselių barjeru panaudojimo



3.15 pav. Neišvalytos fono klaidos po morfologinės operacijos „Bwareaopen“ su 4 pikselių barjeru panaudojimo

### 3.3.2 Bwareaopen su 8 pikselių barjeru

Atliktas tikrinamo atvaizdo apdorojimas, naudojantis 8 pikselių barjeru. Gauti rezultatai pateikti 3.8, 3.9 lentelėse.

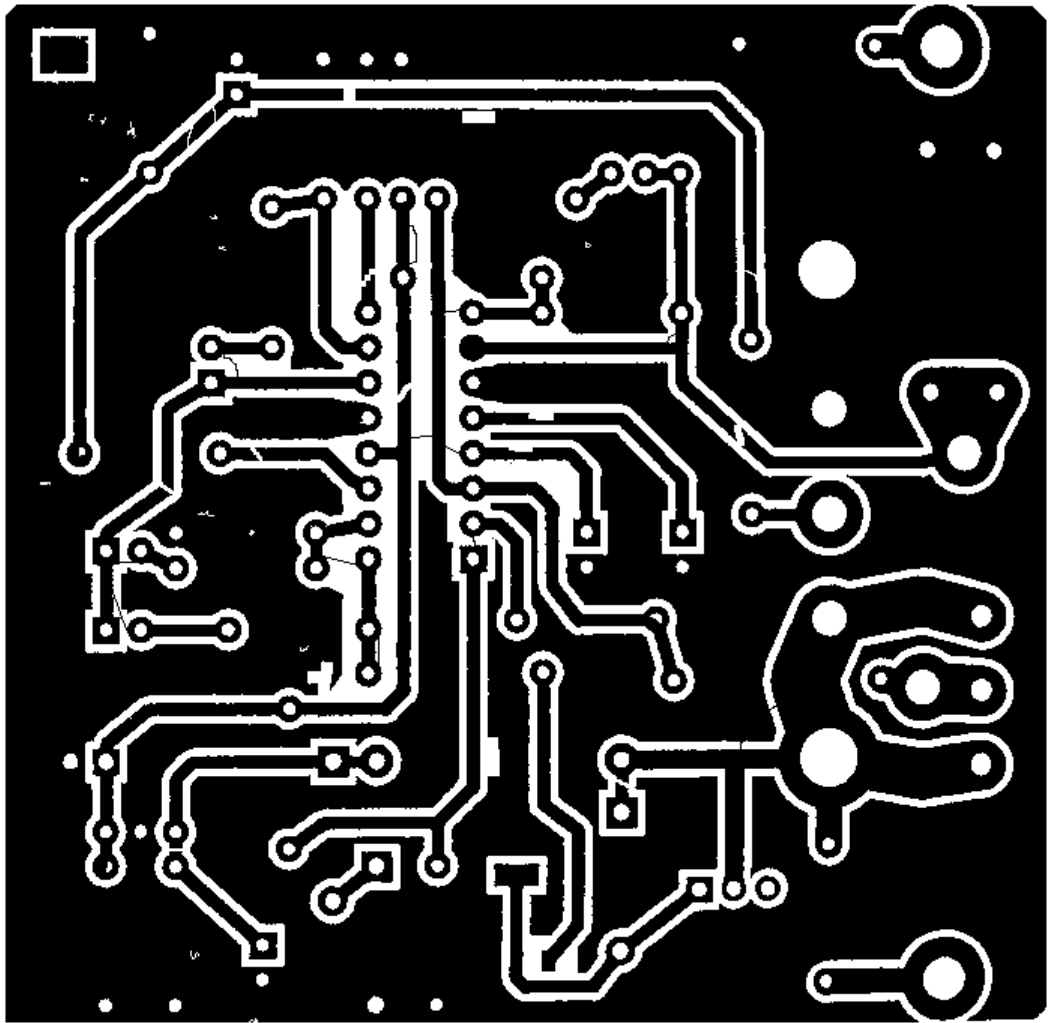
3.8 lentelė. Defektų detektavimo skaitinės reikšmės, panaudojus morfologinę operaciją „Bwareaopen“ su 8 pikselių barjeru

Defekto pavadinimas	Kiekis
Takelių netoleruotinių klaidų skaičius	11
Takelių toleruotinių klaidų skaičius	2317
Trumpiklio netoleruotinių klaidų skaičius	8
Trumpiklio toleruotinių klaidų skaičius	5
Sienos netoleruotinių klaidų skaičius	2
Sienos toleruotinių klaidų skaičius	22
Lydviečių netoleruotinių klaidų skaičius	5
Lydviečių toleruotinių klaidų skaičius	0
Fono klaidų skaičius	15

3.9 lentelė. Defektų detektavimo skaitinės reikšmės skirtumas lyginant su etaloninėmis reikšmėmis panaudojus morfologinę operaciją „Bwareaopen“ su 8 pikselių barjeru

Defekto pavadinimas	Kiekis
Takelių netoleruotinių klaidų skaičius	0
Takelių toleruotinių klaidų skaičius	-2
Trumpiklio netoleruotinių klaidų skaičius	0
Trumpiklio toleruotinių klaidų skaičius	-1
Sienos netoleruotinių klaidų skaičius	0
Sienos toleruotinių klaidų skaičius	-1
Lydviečių netoleruotinių klaidų skaičius	0
Lydviečių toleruotinių klaidų skaičius	-1
Fono klaidų skaičius	+12

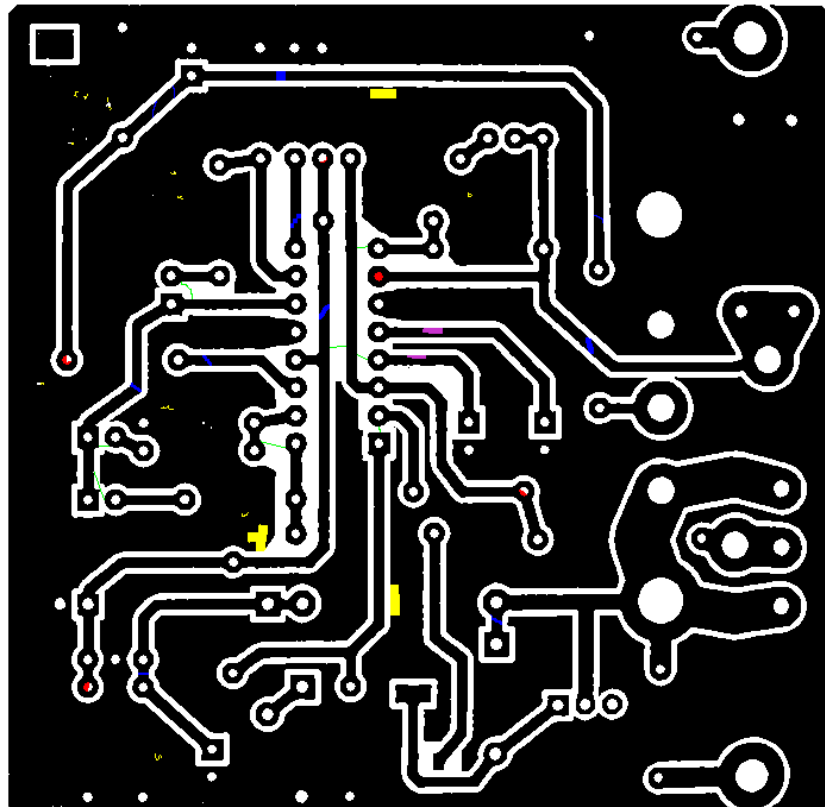
Po morfologinės operacijos „Bwareaopen“ panaudojimo, gautų skaitinių reikšmių skirtumas žymimas su minuso ženklu, jeigu naudojant šią funkciją gauti rezultatai, lyginant su etaloninėmis skaitinėmis reikšmėmis, yra mažesni t. y., neatitikimų buvo rasta mažiau nei nurodo etaloninės skaitinės reikšmės. Jeigu skaitinių reikšmių skirtumas žymimas su pliuso ženklu, vadinasi neatitikimų padaugėjo. Sutapus defektų skaitinėms reikšmėms, žymima 0.



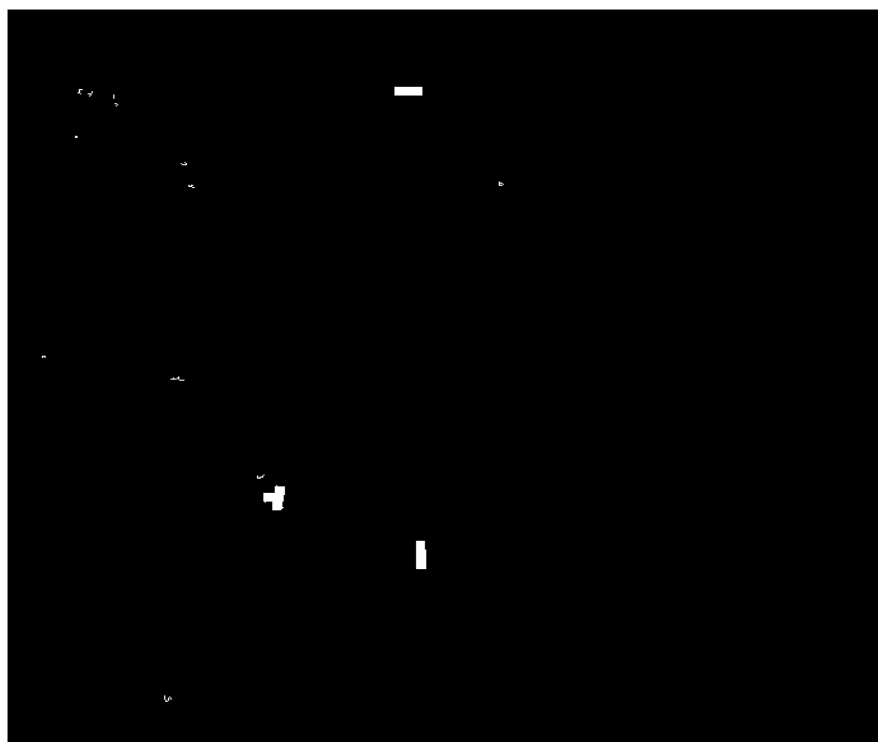
3.16 pav. Tikrinamos PCB atvaizdas po morfologinės operacijos „*Bwareaopen*“ su 8 pikselių barjeru panaudojimo

Panaudojus „*Bwareaopen*“ operaciją, išvalyta didelė dalis triukšmų (3.16 pav.). Po pavienių pikselių junginių, kurie yra mažesni nei 8 pikselių junginys, valymo matome, kad nebuvo pašalinti takelių smulkūs defektai kurių plotis ~1 pikselį.

Po valymo, lyginant su etalonėmis skaitinėmis reikšmėmis, padidėjo fono klaidų skaičius, kadangi likusių pikselių junginiai yra didesni, nei sujungti 8 pikseliai, tačiau lyginant su valymu, atliktu naudojantis operacija „*Bwareaopen*“ su 4 pikselių barjeru, fono klaidų kiekis žymiai sumažėjo. Papildomai po valymo, lyginant su etaloninėmis skaitinėmis reikšmėmis, sumažėjo takelių, trumpiklių, sienos ir lydviečių toleruotinos klaidos.



3.17 pav. Ištestuotas PCB atvaizdas po morfologinės operacijos „*Bwareaopen*“ su 8 pikselių barjeru panaudojimo



3.18 pav. Neišvalytos fono klaidos po morfologinės operacijos „*Bwareaopen*“ su 8 pikselių barjeru panaudojimo

### 3.4 Morfoliginės operacijos „erode“ naudojimas šalinant triukšmus

Binariniams vaizdams apdoroti skirta morfoliginė operacija erozija (angl. *erode*) apibrėžiama taip:

- Eroziija :  $X \ominus B = \{x: B_x \in X\}$ ,

Čia  $X$  – binarinis objektas, sudarytas iš taškų  $\{x\}$ ,  $B$  – struktūrinis elementas, o  $B_x$  – struktūrinis elementas su centru taške  $x$ . [7]

3.10 lentelė. Defektų detektavimo skaitinės reikšmės, panaudojus morfoliginę operaciją „erode“

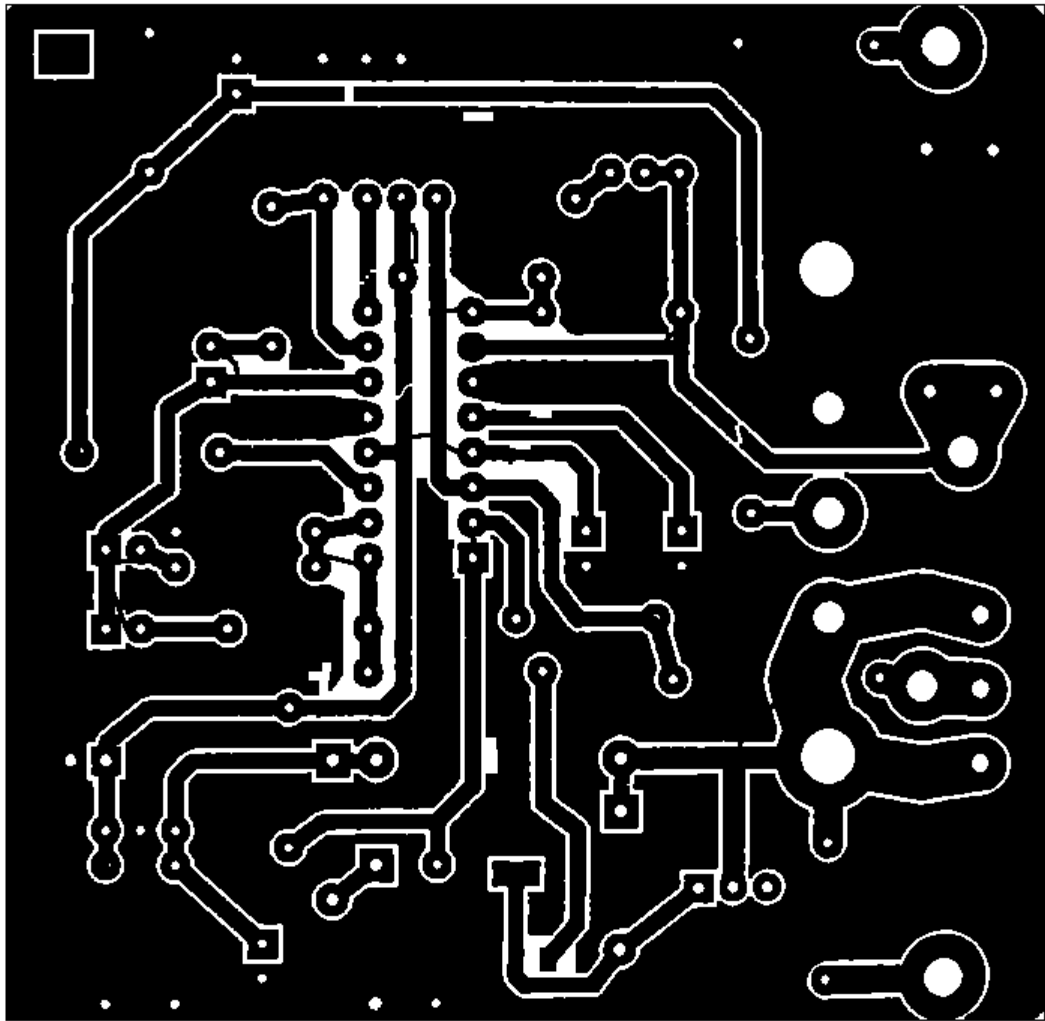
Defekto pavadinimas	Kiekis
Takelių netoleruotinių klaidų skaičius	3
Takelių toleruotinių klaidų skaičius	6
Trumpiklio netoleruotinių klaidų skaičius	5
Trumpiklio toleruotinių klaidų skaičius	34
Sienos netoleruotinių klaidų skaičius	2
Sienos toleruotinių klaidų skaičius	8
Lydviečių netoleruotinių klaidų skaičius	78
Lydviečių toleruotinių klaidų skaičius	0
Fono klaidų skaičius	37

3.11 lentelė. Defektų detektavimo skaitinės reikšmės skirtumas lyginant su etaloninėmis reikšmėmis panaudojus morfoliginę operaciją „erode“

Defekto pavadinimas	Kiekis
Takelių netoleruotinių klaidų skaičius	-8
Takelių toleruotinių klaidų skaičius	-2313
Trumpiklio netoleruotinių klaidų skaičius	-3
Trumpiklio toleruotinių klaidų skaičius	-28
Sienos netoleruotinių klaidų skaičius	0
Sienos toleruotinių klaidų skaičius	-15
Lydviečių netoleruotinių klaidų skaičius	+73
Lydviečių toleruotinių klaidų skaičius	-1
Fono klaidų skaičius	+34

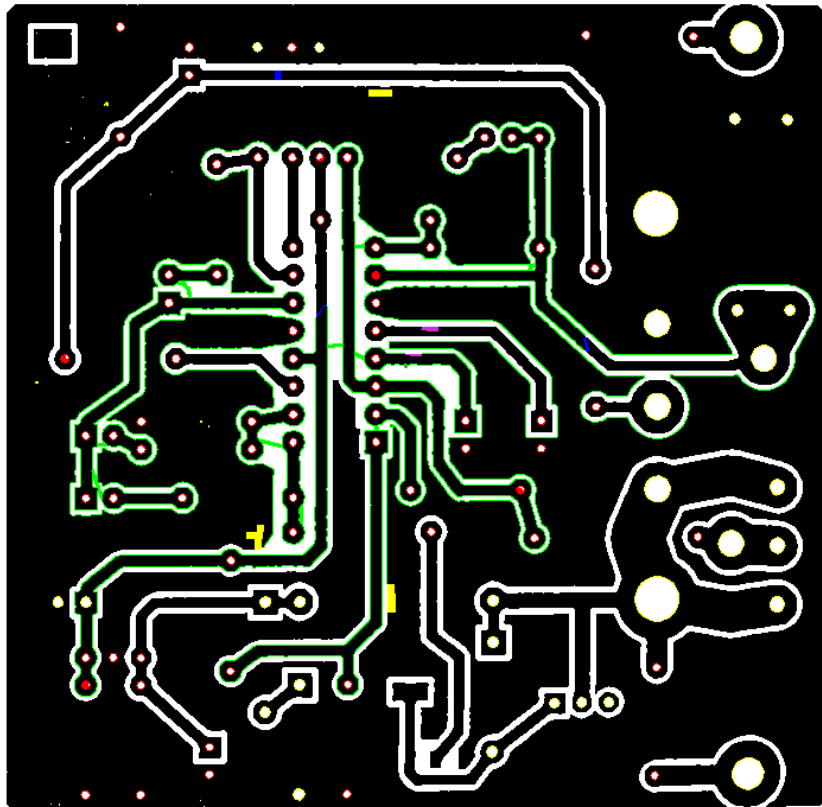
Po morfoliginės operacijos „erode“ panaudojimo, gautų skaitinių reikšmių skirtumas žymimas su minuso ženklu, jeigu naudojant šią funkciją gauti rezultatai, lyginant su etalonėmis skaitinėmis reikšmėmis, yra mažesni t. y., neatitikimų buvo rasta mažiau nei nurodo etaloninės skaitinės reikšmės. Jeigu skaitinių reikšmių skirtumas žymimas su pliuso ženklu, vadinasi neatitikimų padaugėjo. Sutapus defektų skaitinėms reikšmėms, žymima 0.



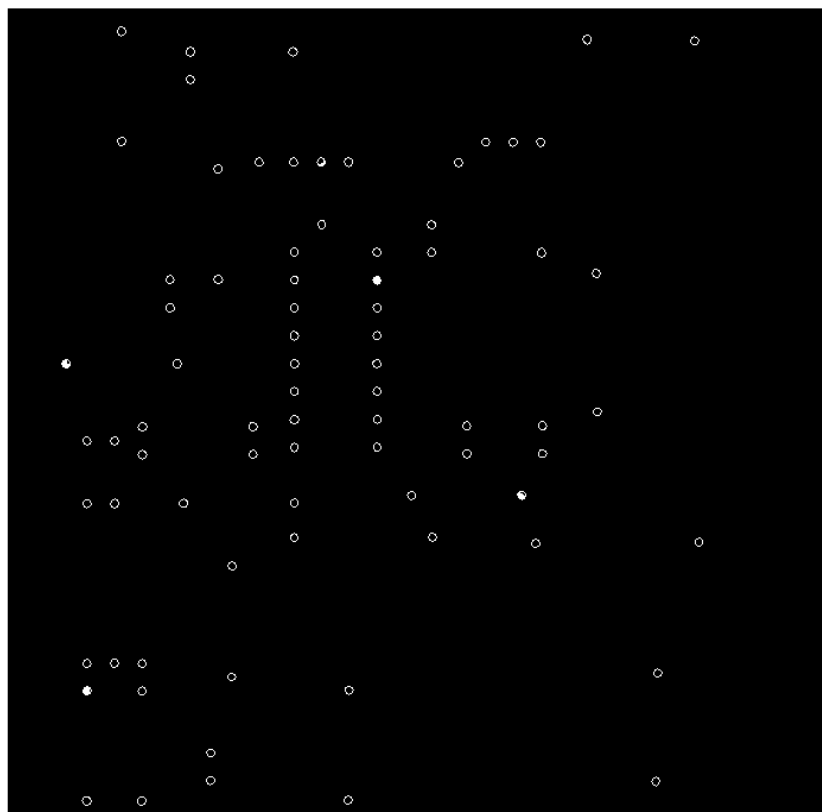


**3.19 pav.** Tikrinamos PCB atvaizdas po morfologinės operacijos „*erode*“ panaudojimo

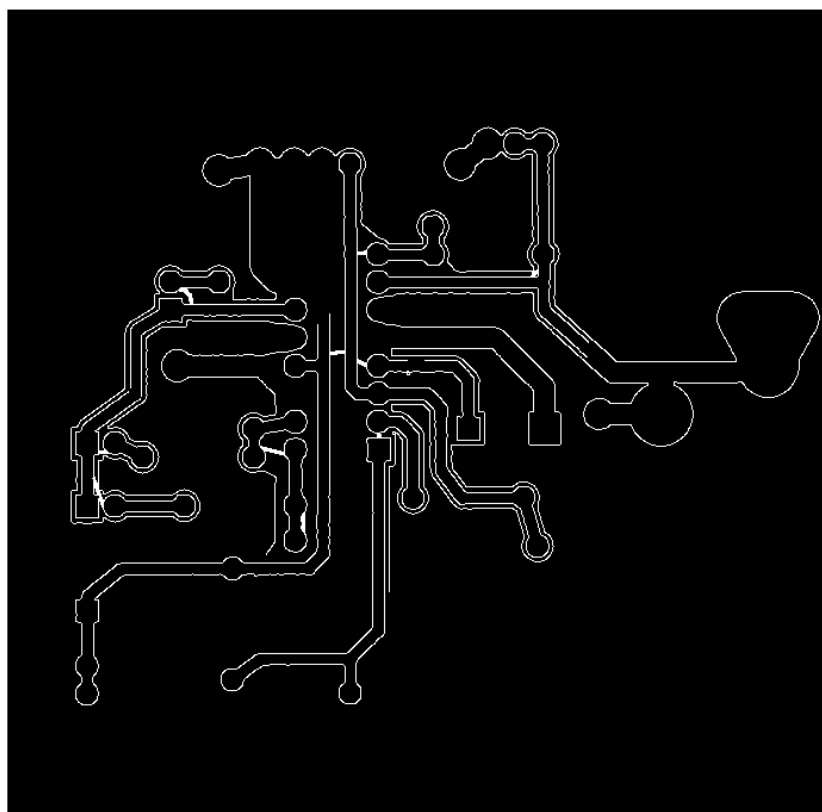
Po atvaizdo valymo, naudojant „*erode*“ operaciją, žymiai sumažėjo takelių ir trumpiklių defektų, kadangi „*erode*“ operacija „priaugino“ papildomų pikselių, taip pašalinant mažus takelių ir trumpiklių defektus. Dėl to, kad buvo „priauginami“, sumažėjo lydviečių plotas, ko pasekoje, visos lydvietės buvo priskirtos prie defektų.



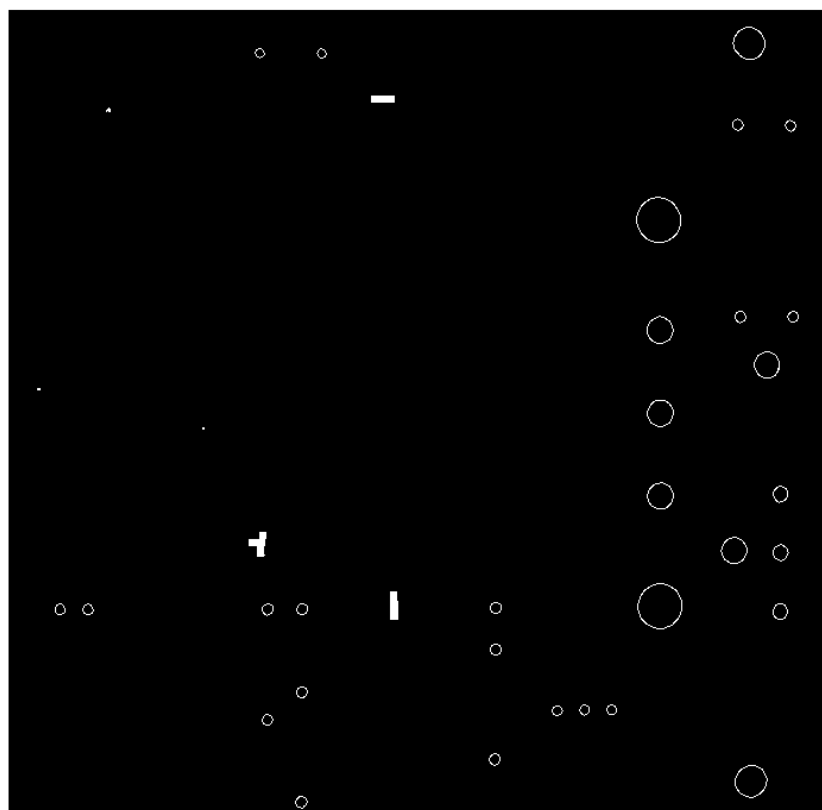
3.20 pav. Ištestuotas PCB atvaizdas po morfologinės operacijos „erode“ panaudojimo



3.21 pav. Lydviečių defektai po morfologinės operacijos „erode“ panaudojimo



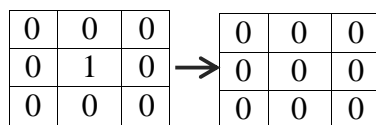
3.22 pav. Trumpiklių defektai po morfologinės operacijos „*erode*“ panaudojimo



3.23 pav. Fono klaidos po morfologinės operacijos „*erode*“ panaudojimo

### 3.5 Morfoliginės operacijos „clean“ naudojimas šalinant triukšmus

Binariniams vaizdams apdoroti skirta morfoliginė operacija - valymas (angl. *clean*), suvienodina, 3x3 matricioje, viduriniojo pikselio reikšmę su jį supančiais pikseliais (3.24 pav.)



3.24 pav. 3x3 matrica

3.12 lentelė. Defektų detektavimo skaitinės reikšmės, panaudojus morfoliginę operaciją „*clean*“

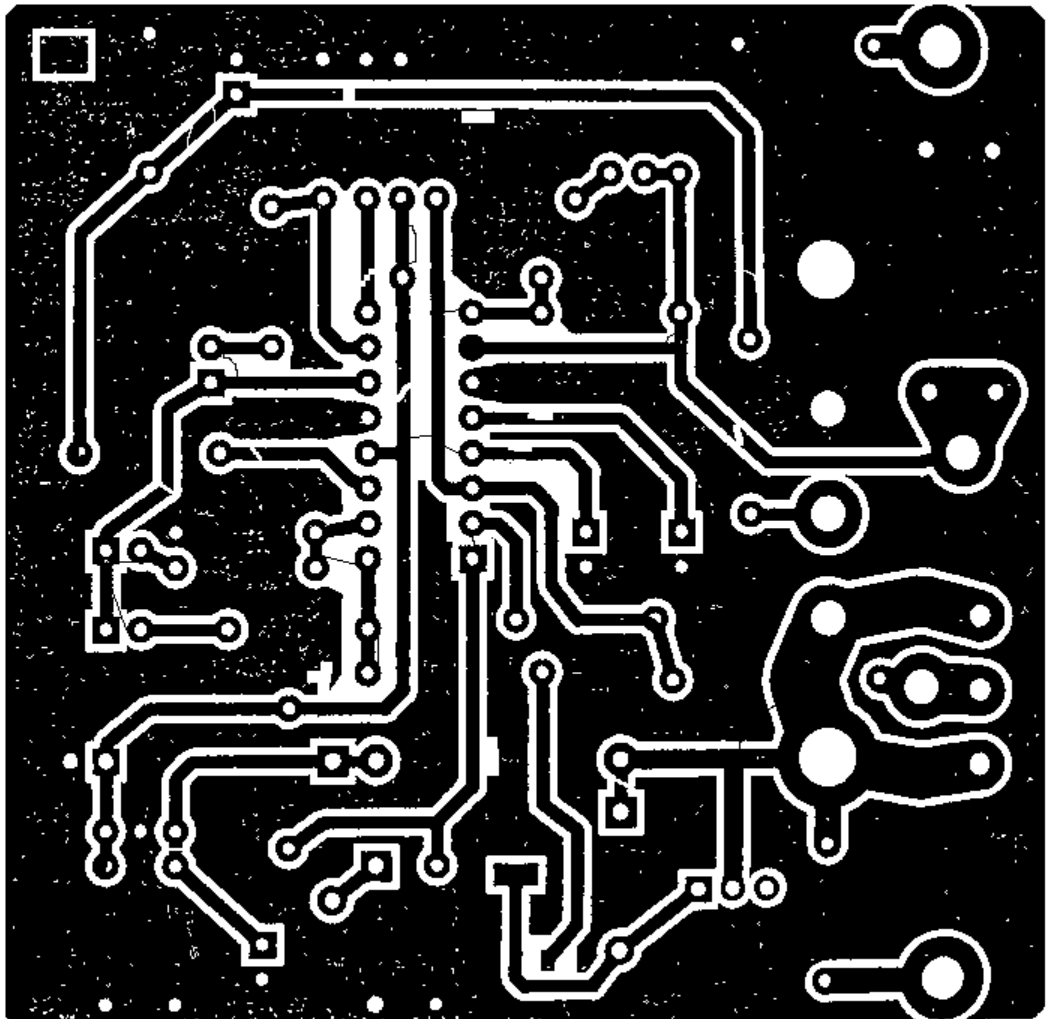
Defekto pavadinimas	Kiekis
Takelių netoleruotinių klaidų skaičius	11
Takelių toleruotinių klaidų skaičius	2344
Trumpiklio netoleruotinių klaidų skaičius	8
Trumpiklio toleruotinių klaidų skaičius	5
Sienos netoleruotinių klaidų skaičius	2
Sienos toleruotinių klaidų skaičius	23
Lydviečių netoleruotinių klaidų skaičius	5
Lydviečių toleruotinių klaidų skaičius	0
Fono klaidų skaičius	182

3.13 lentelė. Defektų detektavimo skaitinės reikšmės skirtumas lyginant su etaloninėmis reikšmėmis panaudojus morfoliginę operaciją „*clean*“

Defekto pavadinimas	Kiekis
Takelių netoleruotinių klaidų skaičius	0
Takelių toleruotinių klaidų skaičius	+25
Trumpiklio netoleruotinių klaidų skaičius	0
Trumpiklio toleruotinių klaidų skaičius	-1
Sienos netoleruotinių klaidų skaičius	0
Sienos toleruotinių klaidų skaičius	0
Lydviečių netoleruotinių klaidų skaičius	0
Lydviečių toleruotinių klaidų skaičius	-1
Fono klaidų skaičius	+179

Po morfoliginės operacijos „*clean*“ panaudojimo, gautų skaitinių reikšmių skirtumas žymimas su minuso ženklu, jeigu naudojant šią funkciją gauti rezultatai, lyginant su etaloninėmis skaitinėmis reikšmėmis, yra mažesni t. y., neatitikimų buvo rasta mažiau nei nurodo etaloninės skaitinės

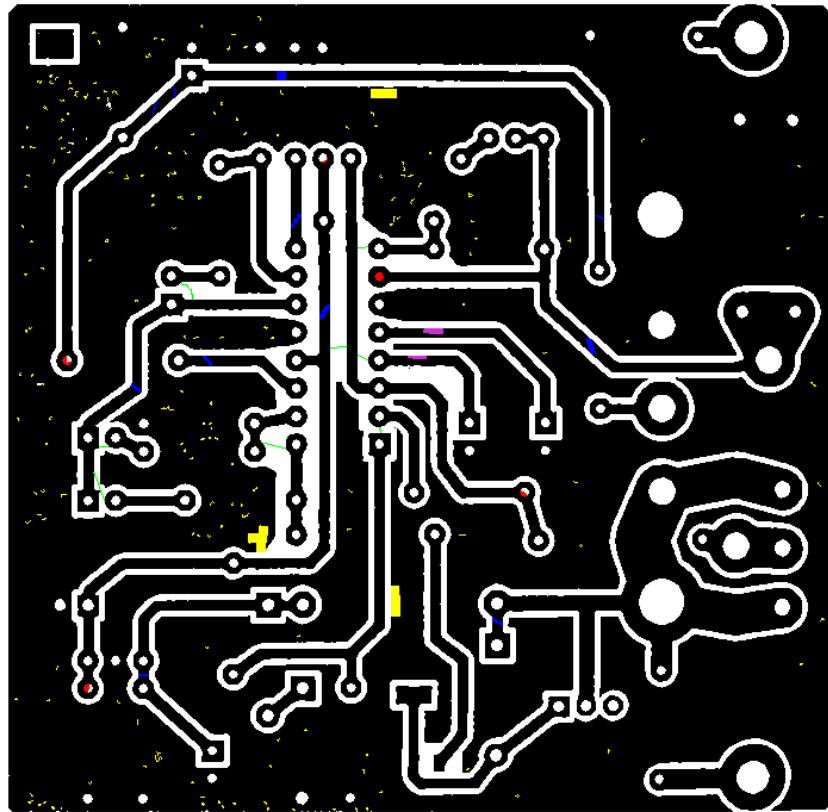
reikšmės. Jeigu skaitinių reikšmių skirtumas žymimas su pliuso ženklu, vadinasi neatitikimų padaugėjo. Sutapus defektų skaitinėms reikšmėms, žymima 0.



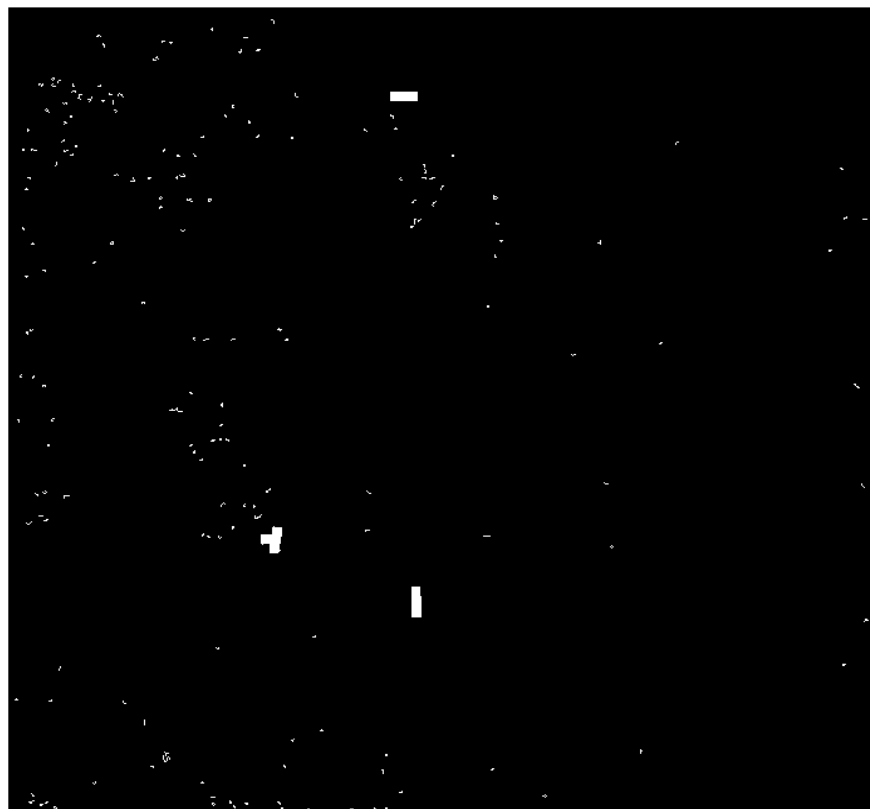
**3.25 pav.** Tikrinamos PCB atvaizdas po morfologinės operacijos „clean“ panaudojimo

Panaudojus „clean“ operaciją, išvalyta didelė dalis triukšmų (3.25 pav.). Po atlikto valymo matome, kad nebuvo pašalinti takelių smulkūs defektai kurių plotis  $\sim 1$  pikselį.

Lyginant su etalonėmis skaitinėmis reikšmėmis, padidėjo fono klaidų skaičius. Papildomai po valymo, lyginant su etaloninėmis skaitinėmis reikšmėmis, sumažėjo trumpiklių ir lydviečių toleruotinos klaidos.



3.26 pav. Ištestuotas PCB atvaizdas po morfologinės operacijos „clean“ panaudojimo



3.27 pav. Fono klaidos po morfologinės operacijos „clean“ panaudojimo

### 3.6 Gautų rezultatų apibendrinimas

Išbandžius medianinį ir standartinio nuokrypio filtras, bei morfologines operacijas „Bwareaopen“ su 4 ir 8 pikselių barjeriais, „erode“ ir „clean“, gauti rezultatai yra skirtingi. Apibendrinant yra palyginami trijų defektų rūšių: *takelių įtrūkimas*, *trumpikliai*, *lydvietės*, detektavimo tikslumo, naudojant skirtingus triukšmo šalinimo būdus ir lyginant su etaloniniu defektų detektavimu.

3.14 lentelė. Takelio įtrūkimo defektų radimas, nurodytais filtrais/operacijomis apdorojus tikrinamą atvaizdą ir lyginant su etalonine defektų skaitine reikšme

	Takelių įtrūkimai	Skirtumas	Skirtumas %
Etaloninė reikšmė	11	±	
Medianos filtras	6	-5	45,5
Standartinio nuokrypio filtras	8	-3	27,3
Morf. operacija „Bwareaopen“ 4	11	0	0
Morf. operacija „Bwareaopen“ 8	11	0	0
Morf. operacija „erode“	3	-8	72,7
Morf. operacija „clean“	11	0	0

3.15 lentelė. Trumpiklių defektų radimas, nurodytais filtrais/operacijomis apdorojus tikrinamą atvaizdą ir lyginant su etalonine defektų skaitine reikšme

	Trumpikliai	Skirtumas	Skirtumas %
Etaloninė reikšmė	8	±	
Medianos filtras	0	-8	100
Standartinio nuokrypio filtras	2	-6	75
Morf. operacija „Bwareaopen“ 4	8	0	0
Morf. operacija „Bwareaopen“ 8	8	0	0
Morf. operacija „erode“	5	-3	37,5
Morf. operacija „clean“	8	0	0

3.16 lentelė. Lydviečių defektų radimas, nurodytais filtrais/operacijomis apdorojus tikrinamą atvaizdą ir lyginant su etalonine defektų skaitine reikšme

	Lydvietės	Skirtumas	Skirtumas %
Etaloninė reikšmė	5	±	
Medianos filtras	5	0	0
Standartinio nuokrypio filtras	78	+73	1560
Morf. operacija „Bwareaopen“ 4	5	0	0
Morf. operacija „Bwareaopen“ 8	5	0	0
Morf. operacija „erode“	78	+73	1560
Morf. operacija „clean“	5	0	0

## Išvados ir rezultatai

1. Atlikus literatūros analizę, nustatyti pagrindiniai defektai kurie egzistuoja PCB gamyboje. Nustatyta defektų įtaka PCB plokštėms. Apžvelgtos PCB defektų inspektavimo technologijos, kurios naudojamos šiuolaikinėje pramonėje.
2. Aprašytas PCB gamybos procesas.
3. Pasiūlytas ir pilnai aprašytas, individualiai sukurtas, PCB defektų inspektavimo metodas, kuriuo remiantis inspektuojami takelių įtrūkimų, takelių iškandimų, trumpiklių ir lydviečių defektai.
4. Ištirti *Matlab* programiniame pakete siūlomų binarinio atvaizdo apdorojimo filtrų įtaka klaidų atpažinimo rezultatui, kai yra žinomi tikslūs defektai ir jų kiekis.
5. Apibendrinant tyrimą galiu teigti, jog užduoties realizavimui būtų užtekę morfologinių operacijų *Bwareaopen*, *erode*, *clean*. Naudojant šias morfologines operacijas, po atlikto triukšmų valymo, nei vienas defektas nebuvo įtakotas, nepasikeitė jų pikselinė struktūra, tačiau fono triukšmas pašalintas nepilnai. Nors triukšmas, esantis fone t. y. ant dielektrinio paviršiaus, kuris izoluoja laidininkus, neįtakoja PCB kokybės, tačiau remiantis tuo, kad buvo siekta optimaliai pašalinti visus egzistavusius triukšmingus pikselius, individualiai sukurti filtrai, kurie išvalė beveik visus triukšmus.



## Literatūros šaltiniai

- [1] Dalius Navakauskas, Artūras Serackis „Skaitmeninis signalų apdorojimas taikant MATLAB“ Vilnius 2013.
- [2] interneto prieiga: Local standard deviation of image, [žiūrėta 2016 04 20], <http://se.mathworks.com/help/images/ref/stdfilt.html>
- [3] interneto prieiga: Remove small objects from binary image, [žiūrėta 2016 04 23] <http://se.mathworks.com/help/images/ref/bwareaopen.html>
- [4] interneto prieiga: Printed Circuit Board manufacturing, [žiūrėta 2016 04 22] <http://www.madehow.com/Volume-2/Printed-Circuit-Board.html>
- [5] interneto prieiga: PCB Inspection Techniques & Technologies, [žiūrėta 2016 05 02] [http://www.radio-electronics.com/info/t\\_and\\_m/ate/electronics-pcb-inspection.php](http://www.radio-electronics.com/info/t_and_m/ate/electronics-pcb-inspection.php)
- [6] interneto prieiga: Basic Printed Circuit Board Manufacture, [žiūrėta 2016 05 02] <http://www.smartgroup.org/downloads/Basic%20PCB%20Manufacture.pdf>
- [7] Donatas Dervinis „Vaizdų apdorojimas“ Kaunas 2012.
- [8] interneto prieiga: Median filter, [žiūrėta 2016 03 29] <http://homepages.inf.ed.ac.uk/rbf/HIPR2/median.htm>
- [9] interneto prieiga: Smoothing operations, [žiūrėta 2016 04 12] <http://www.mif.vu.lt/atpazinimas/dip/FIP/fip-Smoothin.html>
- [10] Girūta Kazakevičiūtė – Januškevičienė „Rastrinių vaizdų geometrinės transformacijos“ Vilnius 2012.
- [11] interneto prieiga: Pixel, [žiūrėta 2016 03 15], <http://whatis.techtarget.com/definition/pixel>
- [12] T. Young, J Gerbrands „Fundamentals of Image Processing“ 2007.
- [13] M. Kumar „DIGITAL IMAGE PROCESSING“ 2008
- [14] M. H. Tibana, R. A. Lotufo „Novel Automatic PCB Inspection Technique Based on Connectivity“. In: X Brazilian Symph.on Computer Graphics and Image Processing – SIBGRAP’07, Campos de Jordao, Vol.1. 2007 p. 187-194.
- [15] S. B. Gokturk, L. Akarun „Automated inspection of PCB’s using a novel Approach“ 2005.
- [16] T. Du-Ming, Y. Ron-Hwa „An eigenvalue-based similarity measure and its application in defect detection“, Image and Vision Computing, Vol. 23, No.12, 2006 p. 1094 – 1101
- [17] F. R. Leta „Discussing Accuracy in an Automatic Measurement System using Computer Vision Techniques“ COBEM 2005.

[18] interneto prieda: A. McAndrew „An Introduction to Digital Image Processing with Matlab“ [žiūrēta 2016 05 02]

[https://eclass.teicrete.gr/modules/document/file.php/TM152/Lab/00\\_Intro/Matlab-Image\\_Processing\\_Tutorial.pdf](https://eclass.teicrete.gr/modules/document/file.php/TM152/Lab/00_Intro/Matlab-Image_Processing_Tutorial.pdf)

[19] interneto prieda: AOI Light Source [žiūrēta 2016 04 25]

<http://cyberoptics.com/pdf/aoi/sq3000/AddressingHighPrecisionAutomatedOpticalInspection.pdf>

[20] A. P. S. Chauhan, S. C. Bhardwaj „Detection of Bare PCB Defects by Image Substraction Method using Machine Vision“, Proceedings of the World Congress on Engineering Vol. 2, 2011

[21] Greenberg „Method for printed circuit board inspection“. U.S.A patent 6, 990, 227.

[22] interneto prieda: Automated X-ray Inspection“ [žiūrēta 2016 05 11],

[http://www.keysight.com/upload/cmc\\_upload/All/Why\\_Where\\_What\\_How\\_When.pdf?&cc=LT&lc=eng](http://www.keysight.com/upload/cmc_upload/All/Why_Where_What_How_When.pdf?&cc=LT&lc=eng)

## Priedas Nr.1

Vaizdai

```
clear all;
close all;
Rotation=0; % Posukio kampas laipsniais
a = imread('blogaRGB.png');
gray= rgb2gray(a); %konvertuoja i nespaltvota
BW = im2bw(gray); %konvertuoja i binarini

z = imread('geraRGB.png');
z2 = im2bw(z);
%z11=Valymas(z2,4);
[n,m]=size(BW);% suvienodinam paveikslu mamtmenis jei riekia
z1 = imresize(z2, [n m]);
%% Tikrinamo paveikslo posukio kampo nustatymas lyginant su ETALONU
zz1=z1(1:80,1:80);
vv1=BW(1:80,1:80);
zz=Valymas(zz1,4);
vv=Valymas(vv1,4);
[Tkx Tky Tdx Tdy]=Kaimpai(zz);
[T1kx T1ky T1dx T1dy]=Kaimpai(vv);
figure
imshow(zz)
hold on
plot(Tkx, Tky, 'r*');
plot(Tdx, Tdy, 'r*');
figure
imshow(vv)
hold on
plot(T1kx, T1ky, 'b*');
```

```
plot(T1dx,T1dy,'b*');
```

```
movingPoints = [T1kx T1ky;T1dx T1dy];% taskai kurie zymi zymes (kvadr) kampus  
fixedPoints = [Tkx Tky;Tdx Tdy];
```

```
%% Randamas paveikslo posukio kampas, jei jis skiriasi nuo etalono
```

```
t = cp2tform(movingPoints,fixedPoints,'nonreflective similarity');
```

```
u = [0 1];
```

```
v = [0 0];
```

```
[x, y] = tformfwd(t, u, v);
```

```
dx = x(2) - x(1);
```

```
dy = y(2) - y(1);
```

```
angle = (180/pi) * atan2(dy, dx);
```

```
scale = 1 / sqrt(dx^2 + dy^2);
```

```
if angle~=0
```

```
Rotation=angle;
```

```
end
```

```
v1=imrotate(BW,Rotation);
```

```
%% Valome etalonini paveiksla
```

```
[n,m]=size(v1);% suvienodinam paveikslu mamtmenis jei reikia
```

```
z1 = imresize(z2, [n m]);
```

```
z11=Valymas(z1,4);% Valau etaloini paveiksla
```

```
%% Randam Skirtingus ETALONINES schemos objektus, kanalus, lydvietes, pagrinda
```

```
Pav = bwlabel(z11, 8);
```

```
blobMeasurements = regionprops(Pav, 'Area', 'Perimeter', 'EulerNumber');
```

```
numberOfBlobs = size(blobMeasurements, 1);
```

```
allPerimeters = [blobMeasurements.Perimeter];
```

```
allAreas = [blobMeasurements.Area];
```

```
for i=1:length(allAreas)
```

```
    % Skaiciuojame apvalumo metrika
```

```
    metric(i) = 4*pi*allAreas(i)/allPerimeters(i)^2;
```

```
end
```

```

% compute the roundness metric
% metric = 4*pi*area/perimeter^2;
allEuler = [blobMeasurements.EulerNumber]; % Num regions - num holes in region.
circularities = allPerimeters.^2 ./ (4*pi*allAreas);
% Ieskoma sriciu kurios butu apskritimai
circularBlobIndexes = find(circularities < 2);
NotcircularBlobIndexes = find(metric < .85);
Kanalai = ismember(Pav, NotcircularBlobIndexes);
Trumpikliai = ~Kanalai;

Lydvietes1 = ismember(Pav, circularBlobIndexes);

blobMeasurements = regionprops(Lydvietes1, 'EquivDiameter');
allDiameters = [blobMeasurements.EquivDiameter];
%----
k=1;
for i=1:length(allDiameters)
    if allDiameters(i)>6.75 && allDiameters(i)<8.25
        IndexD(k)=circularBlobIndexes(i);
        Diametra(k)= allDiameters(i);
        k=k+1;
    end
end
% figure
Lydvietes = ismember(Pav, IndexD);
%
% imshow(Lydvietes)
% figure
% imshow(~Trumpikliai)
%% random tikrinamo paveikslo lydvieciu diametrus:
Pavv = bwlabel(~z11, 8);
blobMeasurements1 = regionprops(Pavv, 'Area', 'Perimeter', 'EulerNumber');
allAreas1 = [blobMeasurements1.Area];
% Ieskoma didziauos plotu srities

```

```

BlobIndexes1 = find(allAreas1<max(allAreas1));
% Isskiriami kanalai
KanalaiTikri = ismember(Pavv,BlobIndexes1);
figure
imshow(KanalaiTikri)
title('Kanalai tikri');
%% Valome neEtalonini paveiksla
v2=Valymas2(BW,4,KanalaiTikri);
v22 = bwareaopen(BW,4); % Matlabo fitras naikinantis
figure
imshow(v22)
title('bwareaopen filruotas paveikslas 4 pix ');
v221 = bwareaopen(BW,8); % Matlabo fitras naikinantis
figure
imshow(v221)
title('bwareaopen filruotas paveikslas 8 pix');
v222 = medfilt2(BW);
figure
imshow(v222)
title('medfilt2 filruotas paveikslas ');
v2222 = stdfilt(BW);
figure
imshow(v2222)
title('stdfilt filruotas paveikslas ');
v22222 = bwmorph(BW,'clean');
figure
imshow(v22222)
title('bwmorph "clean" filruotas paveikslas ');
v222222= bwmorph(BW,'erode');
figure
imshow(v222222)
title('bwmorph "erode" filruotas paveikslas ');
v2222222= bwmorph(BW,'dilate');
figure

```

```

imshow(v2222222)
title('bwmorph "dilate" filruotas paveikslas ');
%% Kliadu ieskojimas
[n,m]=size(v2);
z1 = imresize(z11, [n m]);
KlaidLydvietes(1:n,1:m)=0;%klaidu paveiksliukas
KlaidKanalai(1:n,1:m)=0;%klaidu paveiksliukas
KlaidTrumpikliai(1:n,1:m)=0;%klaidu paveiksliukas
KlaidPagrindas(1:n,1:m)=0;%klaidu paveiksliukas
SienosKlaidos(1:n,1:m)=0;
%TKlaid(1:n,1:m)=0;% toleruotinu klaidu paveiksliukas
eil=n;% eiluciu skaiciu
stulp=m;% stulpeliu skaicius
for i=2:eil-1
    for j=2:stulp-1
        if z1(i,j)~=v2(i,j) && Lydvietes(i,j)==1
            KlaidLydvietes(i,j)=1;
        end
        if z1(i,j)~=v2(i,j) && KanalaiTikri(i,j)==1
            KlaidKanalai(i,j)=1;
        end
        if z1(i,j)~=v2(i,j) && Kanalai(i,j)==1
            KlaidTrumpikliai(i,j)=1;
        end
        if z1(i,j)~=v2(i,j) && Kanalai(i,j)~=1 && KanalaiTikri(i,j)~=1 && Lydvietes(i,j)~=1
            KlaidPagrindas(i,j)=1;
        end
    end
end
%% Klaidu klaisfikavimas
Pix=4; % didziausios toleruotinos klaidos dydis pixeliais
[KlaiduPavP,KlaiduskP,KdydisP,KpavP]=Jungumas(KlaidPagrindas);
[KlaiduPavL,KlaiduskL,KdydisL,KpavL]=Jungumas(KlaidLydvietes);

```

```
[KlaiduPavK,KlaiduskK,KdydisK,KpavK]=Jungumas(KlaidKanalai);
[KlaiduPavT,KlaiduskT,KdydisT,KpavT]=Jungumas(KlaidTrumpikliai);
```

```
[NetolKlaidP,NetolKlaidpavP,NPaP,NTKlaidSP,TolKlaidosP,TolKlaidpavP,TPaP,TKlaidSP]=KlaiduKlase(KlaiduPavP,KpavP,KdydisP,Pix);
```

```
[NetolKlaidL,NetolKlaidpavL,NPaL,NTKlaidSL,TolKlaidosL,TolKlaidpavL,TPaL,TKlaidSL]=KlaiduKlase(KlaiduPavL,KpavL,KdydisL,Pix);
```

```
[NetolKlaidK,NetolKlaidpavK,NPaK,NTKlaidSK,TolKlaidosK,TolKlaidpavK,TPaK,TKlaidSK]=KlaiduKlase(KlaiduPavK,KpavK,KdydisK,Pix);
```

```
[NetolKlaidT,NetolKlaidpavT,NPaT,NTKlaidST,TolKlaidosT,TolKlaidpavT,TPaT,TKlaidST]=KlaiduKlase(KlaiduPavT,KpavT,KdydisT,Pix);
```

```
%% Tikslinam trupiklio sienos ir kanalo kliadas bei ju kritiskuma
```

```
Pavv = bwlabel(~v2, 8);
```

```
blobMeasurements1 = regionprops(Pavv, 'Area', 'Perimeter', 'EulerNumber');
```

```
allAreas1 = [blobMeasurements1.Area];
```

```
BlobIndexes1 = find(allAreas1 < max(allAreas1));
```

```
KanalaiTNeetalono = ismember(Pavv, BlobIndexes1);
```

```
%-----
```

```
Pav = bwlabel(v2, 8);
```

```
blobMeasurements = regionprops(Pav, 'Area', 'Perimeter', 'EulerNumber');
```

```
allPerimeters = [blobMeasurements.Perimeter];
```

```
allAreas = [blobMeasurements.Area];
```

```
for i=1:length(allAreas)
```

```
    % Skaiciuojame apvalumo metrika
```

```
    metric(i) = 4*pi*allAreas(i)/allPerimeters(i)^2;
```

```
end
```

```
NotcircularBlobIndexes = find(metric < .85);
```

```
KanalaiNET = ismember(Pav, NotcircularBlobIndexes);
```

```
TrumpikliaiNeetalono = ~KanalaiNET;
```

```
%----- Sienos Kanalo ir trumpiklio kritiniu klaidu ieskojimas-----
```

```
--
```

```
% [KanNeT,numKNeT]=bwlabel(Trumpikliai);
```

```
[KaneT,numKeT]=bwlabel(KanalaiTikri);
```

```
[TrumNeT,numTNeT]=bwlabel(~TrumpikliaiNeetalono);
```



```

[TrumeT,numeTeT]=bwlabel(~Trumpikliai);
[KanNeT,numKNeT]=bwlabel(~TrumNeT);
figure
imshow(KanNeT)
figure
imshow(TrumNeT)
[eil,stulp]=size(KanNeT);
SienosKlaidos(1:eil,1:stulp)=0;
a=0;%pagalbiniai kintamieji
b=0;%
for i=1:eil
    for j=1:stulp

        if NetolKlaidK(i,j)==1 && (z1(i-1,j)~=z1(i+1,j)|| z1(i,j-1)~=z1(i,j+1))
            Siena1(i,j)= 1;
        end
    end
end
SienosKLaidSk=0;
SienosKLaidSkTol=0;
%[KlaiduPavS,SienosKLaidSkTol,KdydisS,KpavS]=Jungumas(Siena1);
% Sienos klaidu klasifikavimas
[P,nn] = bwlabel(Siena1, 4);
Matai = regionprops(P, 'Area');
SritciuDydziai = [Matai.Area];
%Koordinates=Matai.Extrema;
d=1;
[KlaiduPavS,SienosKLaidSkTol,KdydisS,KpavS]=Jungumas(P);
for z=1:length(KdydisS)
    if KdydisS(z)>8 % renkiesi pagal situacija
[x,y]=find(KlaiduPavS==KpavS(z));
Skaicius=NetolKlaidpavK(x(1),y(1));
[ro,co]=find(NetolKlaidpavK==Skaicius);
Skaic=NetolKlaidpavK(ro(1),co(1));

```

```

for d=1:length(ro)
    SienosKlaidos(ro(d),co(d))=1;
    NetolKlaidK(ro(d),co(d))=0;
    %TolKlaidosK(ro(d),co(d))=0;
    Siena1(ro(d),co(d))=0;
end
SienosKLaidSk=SienosKLaidSk+1;
NTKlaidK=NTKlaidK-1;
%TKlaidK=TKlaidK-1;
[~,MM]=find(NPaK==Skaic);
NPaK(MM)=[];
end

```

end

SienosKLaidSkTol=SienosKLaidSkTol-SienosKLaidSk;%toleruotinu sienos klaidu skaicius

```
[n,m]=size(KlaiduPavK);
```

% Kanalo Klaidu klasifikavimas

```
for j=1:length(NPaK)
```

```
    [r, c] = find(KlaiduPavK==NPaK(j));
```

```
    a=0;
```

```
    b=0;
```

```
    for i=1:length(r)
```

```
        if r(i)<n && c(i)<m && KanNeT(r(i)+1,c(i)+1)~=0 && a==0
```

```
            a=KanNeT(r(i)+1,c(i)+1);
```

```
        end
```

```
        if r(i)>1 && c(i)<m && KanNeT(r(i)-1,c(i)+1)~=0 && a==0
```

```
            a=KanNeT(r(i)-1,c(i)+1);
```

```
        end
```

```
        if r(i)>1 && c(i)>1 && KanNeT(r(i)-1,c(i)-1)~=0 && a==0
```

```
            a=KanNeT(r(i)-1,c(i)-1);
```

```
        end
```

```
        if c(i)>1 && r(i)<n && KanNeT(r(i)+1,c(i)-1)~=0 && a==0
```

```

a=KanNeT(r(i)+1,c(i)-1);
end
if c(i)>1 && KanNeT(r(i),c(i)-1)~=0 && a==0
a=KanNeT(r(i),c(i)-1);
end
if c(i)<m && KanNeT(r(i),c(i)+1)~=0 && a==0
a=KanNeT(r(i),c(i)+1);
end
if r(i)>1 && KanNeT(r(i)-1,c(i))~=0 && a==0
a=KanNeT(r(i)-1,c(i));
end
if r(i)<n && KanNeT(r(i)+1,c(i))~=0 && a==0
a=KanNeT(r(i)+1,c(i));
end
%%%%%%
if r(i)<n && c(i)<m && KanNeT(r(i)+1,c(i)+1)~=0 && a~=0 &&
a~=KanNeT(r(i)+1,c(i)+1) && b==0
b=KanNeT(r(i)+1,c(i)+1);
end
if r(i)>1 && c(i)<m && KanNeT(r(i)-1,c(i)+1)~=0 && a~=0 && a~=KanNeT(r(i)-
1,c(i)+1) && b==0
b=KanNeT(r(i)-1,c(i)+1);
end
if r(i)>1 && c(i)>1 && KanNeT(r(i)-1,c(i)-1)~=0 && a~=0 && a~=KanNeT(r(i)-1,c(i)-
1) && b==0
b=KanNeT(r(i)-1,c(i)-1);
end
if r(i)<n && c(i)>1 && KanNeT(r(i)+1,c(i)-1)~=0 && a~=0 && a~=KanNeT(r(i)+1,c(i)-
1) && b==0
b=KanNeT(r(i)+1,c(i)-1);
end
if c(i)<m && KanNeT(r(i),c(i)+1)~=0 && a~=0 && a~=KanNeT(r(i),c(i)+1) && b==0
b=KanNeT(r(i),c(i)+1);
end

```

```

        if c(i)>1 && KanNeT(r(i),c(i)-1)~=0 && a~=0 && a~=KanNeT(r(i),c(i)-1) && b==0
        b=KanNeT(r(i),c(i)-1);
        end
        if r(i)>1 && KanNeT(r(i)-1,c(i))~=0 && a~=0 && a~=KanNeT(r(i)-1,c(i)) && b==0
        b=KanNeT(r(i)-1,c(i));
        end
        if r(i)<n && KanNeT(r(i)+1,c(i))~=0 && a~=0 && a~=KanNeT(r(i)+1,c(i)) && b==0
        b=KanNeT(r(i)+1,c(i));
        end

    end

    if a==0 || b==0 %|| a==b
    NTKlaidK=NTKlaidK-1; % Perskaiciuojami klaidu skaiciai
    TKlaidK=TKlaidK+1;
    for k=1:length(r)
    NetolKlaidK(r(k),c(k))=0; % Pasalinamos nekiritines klaidos
    TolKlaidosK(r(k),c(k))=1;
    end
    end

end

% Trumpiklio klaidu klasifikavimas
for j=1:length(NPaT)

    [r, c] = find(KlaiduPavT==NPaT(j));
    a=0;
    b=0;
    for i=1:length(r)

        if r(i)<n && c(i)<m && KaneT(r(i)+1,c(i)+1)~=0 && a==0
        a=KaneT(r(i)+1,c(i)+1);
        end
    end
end

```

```

if r(i)>1 && c(i)<m && KaneT(r(i)-1,c(i)+1)~=0 && a==0
a=KaneT(r(i)-1,c(i)+1);
end
if r(i)>1 && c(i)>1 && KaneT(r(i)-1,c(i)-1)~=0 && a==0
a=KaneT(r(i)-1,c(i)-1);
end
if c(i)>1 && r(i)<n && KaneT(r(i)+1,c(i)-1)~=0 && a==0
a=KaneT(r(i)+1,c(i)-1);
end
if c(i)>1 && KaneT(r(i),c(i)-1)~=0 && a==0
a=KaneT(r(i),c(i)-1);
end
if c(i)<m && KaneT(r(i),c(i)+1)~=0 && a==0
a=KaneT(r(i),c(i)+1);
end
if r(i)>1 && KaneT(r(i)+1,c(i)-1)~=0 && a==0
a=KaneT(r(i)-1,c(i));
end
if r(i)<n && KaneT(r(i)+1,c(i)-1)~=0 && a==0
a=KaneT(r(i)+1,c(i));
end
%%%%%%
if r(i)<n && c(i)<m && KaneT(r(i)+1,c(i)+1)~=0 && a~=0 && a~=KaneT(r(i)+1,c(i)+1)
&& b==0
b=KaneT(r(i)+1,c(i)+1);
end
if r(i)>1 && c(i)<m && KaneT(r(i)-1,c(i)+1)~=0 && a~=0 && a~=KaneT(r(i)-1,c(i)+1)
&& b==0
b=KaneT(r(i)-1,c(i)+1);
end
if r(i)>1 && c(i)>1 && KaneT(r(i)-1,c(i)-1)~=0 && a~=0 && a~=KaneT(r(i)-1,c(i)-1)
&& b==0
b=KaneT(r(i)-1,c(i)-1);
end

```

```

        if r(i)<n && c(i)>1 && KaneT(r(i)+1,c(i)-1)~=0 && a~=0 && a~=KaneT(r(i)+1,c(i)-1)
&& b==0
            b=KaneT(r(i)+1,c(i)-1);
            end
            if c(i)<m && KaneT(r(i),c(i)+1)~=0 && a~=0 && a~=KaneT(r(i),c(i)+1) && b==0
                b=KanNeT(r(i),c(i)+1);
                end
                if c(i)>1 && KaneT(r(i),c(i)-1)~=0 && a~=0 && a~=KaneT(r(i),c(i)-1) && b==0
                    b=KanNeT(r(i),c(i)-1);
                    end
                    if r(i)>1 && KaneT(r(i)-1,c(i))~=0 && a~=0 && a~=KaneT(r(i)-1,c(i)) && b==0
                        b=KanNeT(r(i)-1,c(i));
                        end
                        if r(i)<n && KaneT(r(i)+1,c(i))~=0 && a~=0 && a~=KaneT(r(i)+1,c(i)) && b==0
                            b=KanNeT(r(i)+1,c(i));
                            end
                            end

end

        if a==0 || b==0 %|| a==b
            NTKlaidiT=NTKlaidiT-1; % Perskaiciuojami klaidu skaiciai
            TKlaidiT=TKlaidiT+1;
            for k=1:length(r)
                NetolKlaidT(r(k),c(k))=0; % Pasalinamos nekritines klaidos
                TolKlaidosT(r(k),c(k))=1;

                end
            end

end

%% Paveikslu braizymas
figure,imshow(z11,[],),title('Etaloninis schemos paveikslas ');

```

```

figure,imshow(v2,[],),title('Tikrinamos schemos paveikslas ');
figure,imshow(NetolKlaidK,[],),title('Netoleruotinos kanalo klaidos: ');
figure,imshow(TolKlaidosK,[],),title('Toleruotinos kanalo klaidos: ');
figure,imshow(NetolKlaidT,[],),title('Netoleruotinos Trumpiklio klaidos: ');
figure,imshow(TolKlaidosT,[],),title('Toleruotinos Trumpiklio klaidos: ');
figure,imshow(SienosKlaidos,[],),title('Netoleruotinos sienos klaidos: ');
figure,imshow(Siena1,[],),title('Toleruotinos sienos klaidos: ');
figure,imshow(NetolKlaidL,[],),title('Netoleruotinos Lydvieciu klaidos: ');
figure,imshow(TolKlaidosL,[],),title('Toleruotinos Lydvieciu klaidos: ');
figure,imshow(NetolKlaidP,[],),title('Netoleruotinos Fono klaidos: ');
figure,imshow(TolKlaidosP,[],),title('Toleruotinos Fono klaidos: ');

```

```

% Klaidu ir originalaus paveikslo spalvojimas

```

```

grayImage = uint8(255 * z1); % dvinario paveikslo vertimas i pilka
[rows, columns, numberOfColorChannels] = size(grayImage);

```

```

binaryImage = v2;

```

```

% pilko paveikslo vertimas i rgb

```

```

if numberOfColorChannels < 3

```

```

    rgbImage = cat(3, grayImage, grayImage, grayImage);

```

```

else

```

```

    rgbImage = grayImage;

```

```

end

```

```

% Spalvu kanalu isfiltravimas

```

```

redChannel = rgbImage(:, :, 1);

```

```

greenChannel = rgbImage(:, :, 2);

```

```

blueChannel = rgbImage(:, :, 3);

```

```

% Spalvu kuriomis noresime spalvoti tam tikras vietas parinkimas

```

```

desiredColor = [0, 0, 255]; % Melyna KANALO spalva

```

```

desiredColor1 = [0, 255, 0]; % Zalia TRUMPIKLIO spalva

```

```

desiredColor2 = [255,0, 0]; %Raudona LYDVIETES spalva

```

```

desiredColor3 = [255, 255, 0]; % geltona Pagrindo spalva

```

```

desiredColor4 = [200,50,205]; %Rozine SIENOS spalva
% Vietu spalvojimas
for i=1:eil
    for j=1:stulp
        if NetolKlaidK(i,j)~=0
redChannel(i,j) = desiredColor(1);
greenChannel(i,j) = desiredColor(2);
blueChannel(i,j) = desiredColor(3);
        end
        if NetolKlaidT(i,j)~=0
redChannel(i,j) = desiredColor1(1);
greenChannel(i,j) = desiredColor1(2);
blueChannel(i,j) = desiredColor1(3);
        end
        if NetolKlaidL(i,j)~=0
redChannel(i,j) = desiredColor2(1);
greenChannel(i,j) = desiredColor2(2);
blueChannel(i,j) = desiredColor2(3);
        end
        if NetolKlaidP(i,j)~=0
redChannel(i,j) = desiredColor3(1);
greenChannel(i,j) = desiredColor3(2);
blueChannel(i,j) = desiredColor3(3);
        end
        if SienosKlaidos(i,j)~=0
redChannel(i,j) = desiredColor4(1);
greenChannel(i,j) = desiredColor4(2);
blueChannel(i,j) = desiredColor4(3);
        end
    end
end
% skirtingu kanalu grazinimas i viena pilka paveiksla
rgbImage = cat(3, redChannel, greenChannel, blueChannel);

```



```
figure,imshow(rgbImage,[]),title('Pilkas schemas paveikslas su klaidomis, mėlynos trumpiklio,  
geltonos kanalo, raudonos sienos klaidos')
```

```
%% rezultatu isvedimas
```

```
A(1,1)=cellstr('Kanalo netoleruotinu klaidu skaicius');  
A(2,1)=cellstr('Kanalo toleruotinu klaidu skaicius');  
A(3,1)=cellstr('Trumpiklio netoleruotinu klaidu skaicius');  
A(4,1)=cellstr('Trumpiklio toleruotinu klaidu skaiciu');  
A(5,1)=cellstr('Sienos netoleruotinu klaidu skaicius');  
A(6,1)=cellstr('Sienos toleruotinu klaidu skaicius');  
A(7,1)=cellstr('Lydvieciu netoleruotinu klaidu skaicius');  
A(8,1)=cellstr('Lydvieciu toleruotinu klaidu skaicius');  
A(9,1)=cellstr('Pagrindo netoleruotinu klaidu skaicius');  
A(10,1)=cellstr('Pagrindo toleruotinu klaidu skaicius');  
A(1,2)=num2cell(NTKlaidSk);  
A(2,2)=num2cell(TKlaidSk);  
A(3,2)=num2cell(NTKlaidT);  
A(4,2)=num2cell(TKlaidT);  
A(5,2)=num2cell(SienosKLaidSk);  
A(6,2)=num2cell(SienosKLaidSkTol);  
A(7,2)=num2cell(NTKlaidL);  
A(8,2)=num2cell(TKlaidL);  
A(9,2)=num2cell(NTKlaidP);  
A(10,2)=num2cell(TKlaidP);  
filename ='C:\Users\Vartotojas\Desktop\Ats.xls';  
xlswrite(filename,A);
```

Vaizdų valymas

```
function Y=Valymas(X,KL)
[eil,stulp]=size(X);
Y=X;
kl=0;
for i=2:eil-1% eįnam per eilute
    for j=2:stulp-1% eįnam per stulpelius
        if X(i,j)==1% jeigu baltas

            for k=-1:2:1
                if X(i+k,j)==0 % Sklaiciuojam klaidas
                    kl=kl+1;
                end
                if X(i,j+k)==0
                    kl=kl+1;
                end
                if X(i+k,j+k)==0
                    kl=kl+1;
                end
                if X(i+k,j-k)==0
                    kl=kl+1;
                end
            end
            if kl>=KL
                Y(i,j)=0; % jei klaidu barjeras virsijamas pikselis baltas
            else
                Y(i,j)=1; % jei ne lieka baltas
            end
        end
    end
    kl=0;
end
end
```

Takelių valymas

```
function Y=Valymas2(X,KL,Z)
[eil,stulp]=size(X);
Y=X;
kl=0;
for i=2:eil-1
    for j=2:stulp-1 % tas pats kaip Valymas
        if X(i,j)==1
            for k=-1:2:1
                if X(i+k,j)==0
                    kl=kl+1;
                end
                if X(i,j+k)==0
                    kl=kl+1;
                end
                if X(i+k,j+k)==0
                    kl=kl+1;
                end
                if X(i+k,j-k)==0
                    kl=kl+1;
                end
            end
        end
        if Z(i,j)==0
            if kl>=KL
                Y(i,j)=0;
            else
                Y(i,j)=1;
            end
        end
        if Z(i,j)==1
            if kl>=7 % padidintas klaidu barjeras kanalui
                Y(i,j)=0;
            else
```

```

        Y(i,j)=1;
    end
end

end

    kl=0;
end
end

```

Priskyrimas

```

function Y=Pryskirimas(L,num2,num)
%[eil,stulp]=size(L);
[r, c] = find(L==num2);
%rc = [r c];
%[n,m]=size(rc);
for i=1:length(r)
    %for j=1:m
    L(r(i),c(i))=num;
end

```

Y=L;

Klaidų klasifikavimas

```

function [X,Xp,Xx,xsk,Y,Yp,Yy,ysk]=KlaiduKlase(KlaiduPav,Kpav,Kdydis,pix)
[eil,stulp]=size(KlaiduPav);
Y(eil,stulp)=0; % Toleruotinos klaidos
X(eil,stulp)=0; % Netoleruotinos klaidos
Yp(eil,stulp)=0; % Toleruotinuklaidu pavadinimai
Xp(eil,stulp)=0; % Netoleruotinu klaidu pavadinimai
Xx=0;
Yy=0;

```

```
xsk=0;%klaidu Netoleruotinu skaicius
ysk=0;%klaidu Toleruotinu skaicius
```

```
t=1;
tt=1;
for k=1:length(Kdydis)
[r, c] = find(KlaiduPav==Kpav(k));
if Kdydis(k)>=pix
```

```
    Xx(t)=Kpav(k);
```

```
    t=t+1;
```

```
for i=1:length(r)
```

```
    X(r(i),c(i))=1;
```

```
    Xp(r(i),c(i))=Kpav(k);
```

```
end
```

```
xsk=xsk+1;
```

```
end
```

```
if Kdydis(k)<pix
```

```
    Yy(t)=Kpav(k);
```

```
    tt=tt+1;
```

```
for i=1:length(r)
```

```
    Y(r(i),c(i))=1;
```

```
    Yp(r(i),c(i))=Kpav(k);
```

```
end
```

```
ysk=ysk+1;
```

```
end
```

```
end
```

## Kampų nustatymas

```
function [Tlx Tly Tdx Tdy]=Kaimpai(Pav11)% ieskom kampo koord
[eil,stulp]=size(Pav11);
Tlx=0;
Tly=0;
Tdx=0;
Tdy=0;

for i=3:eil-2
    for j=3:stulp-2
        if Pav11(i,j)==0 && Pav11(i+1,j)==1 && Pav11(i,j+1)==1 && Pav11(i+1,j+1)==1 && Pav11(i-1,j-1)==0 && Pav11(i-1,j)==0 && Pav11(i+1,j-1)==0 && Pav11(i-1,j+1)==0 && Pav11(i-1,j)==0 && Pav11(i+2,j)==1 && Pav11(i,j+2)==1
            Tlx=j;
            Tly=i;
        end
        if Pav11(i,j)==0 && Pav11(i,j-1)==1 && Pav11(i+1,j-1)==1 && Pav11(i+1,j)==1 && Pav11(i+1,j+1)~=1 && Pav11(i,j+1)~= 1 && Pav11(i-1,j+1)==0 && Pav11(i-1,j)==0 && Pav11(i-1,j-1)~=1 && Pav11(i+2,j)==1 && Pav11(i,j-2)==1
            Tdx=j;
            Tdy=i;
        end
    end
end
end
```

## Jungumas

```
function [Y,N,Kdydis, KPav]=Jungumas(X)
[eil,stulp]=size(X);
Y(eil,stulp)=0;
N=1;
[L,num] = bwlabel(X);
```

```

for k=1:num
[r, c] = find(L==k);
rc = [r c];
[n,m]=size(rc);
for i=2:n-1
for j=2:m-1
Y(i,j)=num;
for k=-1:2:1
if L(i+k,j)~=0 && L(i+k,j)~=L(i,j)
num2=L(i+k,j);
L=Pryskirimas(L,num2,num);
end
if L(i,j+k)~=0 && L(i,j+k)~=L(i,j)
num2=L(i+k,j);
L=Pryskirimas(L,num2,num);
end
if L(i+k,j+k)~=0 && L(i+k,j+k)~=L(i,j)
num2=L(i+k,j);
L=Pryskirimas(L,num2,num);
end
if L(i+k,j-k)~=0 && L(i+k,j-k)~=L(i,j)
num2=L(i+k,j);
L=Pryskirimas(L,num2,num);
end
end
end

end
end
end
Y=L;
k=0;
for i=1:num

```

```
[row, col] = find(Y==i);  
if length(row)~=0;  
k=k+1;  
Kdydis(k)=max([length(row) length(col)]);  
KPav(k)=i;  
end  
end  
N=k;
```